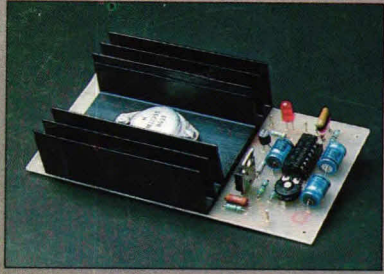
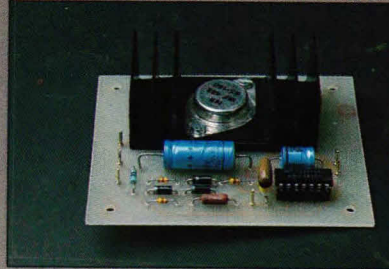


# Hobbit

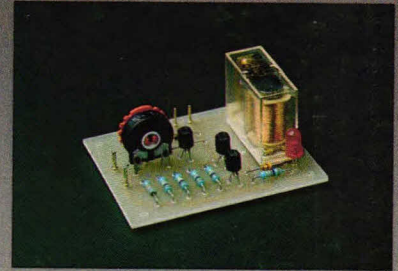
Maandblad voor hobby -elektronici



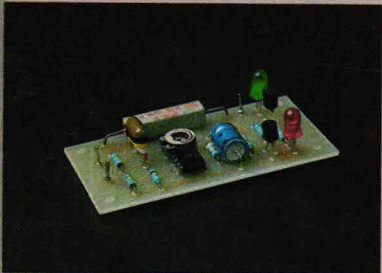
Achterraut-  
verwarmingsautomaat



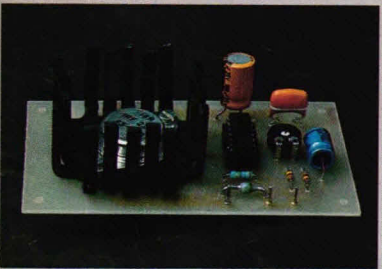
Power-MOSFET-  
transistorontsteking



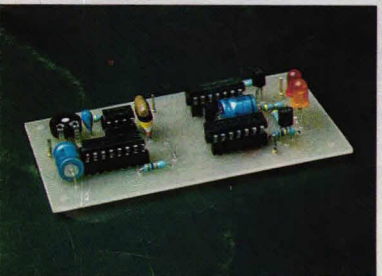
Vorstalarm



Lichtbewaker



Proportionele  
gelijkspanningsregeling



Rijtijdbewaker

Zes bouwontwerpen  
voor uw auto!





# De volgende handelaren leveren onderdelen en hebben printfilms:

## Groningen:

Radio Okaphone  
Oude Ebbingestraat 60  
9712 HL GRONINGEN  
(050) 126819

## Friesland:

TV Technische dienst Drachten BV  
Noordkade 83  
9203 CH DRACHTEN  
(05120) 1309

Radio Soepboer  
Weerd 5  
8911 HL LEEUWARDEN  
(058) 124630

## Drenthe:

Radio Baas  
Groningerstraat 73  
9401 JB ASSEN  
(05920) 12563  
Schutstraat 61-63

Crescendo Elektronica Emmen BV  
Hoofdstraat 5  
7811 EA EMMEN  
(05910) 13580

E.T.B. Boven  
Hoofdstraat 90/92  
7941 AL MEPPPEL  
(05220) 51332

Van Veen Electronica  
Runde Z.Z. 51  
7881 HN EMMER-COMPASCUUM  
(05912) 4186

## Overijssel:

V.d. Sande  
Hengelosestraat 176  
7521 AK ENSCHEDE  
(053) 350396

Delta Electronics  
Noordweg 32  
8262 BS KAMPEN

Radiovo Electronics  
Kerkstraat 41  
7442 EB NIJVERDAL  
(05486) 12728

Fakkert Electronica  
Thomas a Kempisstraat 126  
8022 AC ZWOLLE  
(05200) 32357

## Gelderland:

Radio te Kaat  
Jansbuitensingel 2  
6811 AA ARNHEM  
(085) 432445

Hobby Service Shop  
C. Bosch BV  
Proosdijerveldweg 5  
6713 CK EDE  
(08380) 17211

Veluwse Elektronika Service  
Fokko Kortlangstraat 140  
3853 KJ ERMELO  
(03410) 12786

Technica BV  
v. Welderenstraat 103  
6511 MG NIJMEGEN  
(080) 225210

Bergsoft Zaltbommel  
Bloemkeshof 80  
Postbus 98, 5300 AB ZALTBOMMEL  
(04180) 4749

Liemers Elektronika  
Mallemoolen 8  
6901 GR ZEVENAAR  
(08360) 29500

## Utrecht:

Karsen elektronica service BV  
Herenweg 35-37  
3513 CB UTRECHT  
(030) 311336

Radiocentrum BV  
Vinkeburgstraat 6  
3512 AB UTRECHT  
(030) 319636

## Noord-Holland:

Elektron  
Laat 38  
1811 EJ ALKMAAR  
(072) 113180

Muco  
Bilderdijkstraat 124  
1053 KZ AMSTERDAM  
(020) 183781

Asian electronics  
Papaverhoek 32  
1032 JZ AMSTERDAM  
(020) 327514

Radio Rotor  
Kinkerstraat 55  
1053 DE AMSTERDAM  
(020) 125759

R & H  
Derkinderenstraat 98  
1061 VX AMSTERDAM  
(020) 137019

Televersum  
Simonskerkestraat 11  
1069 HP AMSTERDAM  
(020) 197663

Valkenberg  
Kinkerstraat 208  
1053 EM AMSTERDAM  
(020) 184022

Radio Velt  
Huizerweg 50  
1402 AD BUSSUM  
(02159) 17315

Radio v. Wijngaarden  
Weverstraat 68  
1790 AC DEN BURG (TEXEL)  
(02220) 2695

Elab Components Supply  
Service  
Wadenseestr. 80  
1784 VD DEN HELDER  
(02230) 12000

Fa. Riton Elektronika  
Binnenweg 197  
2101 JJ HEEMSTEDEN  
(023) 282573

Radio Gooiland  
Langestraat 197  
1211 GX HILVERSUM  
(035) 43333

## Zuid-Holland:

Zoutman Electronics  
Hoofdstraat 122  
2406 GM ALPHEN A/D RIJN  
(01720) 75858

Service Shop  
Hooftstraat 311  
2406 GK ALPHEN A/D RIJN  
(01720) 74888

Goris Elektronika  
Binnen Watersloot 18a  
2611 BK DELFT  
(015) 130489

Fa. Kok Electronica  
Nw. Beestenmarkt 20  
2312 CH LEIDEN  
(071) 149345

DIL-Electronica  
Jan Ligthartstr. 59-61  
3083 AC ROTTERDAM  
(010) 854213

SCS-elektronika  
Industrieweg 36  
2382 NW ZOETERWOUDE  
(071) 410302

Fa. Elgro/Micro-mind bv  
Broekzijdeweg 124  
2725 PE ZOETERMEER  
(079) 314533

## Noord-Brabant:

Rein de Jong BV  
Korte Bosstraat 4  
4611 MA BERGEN OP ZOOM  
(01640) 36028

H. Dijkhuizen  
Pr. Bernhardstraat 25  
5281 JH BOXTEL  
(04116) 72953

Ben van Dijk  
Boschmeersingel 119  
5223 HH DEN BOSCH  
(073) 216232

De Boer Electronica  
Kleine Berg 39-41  
5611 JS EINDHOVEN  
(040) 448827

Elektron  
Linkensweg 64  
5341 CV OSS

A.V. 48 uur printservice  
Molenstraat 8  
5421 KG GEMERT

John Geerts Productions  
Viermunastraat 34  
5421 BW GEMERT

Geva Electronics  
St. Crispijnstraat 73  
5144 RB WAALWIJK

## Limburg:

Nysten Elektronika  
Burg. Lemmensstraat 125a  
6163 JD GELEEN  
(04494) 45547

De Jong Electronica  
Akerstraat 21  
6411 GW HEERLEN  
(045) 716829

Rapeco  
St. Nicolaasstraat 48a  
6211 NP MAASTRICHT  
(043) 19021

Jansen Elektronika  
St. Jozefslaan 1  
6006 JC WEERT  
(04950) 36782

## België

Amarex. Transistorstraat 1  
3590 - HAMONT  
(011) 445156

Jego Elektronika  
Pr. Albrechtlaan 52  
B3800 ST. TRUIDEN  
(011) 680089



**Uitgave van:**

Kluwer Technische Tijdschriften BV  
Postbus 23, 7400 GA Deventer  
Tel.: 05700-91911  
Telex 49540

**Redactie:** 05700-91694)

H. ten Bosch, hoofdredacteur  
J. Schouten, eindredacteur  
W. van Bussel, ing. J. P. A. van Prooijen  
M. Verstrepen (redactie België)

**Advertenties:**

reserveringen: 05700-91476  
betalingen: 05700-91484

Advertentie-opdrachten worden uitgevoerd overeenkomstig onze leveringsvoorwaarden gedeponneerd ter Griffie van de Arrondissementsrechtbanken en de Kamers van Koophandel.

**Abonnementen en losse nummers**

Jaarabonnement: f 44,95 (incl. 5% BTW) Nederland  
F 850 (incl. BTW) België  
Buitenland op aanvraag  
Losse nummers: f 4,50 (incl. 5% BTW) Nederland  
F 85 (incl. BTW) België

Een abonnement loopt van januari tot en met december en kan elk gewenst moment ingaan.

Bij opgave in de loop van het kalenderjaar wordt slechts een deel van de abonnementsprijs berekend (in België altijd de eerstvolgende 12 maanden).

**Betaling**

Nieuwe abonnees ontvangen een stortings-acceptgirokaart.

**Opzegging abonnementen**

Beëindiging van het abonnement kan uitsluitend schriftelijk geschieden, uiterlijk 2 maanden vóór het einde van het kalenderjaar, nadien vindt automatisch verlenging plaats.

**Telefoonnummers**

Opgave abonnementen 05700-91488  
Adreswijzigingen + betalingen 05700-91463

**België**

Verantwoordelijk uitgever voor België:  
Dirk Apers, Eeuwfeestlaan 138, 2500 Lier

**besteladres:**

Van Putlei 33, 2000 Antwerpen, tel.: (03) 2387986

**Hob-bit verschijnt 11x per jaar.**

De in Hob-bit opgenomen schema's en bouwbeschrijvingen zijn uitsluitend bestemd voor huishoudelijk en experimenteel gebruik - (octrooiwet)

'Het auteursrecht t.a.v. de redactionele inhoud van dit tijdschrift wordt voorbehouden.

Ongeautoriseerde vervoelving en/of openbaarmaking van het geheel of gedeelten daarvan op welke wijze ook is verboden. © 1984

'Het verlenen van toestemming tot publicatie in dit tijdschrift houdt in dat de auteur de uitgever, met uitsluiting van ieder ander, onherroepelijk machtigt de bij of krachtens de Auteurswet door derden verschuldigde vergoeding voor kopiëren te innen of daartoe in en buiten rechte op te treden en dat de auteur er mee instemt dat de uitgever deze volmacht overdraagt aan de door auteurs- en uitgeversvertegenwoordigers bestuurde Stichting Reprerecht, tot welke overdracht de uitgever zich zijnerzijds verbindt en dat deze Stichting aan de te innen gelden een in overeenstemming met haar statuten en reglementen bepaalde bestemming geeft.

lid NOTU, Nederlandse Organisatie van Tijdschrift-Uitgevers  
lid FPPB, Federatie van de Periodieke Pers van België.  
ISSN 0166-5642

**TOCH EEN RAGE**

Het huishouden van de jaren '90 zou, althans volgens de industrie, geconcentreerd zijn rond het beeldscherm. Niet alleen omroepbeelden, ook videobanden, beeldplaat-beelden, homecomputer en spelcomputer, zouden via één of meer beeldschermen ons huis domineren. Althans voorlopig lijkt er niet veel van terecht te komen. Want het huren van videocassettes geschiedt voornamelijk door nieuwe videogebruikers en neemt weer af nadat de video algemener wordt gebruikt. De beeldplaat is, ook voorlopig, een gigantische flop. De apparaten zijn én te groot en te duur, dus vinden weinig aftrek. De platen zijn schaars en aangezien verhuren kennelijk niet mag, zijn ze weinig in trek. Het aantal beschikbare platen is bovendien nogal overtrokken in de publiciteit. Meer dan 300 van de te koop zijnde platen bevatten kinderprogramma's. En niets verveelt een kind zo snel als een programma dat 'ie al heeft gezien. Gek genoeg geldt bij boeken dat een goed verhaal steeds opnieuw wordt voorgelezen en beluisterd, totdat het kind het verhaal uit zijn hoofd kent.

De huiscomputer wordt, als we Sinclair ZX81 en Spectrum meerekenen, veel gekocht: vele tienduizenden staan er in ons land. Maar óók blijkt dat de veel-gebruikers daarbij een eigen beeldscherm willen. De gelijkblijvende verkopen van kleine zwart/wit-televisies wijzen ook in die richting: ze vinden een

weg naar de computergebruikers. De spelcomputer heeft vrijwel afgedaan. Wie er een heeft, gebruikt 'm niet veel meer omdat de meeste spelletjes nauwelijks intelligentie vragen van de bestuurder. De twee of drie spellen die de moeite waard zijn, zijn grondig uitgeprobeerd en de eigenaar kent de snelste wegen om Pacman te snel af te zijn.

Het op de Funkausstelling 1983 geïntroduceerde Vectrex-systeem staat in de leegverkoop voor bijna de helft van de eerdere prijs. Het was het eerste spel met zijn eigen beeldscherm. Of het aan de kwaliteit van de spellen ligt of aan de prijs bij introductie weten we niet, maar de fabrikant heeft het bijltje erbij neer gegooid en is gestopt met de productie. Atari en Philips, indirect aan elkaar verbonden nu in de platenhoek Philips en Atari-eigenaar Warner elkaar hebben gevonden, zijn druk bezig met de 'tweede generatie' videospellen. Dat wordt een combinatie van beeldplaten en videospel, waardoor levensechte beelden beschikbaar komen voor de speler. Maar dat zal allemaal nog wel even op zich laten wachten: de huidige beeldplaat-speler is te groot en te duur voor het doel. Je dient dus een soort Compact Disc te gebruiken of de beeldtechnologie te verbeteren.

Al met al dus een einde aan de zoveelste technologische rage. Jammer?

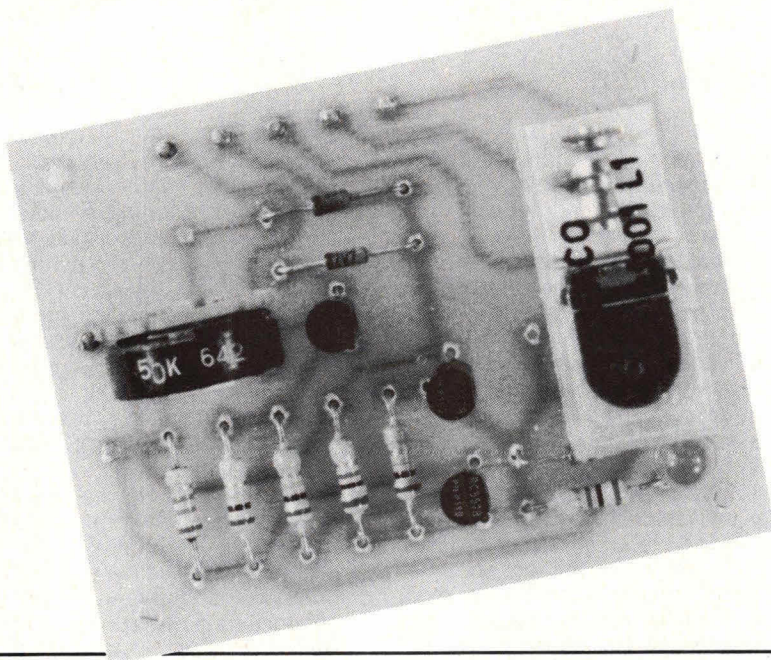
Redactie □

**Inhoud**

<b>Van de redactie</b>	3
<b>Bouwontwerpen</b>	
'Vorst'alarm	4
Proportionele gelijkspanningsregeling	9
Power-MOSFET-transistorontsteking	13
Achterrautverwarmingsautomaat	17
Lichtbewaker	21
Rijtijdbewaker	24
Infrarood bediende schakelaar	30
Spanningssplitser	36
<b>Audio Actueel</b>	35

<b>Audio Test</b>	
Pioneer X-1200: rationeel opgezet kwaliteitsrack	39
<b>Microcomputertechniek</b>	
Grafiekonderzoeker ofte wel de Hob-bitplotter	47
<b>Diversen</b>	
En toch... middeleeuwen	50





## Vorstalarm

Hoewel de winter vrij recent afscheid heeft genomen, geven we hier toch al een schakeling die het mogelijk maakt om te signaleren wanneer het gaat vriezen. Vooral in de auto kan dat erg gemakkelijk zijn als waarschuwing tegen gladheid. Daarnaast is de vorstalarmschakeling uiteraard bruikbaar voor elke lage temperatuurmelding. Het temperatuurgebied waarbij het vorstalarm signaal kan afgeven, ligt ongeveer tussen  $-10^{\circ}\text{C}$  en  $+20^{\circ}\text{C}$ . Met een kleine modificatie is dit temperatuurgebied te wijzigen. In principe kan het vorstalarm alleen signaal afgeven wanneer de temperatuur te laag is. Gezien de universele uitgang is het ook weer mogelijk, met een kleine modificatie, de schakeling te laten werken voor te hoge temperaturen.

Als je veel jaren auto rijdt en daarbij verschillende merken auto's hebt versleten, verwonder je je er steeds over dat in de auto geen alarmschakeling is opgenomen om aan te geven wanneer de buitentemperatuur beneden het vriespunt is gedaald. Een van de redenen waarom dat niet gebeurt is het feit, dat het vriespunt buiten niet nauwkeurig is aan te geven. Dat wordt mede veroorzaakt door de rijsnelheid van de auto, waardoor extra afkoeling kan ontstaan, zodat we een verkeerd beeld krijgen van de buitentemperatuur.

Om het vorstalarm in de auto te kunnen

### Ook bruikbaar voor te hoge temperaturen

gebruiken, is het daarom noodzakelijk dat de temperatuursensor op een plaats komt waarbij deze geen wind opvangt. Uiteraard dient de temperatuursensor ook niet te zitten in de kofferruimte of onder de motorkap. Belangrijk is het dat de temperatuursensor in de buitenlucht voelt welke temperatuur daar heerst, ter-

wijl de sensor bovendien wordt afgeschermd tegen rijwind. Dit kan bijv. door een klein kapje (windkapje) voor de sensor te plaatsen.

Een goede plaats voor de temperatuursensor is bij de kofferruimte. Natuurlijk niet direct naast de uitlaatpijp maar zo ver mogelijk daar vandaan, zodat we zo min mogelijk temperatuur van de auto mee meten. Afhankelijk van het type auto dienen we nauwkeurig te kijken waar de sensor wordt geplaatst. De lengte van de draden van de sensor naar de eigenlijke alarmschakeling speelt geen rol. Wel kunnen we het beste afgeschermd snoer nemen.

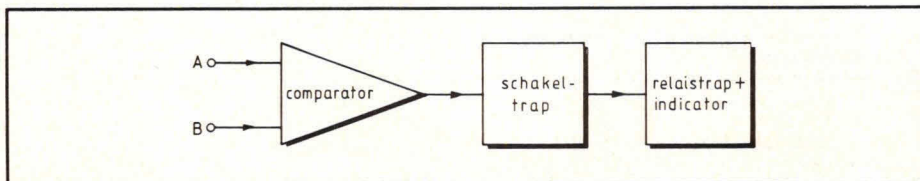
Omdat de temperatuursensor aan één zijde aan de voedingsnul ligt, kunnen we eenvoudig de afscherming tegelijkertijd als voedingsnul gebruiken en de binnenader van het afgeschermd snoer als signaal-leiding. Fig. 1 geeft het blokschema van het vorstalarm.

De schakeling bestaat in principe uit 3 delen: de comparator, de schakeltrap en de relastrap met indicator. De comparator doet niets anders dan het vergelijken van de spanning op ingangspunt A en ingangspunt B. Stel dat punt A een referentiepunt is met een vaste spanning. In dat geval zal de comparator spanningspunt B steeds vergelijken met punt A. De comparator zal reageren wanneer punt B onder of boven punt A ligt en zal, afhankelijk van de instelling van de comparator, een spanning afgeven danwel juist nul worden op de uitgang van de comparator. Daarbij werkt de comparator zo dat een bijzonder gering spanningsverschil tussen de punten A en B reeds voldoende is om de comparator geheel om te schakelen. In principe kan dat bijv. een spanningsverschil van 1 millivolt of minder zijn.

In ons geval zal de comparator op punt A een vaste referentiespanning hebben, terwijl punt B wordt gebruikt om via de temperatuursensor een spanning te bekijken die varieert in relatie met de buitentemperatuur. Als de buitentemperatuur beneden het vriespunt komt, zal de comparator een spanning afgeven aan de schakeltrap terwijl de schakeltrap op zijn beurt de relastrap stuurt. Daarnaast zal, als het relais omschakelt, ook een optische indicatie aanwezig zijn.

De relastrap en de optische indicator maken het mogelijk om het vorstalarm universeel toe te passen. In sommige gevallen kan bijv. alleen de indicator worden gebruikt op het dashboard, om optisch aan te geven dat de temperatuur buiten beneden het vriespunt is gekomen, terwijl in een ander geval de universele relastrapuitgang wordt gebruikt voor het sturen van een of andere akoestische of optische signalering.

Fig. 1. Het vorstalarm maakt gebruik van een comparator, schakeltrap en een relastrap.





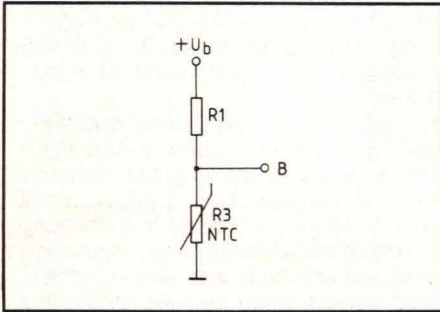


Fig. 2. Voor de temperatuursensor wordt gebruik gemaakt van een temperatuurgevoelige weerstand.

## De temperatuursensor

Voor de temperatuursensor wordt gebruik gemaakt van een zogenaamde NTC. Een NTC is een weerstand waarvan de weerstandswaarde zich wijzigt als functie van de temperatuur. Daarbij is het zo dat de weerstandswaarde afneemt naarmate de temperatuur oploopt. Een NTC kan eenvoudig worden gebruikt in een spanningsdeler conform fig. 2.  $+U_b$  stelt hier de voedingsspanning voor en weerstand R1 een vaste weerstandswaarde. R3 is de temperatuursensor, ofwel de NTC. Als de temperatuur op R3 daalt, zal de NTC-weerstandswaarde stijgen. In dat geval zal de spanning op punt B toenemen.

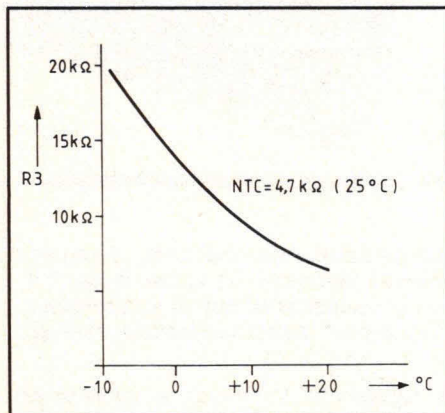


Fig. 3. Deze curve geeft het weerstandsverloop als functie van de temperatuur.

Fig. 3 geeft een curve van een NTC met een nominale weerstandswaarde van  $4,7 \text{ k}\Omega$ . Bij een NTC geven we altijd een bepaalde weerstandswaarde van deze NTC bij een temperatuur van  $25 \text{ }^\circ\text{C}$ . In ons geval gebruiken we een NTC van  $4,7 \text{ k}\Omega$ , zodat de karakteristiek van fig. 3 voor ons belangrijk is. We zien dat bij  $20 \text{ }^\circ\text{C}$  de NTC een waarde heeft van ongeveer  $6,5 \text{ k}\Omega$ . Bij nul graden heeft de NTC een waarde van ongeveer  $14 \text{ k}\Omega$ , terwijl bij  $-10 \text{ }^\circ\text{C}$  een waarde van ongeveer  $20 \text{ k}\Omega$  wordt bereikt. Hoe lager de temperatuur op de NTC, des te groter wordt zijn weerstand.

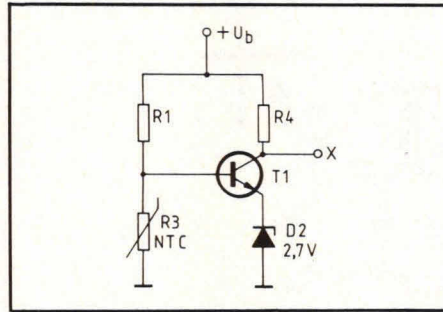


Fig. 4. De comparator bestaat eenvoudig uit een enkele transistor, met een zenerdiode.

Om de weerstandsverandering van de NTC gemakkelijk te kunnen gebruiken, hebben we de schakeling volgens fig. 4 ontworpen. In fig. 4 stelt R3 weer de NTC voor en R1 de vaste weerstand, overeenkomstig R1 uit fig. 2. In fig. 4 stelt transistor T1 de comparator voor. Daarbij wordt de ene ingang gevormd door de basis en de andere ingang door de emitter. In fig. 4 zal de emitter van T1 steeds op een vaste spanning liggen, omdat zenerdiode D2 een vaste spanning van  $2,7 \text{ volt}$  afgeeft. Dit houdt in dat de basis van transistor T1 ongeveer schakelt op  $3,4 \text{ volt}$ . Dit wordt veroorzaakt door het feit dat de transistor om te geleiden ongeveer  $700 \text{ millivolt}$  nodig heeft als basis-emitterjunctionspanning.

Punt X vormt in fig. 4 de uitgang van de comparator. Als de weerstand van R3 hoog is, zal transistor T1 geleiden. Dit komt voor wanneer de temperatuur beneden het vriespunt ligt. Komt de temperatuur op R3 boven het vriespunt, dan zal de weerstand van R3 zover zijn gedaald, dat transistor T1 spert. Als T1 spert zal punt X op een spanningsniveau van  $+U_b$  liggen. In het geval transistor

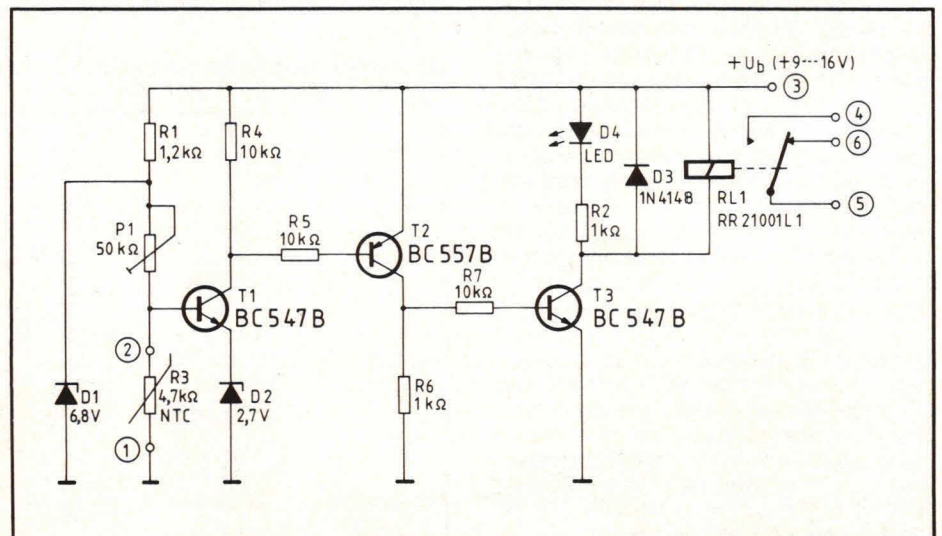
T1 geleidt zal punt X nooit lager kunnen komen dan ongeveer  $2,7 \text{ volt}$ . Dit komt omdat de collectorspanning van T1 nooit lager kan dalen dan de spanning die over zenerdiode D2 staat. Daarbij komt nog een restspanning voor de zogenaamde emitter-collectorverzadigingsspanning van T1.

## Complete schakeling

Fig. 5 geeft de complete vorstalarmschakeling. R3 stelt de NTC voor. Met potmeter P1 kan de schakeling worden geijkt. Dit gaat het gemakkelijkst door de NTC in smeltend water te houden. Hiervoor nemen we eenvoudig een kopje of plastic bekertje en doen dit half vol met koud kraanwater. Vervolgens halen we uit de koelkast enkele ijsblokjes en laten deze smelten. Door nu de NTC bij het smeltende water te houden weten we dat we vrij nauwkeurig een temperatuur van nul graden hebben. Met P1 stellen we dan de schakeling zo in dat relais R1 net aantrekt.

De schakeling werkt zodanig dat, wanneer het niet vriest, relais R1 in de gegeven toestand staat. Treedt er vorst op, dan zal relais R1 omschakelen en maakt aansluitpunt 4 contact met punt 5. De werking van de schakeling is erg eenvoudig. Als het niet vriest zal de NTC een relatief lage weerstandswaarde hebben, zodat transistor T1 spert. Op de collector van T1 zal nu de voedingsspanning staan wat tot gevolg heeft dat transistor T1 niet kan gaan geleiden, omdat tussen de basis-emitterjunction geen spanningsverschil staat. De collector van T2 zal daarom op nulniveau liggen, zodat via weerstand R7 geen spanning op transistor T3 komt en deze transistor dus spert. In dat geval zal er geen collector-

Fig. 5. De vorstalarmschakeling is volledig discreet opgezet.





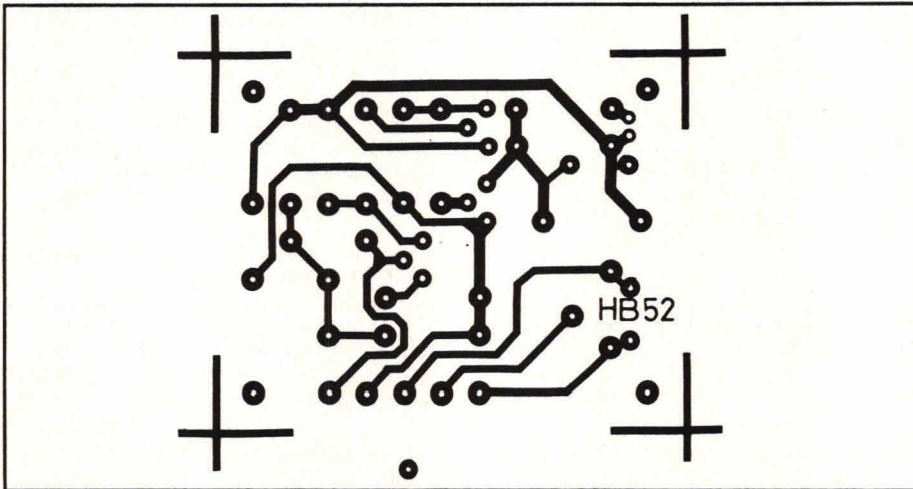


Fig. 6. De layout voor de print, waarop de schakeling volgens fig. 5 kan worden aangebracht.

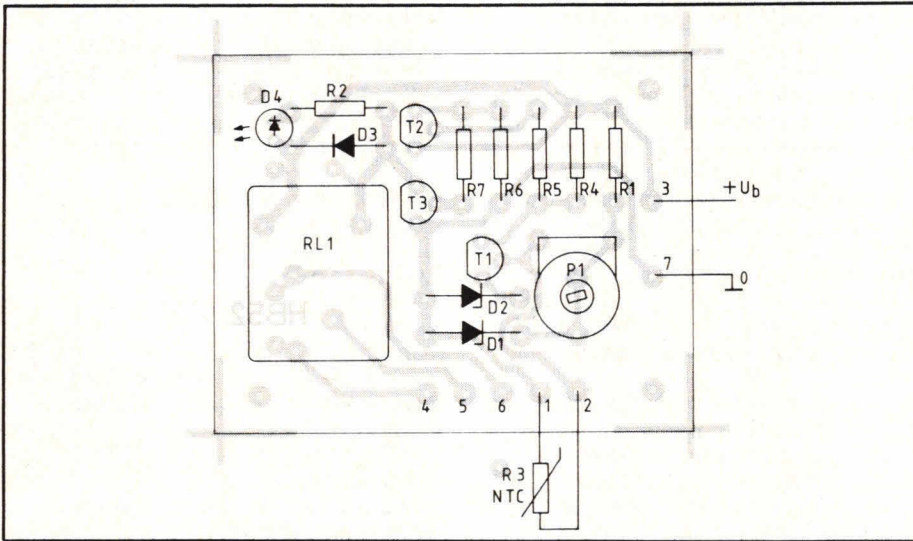


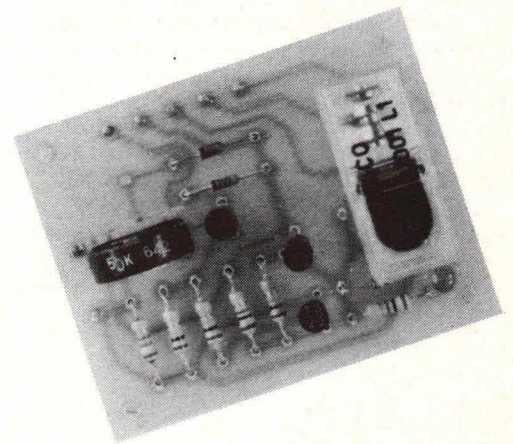
Fig. 7. De componentenopstelling van de schakeling volgens fig. 5 op de layout van fig. 6.

12 volt is, kan voor R1 het beste een weerstand van  $820 \Omega$  worden genomen en boven 12 volt een weerstand van  $1,2 \text{ k}\Omega$ .

Het zal duidelijk zijn, als we de grafiek van fig. 3 bekijken, dat de schakeling ook bruikbaar is om op andere temperaturen te reageren. Met de gegeven NTC waarde van  $4,7 \text{ k}\Omega$  is dat een behoorlijk bereik. De schakeling is ook voor andere temperaturen bruikbaar als een andere NTC-waarde wordt gebruikt. Willen we hogere temperaturen om de schakeling te laten reageren, dan dient een grotere NTC-waarde te worden genomen. Hierop gaan we niet verder in, omdat de schakeling eigenlijk specifiek bedoeld is voor vorstalarm en daarnaast eventueel kan worden gebruikt voor andere doeleinden.

## De print

Fig. 6 geeft de layout voor de print waar-



Afb. 8. De complete vorstalarmschakeling.

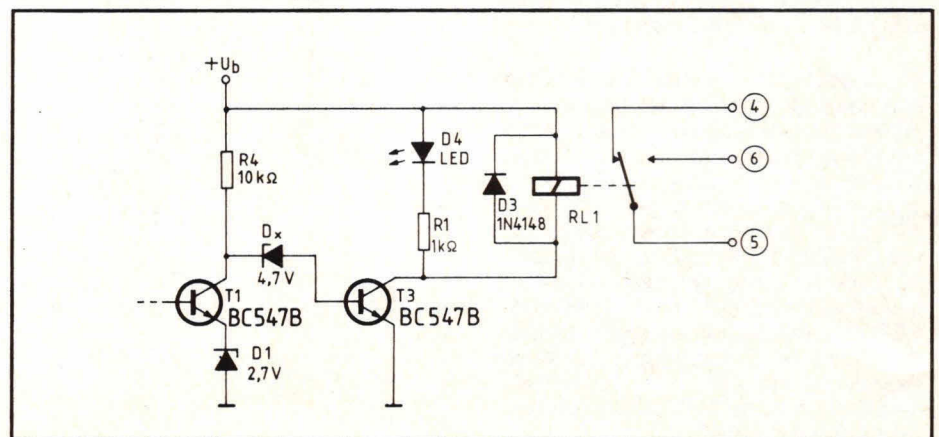
► stroom door T3 lopen, zodat het relais niet kan worden bekrachtigd. Zodra er vorst optreedt, zal NTC R3 een zo hoge weerstandswaarde hebben dat transistor T1 geleidt. Nu zal er een stroom door weerstand R4 naar T1 lopen, zodat over weerstand R4 een spanning valt. Deze spanningsval gaat via weerstand R5 ook naar de basis van transistor T2. Hierdoor zal transistor T2 ook geleiden, zodat er nu een collectorstroom door transistor T2 naar weerstand R6 loopt. Over weerstand R6 zal nu een spanning vallen die via weerstand R7 ook de basis van transistor T3 aanstuurt. Nu zal transistor T3 direct in verzadiging worden gestuurd.

Daardoor loopt een stroom door de relaispoel van RL1 en trekt relais RI1 aan. Tegelijkertijd zal er ook een stroom lopen door diode D4 en weerstand R2, omdat deze ook in de collectorleiding van T3 zijn opgenomen. Op het moment dat relais RI1 aantrekt, zal ook LED D4 licht geven, als indicatie dat het vriest.

In fig. 5 is zenerdiode D1 noodzakelijk om een stabiele werking te krijgen, onafhankelijk van voedingsspanningsvariaties. Als de voedingsspanning beneden

op de schakeling volgens fig. 5 kan worden aangebracht. De schaal is hier 1:1 en het aanzicht is van de soldeerzijde. Fig. 7 geeft de componentenopstelling

Fig. 9. Door diode  $D_x$  aan te brengen, in plaats van transistor T2, kan een zogenaamde fail-safe-alarmwerking worden verkregen.





en afb. 8 geeft een indruk van de complete print. Voor relais RI1 kunnen verschillende types worden gebruikt, omdat er een dubbele printsteek is aangebracht. De bouw van de schakeling kan verder weinig problemen opleveren. Voor de transistoren kunnen in principe ook equivalente types worden genomen. Hoewel in fig. 7 te zien is dat diode D4 op de print is aangebracht, zal deze meestal extern worden aangebracht om op het dashboard te kunnen dienen als vorstindicatie. De draden naar diode D4 hoeven niet te zijn afgeschermd.

## Fail-safe-alarm

De schakeling volgens fig. 5 werkt zo dat, wanneer er geen alarm is, het relais niet is aangetrokken. In veel gevallen kan het wenselijk zijn dat het relais juist in rust is aangetrokken. Immers, wanneer dan de voeding uitvalt, zal ook alarm worden gegeven, zodat we altijd

zeker weten dat de schakeling in orde is. Een dergelijke schakeling, die ook alarm geeft als de voeding uitvalt, noemen we een fail-safeschakeling. De schakeling volgens fig. 5 kan, wanneer we dat wensen, worden gemodificeerd tot een fail-safe-alarm. Fig. 9 geeft hiertoe de modificatie.

De basisschakeling van transistor T1 blijft gelijk en is hier niet getekend. Transistor T2 is nu verdwenen, samen met weerstand R5, R6 en R7. Daarvoor in de plaats is diode Dx gekomen die is opgenomen tussen de collector van T1 en de basis van transistor T3. Nu werkt de schakeling zo dat, wanneer de temperatuur beneden het vriespunt komt, relais RI1 afvalt. Immers, als de NTC-waarde te laag is (te hoge temperatuur) zal transistor T1 sperren, zodat er een stroom via weerstand R4 en diode Dx naar transistor T3 loopt, waardoor transistor T3 geleidt.

## Componentenlijst bij fig. 5 en 7

### weerstanden:

R1 = 1,2 k $\Omega$  (zie tekst)  
R2, R6 = 1 k $\Omega$   
R3 = 4,7 k $\Omega$ , NTC  
R5, R7 = 10 k $\Omega$   
P1 = 50 k $\Omega$ , instelpotmeter, liggend model, steek 5 x 10 mm

### halfgeleiders:

D1 = 6,8 V/250...400 mW, zenerdiode  
D2 = 2,7 V/250...400 mW, zenerdiode  
D3 = 1N4148  
D4 = LED, rood, 5 mm  
T1, T3 = BC547B  
T2 = BC557B

### overige componenten:

1 printje Hob-bit 52  
RI1 = relais, enkelvoudig maakcontact, spoel voor 12 V gelijkspanning, printmodel, bijv. type RR21001L1  
1 kunststofkastje om de schakeling in te monteren

## EXPANDER voor TRS 80

LNW zelfbouwkit met 32 KB, floppydiskcontroller, parallelprinter-interface, RS-232C etc. f 925,-

Deze expander compleet gebouwd met 1 jaar garantie f 1.295,-

**Op voorraad:** alle TEAC diskdrives  
55A FM/MFM, 40 tracks, 250 K f 695,-  
55B FM/MFM, 2 x 40 tracks, 500 K f 875,-  
55E FM/MFM, 80 tracks, 500 K f 875,-  
55F FM/MFM, 2 x 80 tracks, 1000 K f 1.050,-

Tevens importeren wij de 100% TRS 80 en CP/M compatible LNW 80 model II super en overige LNW produkten.

Wij verkopen het volledige KEMA bouwpakkettenassortiment.

## ALLE ELEKTRONICA ONDERDELEN OP VOORRAAD (OOK VEEL JAPANS)

Postorderbestellingen mogelijk met f 7,50 rebourskosten.

**MicroMind**

Broekwegzijde 124, 2725 PE Zoetermeer  
Telefoon 079-314533

**NIEUW**

**HIOKI**

**DMM 3200**

Digitale multimeter met ultra gevoelige meetbereiken.

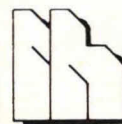


- Bestand tegen val van 1 m hoogte.
- Volledig beveiligd tot 600 V (AC) (Model 3200-50)
- Basisnauwk. 0,35%
- Display 3½ tallig LCD met data hold.
- Autoranging in V en  $\Omega$
- Oplosbaarheid v.a. 10 nA!!
- **uitgebr. meetbereiken:**
  - 10 nA – 10 A (DC + AC)
  - 100  $\mu$ V – 1000 V (DC)
  - 1 mV – 750 V (AC)
  - 0,1 ohm – 20 M ohm.
  - LP ohm, diode test en doorgangstest (middels pieptoon)

Prijs v.a. f 219,- exkl. BTW

Hioki, Sansei, TMK en Cie multimeters zijn o.a. verkrijgbaar bij:

Amsterdam Reinaert Electronics. Apeldoorn Radio Putto Arnhem Hupra B.V./Radio Te Kaat Breda Bernard B.V./Elektra B.V./Polimex B.V./van Vugt B.V. Deventer Bernard B.V. Diemen Bernard B.V. Gorinchem Strago Elektro B.V. 's-Gravenhage Bernard B.V./Eltema B.V./Ruytenbeek 's-Hertogenbosch Smoka B.V./Schoor B.V. Hilversum van Vugt B.V. 's-Heerenberg Zeddam B.V. Katwijk Radio Bosplein Meppel Zeevat B.V. Nijverdal Radio Vo Papendrecht van Rossum Elektro B.V. Rotterdam Bernard B.V./D.L.L.-Elektronika/Elektro Cirkel B.V./Den Hollander B.V./Automatic B.V./Instr. Mak. Ravestijn Schiedam Bernard B.V./Kerger & Co. B.V. Utrecht Bernard B.V./Karsen Elektronika/Radio Centrum Valkenburg (Berg & Terblijt) Haje Elektronika Veenendaal Hupra B.V. Venlo Bernard B.V./Elektro Ofra en Gros B.V. Voorburg Tempcontrol B.V. Weert v/d Meerakker B.V. Zaandam Bosma & Bronkhorst B.V. Brussel Seher & Co.



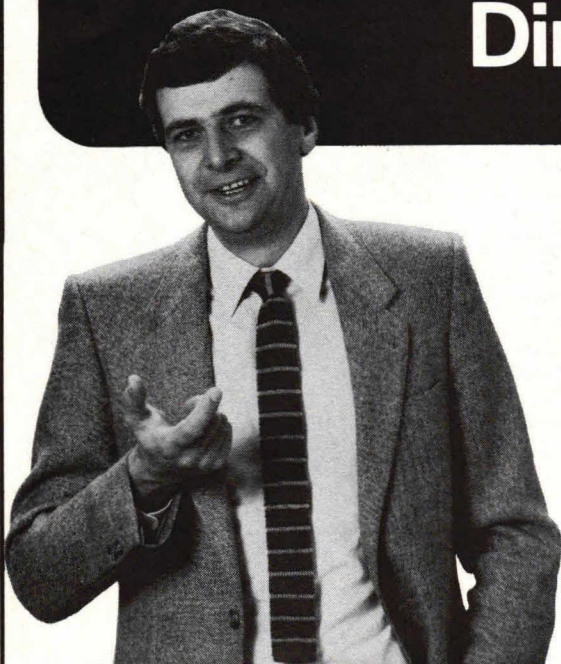
**hartogs**

B.V. ingenieursbureau voor  
Electrotechniek ir. I. Hartogs  
Strevelsweg 700/603  
3083 AS Rotterdam  
Afd. Meettechniek  
Tel. 010-817833  
Telex 28925



# "Meer kans van slagen!"

## Een van de vele redenen om bij Dirksen te studeren



Wie verder wil komen in de wereld van de elektronica of automatisering, vindt bij Dirksen vele mogelijkheden in praktijk- en resultaatgerichte opleidingen. Het erkende opleidingsinstituut Dirksen is dé specialist op dit gebied. Dat merkt u aan de gedegen opzet van het cursusmateriaal, aan de intensieve begeleiding door onze docenten en aan de hoge waardering voor onze opleidingen vanuit bedrijfsleven en overheid. Maar een graadmeter voor de kwaliteit van de cursussen is zeker ook het grote aantal cursisten dat de opleiding met succes voltooit.

### Studeren in eigen tempo

De cursussen van Dirksen worden in principe schriftelijk gegeven. Hierdoor kunt u op ieder gewenst moment starten en in eigen tempo studeren. Thuis, maar met "praktijkhulp" van bijv.

onderdelenpakketten of oefensets. Daarnaast kunt u aanvullende mondelinge lessen volgen. Al met al redenen genoeg om meer informatie over de cursus van uw keuze aan te vragen.

#### Elektronica-opleidingen

- . Basis elektronicus
- . Praktische halfgeleidertechniek
- . Televisietechnicus
- . Computertechnicus
- . Meet- en regeltechnicus
- . Middelbaar elektronicus
- . Examenopleiding technicus NERG
- . Praktische digitale techniek
- . Digitale audio
- . Microprocessors/Microcomputers
- . Assembly programming 8080/8085 en interfacing
- . Basiskennis processorbestuurde systemen
- . Videotechniek
- . Zendamateur
- . Speelautomatentechniek

#### Informatica-opleidingen

- . Basic Programming
- . Pascal
- . Introductie computergebruik
- . Inleiding adm. automatisering
- . Basiskennis Informatica - 1 & 2
- . Bestandsorganisatie
- . Cobol T2
- . Basiskennis Wiskunde WO
- . Org. en Inf.verzorging S1
- . Systeemonderzoek S3



### Elektronica opleidingen Dirksen

Parkstraat 25, 6828 JC Arnhem  
Tel.: 085-451641 of vanuit België:  
00/31 85451641

Wat betreft het schriftelijk onderwijs erkend door de minister van onderwijs en wetenschappen bij beschikking d.d. 18-12-1974, kenmerk BVO/SFO 129.448.

**Bon**

Zend mij informatie en een proefles van de cursus(sen):

Naam: .....

Adres: .....

Postcode/Plaats: .....

Deze bon in een gesloten envelop, zonder postzegel, zenden naar: Elektronica opleidingen Dirksen, Antwoordnummer 677, 6800 WC Arnhem.

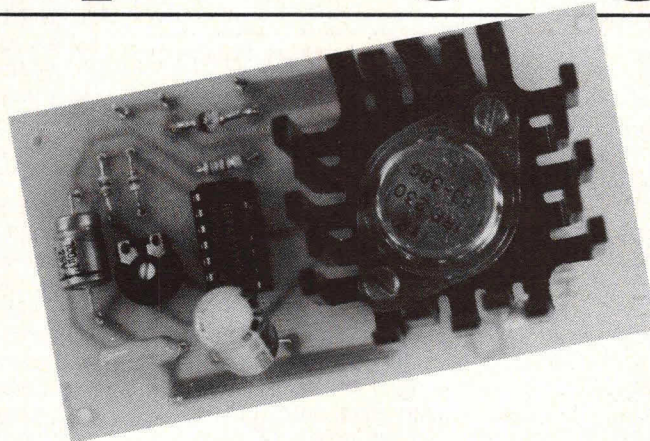
Of bel 085-451641

ook 's avonds en tijdens het weekend (antwoordapparaat).

16-HO-04CF



# Proportionele gelijkspanningsregeling



Nu de zomer voor de deur staat, krijgen we weer te maken met allerlei ventilatieproblemen in de auto. Menige auto is niet voorzien van een prachtige ventilator om bij tropische temperaturen nog een aangename koelte te krijgen. Daarom is vaak een extra ventilator in de auto noodzakelijk. De hier gegeven proportionele gelijkspanningsregeling maakt het mogelijk om iedere gelijkspanningsventilator, waarvan de voedingsspanning tussen ca. 9 en 18 volt ligt, over het volledige toereengebied vrijwel verliesvrij te regelen. Daarnaast kan de proportionele gelijkspanningsregeling universeel worden gebruikt, in het genoemde voedingsspanningsgebied, voor elke gelijkspanningsbelasting, inclusief lampdimmers. Uiteraard kan ook een eventueel reeds aanwezige aanjager in de auto proportioneel worden geregeld. De schakeling is natuurlijk ook buiten de auto bruikbaar voor allerlei doeleinden.

De proportionele gelijkspanningsregeling zoals deze hier wordt gegeven, is een zeer moderne en professionele schakeling. Daarbij is deze schakeling volledig uitgekristalliseerd en voldoet aan de gebruikelijke normgeving. Desalniettemin is de schakeling bijzonder eenvoudig van opzet, een van de kenmerken van een goede schakeling.

Er zijn in de proportionele gelijkspanningsregeling geen overbodige componenten, terwijl menige component een dubbele functie heeft. Omdat we bij de schakeling niet te veel op de theorie willen ingaan, geven we meer een algemene beschouwing hoe een en ander werkt. De proportionele gelijkspanningsregeling maakt namelijk gebruik van een

moderne power-MOSFET transistor, waardoor geheel nieuwe toepassingsgebieden kunnen worden ontdekt.

## De proportionele gelijkspanningsregeling

Fig. 1 geeft een gelijkspanningsmotor M die vanuit een gelijkspanning wordt gevoed via schakelaar S1. Als de schakelaar wordt gesloten, zal motor M draaien. Willen we bij de schakeling van fig. 1 motor M regelen (in toeren) dan zullen we de voedingsspanning moeten kunnen wijzigen of een serieregelweerstand opnemen in serie met de motor. Het regelen van een voedingsspanning brengt verliezen met zich mee, omdat

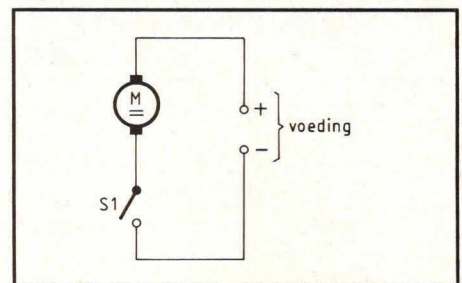


Fig. 1. Als schakelaar S1 wordt geopend, zal er aan de motorzijde van S1 altijd een krachtige positieve inductieve impuls ontstaan.

daarbij de voedingsschakeling de overbodige voedingsspanning en stroom (te zamen vermogen) moet dissiperen. Zetten we een regelweerstand in serie met motor M, dan zal deze het vermogensverlies moeten dissiperen. In beide gevallen hebben we, afhankelijk van het motorvermogen, grote verliezen.

Hetzelfde geldt natuurlijk in fig. 1 als motor M wordt vervangen door een lamp. Ook als de lamp moet worden geregeld in lichtsterkte krijgen we met de genoemde voorbeelden verliezen. Een van de weinige methodes om deze verliezen tot een minimum te beperken, is een proportionele gelijkspanningsregeling. Daarbij laten we de voedingsspanning over motor M in fig. 1 steeds constant. De stroom echter, door motor M, onderbreken we steeds abrupt. Fig. 2 geeft daarvan grafisch een voorbeeld. Daarbij schakelt in fig. 2 de voedingsspanning

**Houd altijd het hoofd koel!**



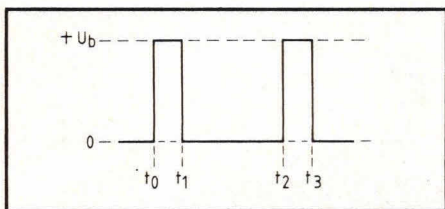


Fig. 2. Deze schakelende gelijkspanning heeft gemiddeld een lage gelijkspanningsstroom.

▶ abrupt tussen nul en  $+U_b$ . Op moment  $t_0$  wordt de voedingsspanning plotseling  $+U_b$ , terwijl op moment  $t_1$  de voedingsspanning weer plotseling nul wordt. Dan blijft de voedingspanning nul tot moment  $t_2$  en wordt dan weer abrupt  $+U_b$ . Vervolgens blijft de voedingspanning tot moment  $t_3$  nog steeds  $+U_b$  en op moment  $t_3$  schakelt de voeding plotseling terug naar nul.

In fig. 2 zien we dat de tijd  $t_0$ - $t_1$  veel korter is dan de tijd  $t_1$ - $t_2$ . De tijd  $t_0$ - $t_1$  is echter weer gelijk aan de tijd  $t_2$ - $t_3$ . Hierdoor zal, als de golfvorm van fig. 2 als voedingspanning van de schakeling van fig. 1 dient, de gemiddelde motorstroom vrij laag zijn. Immers, de tijd gedurende welke een stroom vloeit is veel korter

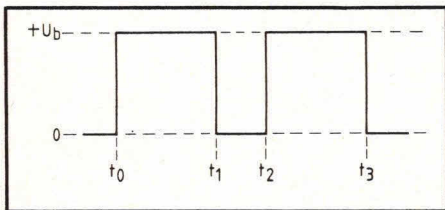


Fig. 3. Deze schakelende gelijkspanning heeft, in relatie met fig. 2, een vrij hoge gemiddelde gelijkspanningsstroom.

dan de tijd gedurende welke geen stroom vloeit.

Anders is het gesteld wanneer de pulsverhouding van de golfvorm volgens fig. 2 wordt gewijzigd in fig. 3. Daarbij moet worden gesteld dat de frequentie van de golfvorm van fig. 2 en fig. 3 gelijk ligt. In fig. 3 is de gelijkspanningsvoedingstijd  $t_0$ / $t_1$ , alsmede de tijd  $t_2$ / $t_3$ , veel langer dan de niet stroomvoerende tijd  $t_1$ / $t_2$ . In fig. 3 zal dus motor M uit fig. 1 een gemiddeld veel grotere stroom krijgen dan met de golfvorm van fig. 2, terwijl de frequentie gelijk blijft. Wat we eigenlijk in fig. 2 en fig. 3 doen is niets anders dan de pulsbreedteverhouding van een schakelende gelijkspanning wijzigen. Dit kunnen we continu doen, zonder dat we kleine stapjes krijgen. Een dergelijke regeling volgens fig. 2 en fig. 3 noemen we een proportionele gelijkspanningsregeling. De verliezen van zo'n regeling zijn extreem laag, omdat deze verliezen alleen worden veroorzaakt door de schakelsnelheid van de op- en neergaande flanken.

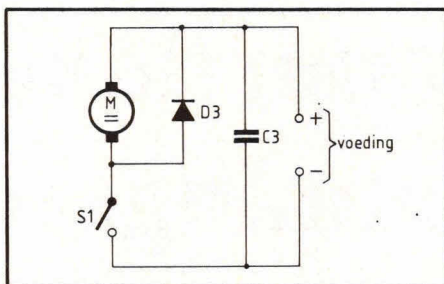


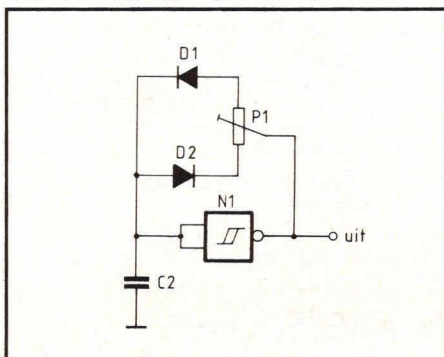
Fig. 4. Als  $S_1$  zeer snel schakelt, treden grote verliezen op vanwege de inductie, die in de motor ontstaat, als via  $S_1$  de motorstroom wordt onderbroken. Diode  $D_3$  kan de genoemde inductieve energie weer terug voeren naar de motor.

## Het grote probleem

De golfvorm volgens fig. 2 en fig. 3 levert een groot probleem op bij inductieve belastingen, zoals gelijkspanningsmotoren. Als we in fig. 1 een lamp aansluiten, hebben we geen enkel probleem. De problemen ontstaan echter als we motor M aansluiten en de voeding maken zoals fig. 2 en fig. 3 aangeeft.

In fig. 4 is te zien hoe dit probleem eenvoudig is op te lossen. Het probleem zit nl. in het feit dat, als de voedingspanning plotseling van  $+U_b$  naar nul gaat, er een sterke positieve inductieve impuls ontstaat aan de schakelaanzijde van motor M uit fig. 1. Daarbij dient te worden verondersteld dat schakelaar  $S_1$  uit fig. 1 in dat geval de pulserende golfvorm volgens fig. 2 en fig. 3 kan leveren. Zodra  $S_1$  in fig. 1 opent, zal aan de motorzijde van  $S_1$  een krachtige inductieve impuls ontstaan die als verliesenergie kan worden aangemerkt. Bij eenmalig schakelen van  $S_1$  vormt dat geen probleem, maar wanneer we snel schakelen, wat de bedoeling is bij de proportionele gelijkspanningsregeling, dan krijgen we grote verliezen. Deze verliezen kunnen echter voor het leeuwedeel worden opgevangen door een diode  $D_3$  in fig. 4. Gaat schakelaar  $S_1$  in fig. 4 open, dan zal de positieve inductieve spanning die dan ont-

Fig. 5. Met één poort kan een proportionele gelijkspanningsregeling worden gemaakt.



staat, via diode  $D_3$ , weer aan de motor worden toegevoegd. Om te voorkomen dat deze energie kan verdwijnen in de voeding, is condensator  $C_3$  aangebracht. Om de proportionele gelijkspanningsregeling goed te kunnen laten werken en een vrij geluidarm geheel te krijgen is het wenselijk dat de frequentie voor de proportionele gelijkspanning boven de gehoorrens ligt. Het zal duidelijk zijn dat diode  $D_3$  dan snel moet kunnen schakelen en condensator  $C_3$  geschikt moet zijn voor het opvangen van snelle inductieve pulsen.

## De proportionele regeling

Om een proportionele regeling te krijgen voor golfvormen conform fig. 2 en fig. 3 kan de schakeling voor fig. 5 worden gebruikt. Hier is een dual gate NAND Schmitt trigger omgetoverd tot een proportionele gelijkspanningsregeling, waarvan de pulsbreedteverhouding is te regelen tussen vrijwel nul en honderd procent. Daarbij zal de frequentie gelijk blijven. De frequentie wordt bepaald door de weerstandswaarde van  $P_1$  en de capaciteit van condensator  $C_2$ .

Om de regeling volgens fig. 5 niet te veel te belasten, kunnen we het beste achter de uitgang van poort  $N_1$  in fig. 5 een aantal buffertrappen conform fig. 6 opnemen. In fig. 6 is een inverter gecreëerd die is opgebouwd uit een dual gate NAND Schmitt trigger. Daarbij vormt punt X de ingang en punt Y de uitgang.

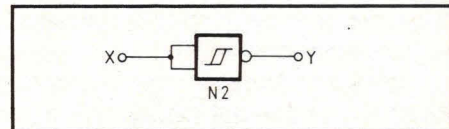


Fig. 6. Om de gelijkspanningsregeling van fig. 5 niet te veel te belasten, kan een buffertrap worden aangebracht die is opgebouwd met dual gate NAND Schmitt triggers.

## De complete proportionele regeling

Fig. 7 geeft het schakelschema van de complete proportionele gelijkspanningsregeling. Als voeding mag in deze schakeling gebruikt worden gemaakt van spanningen tussen 9 en 18 volt. Poort  $N_1$  vormt samen met condensator  $C_2$ , diode  $D_1$ , diode  $D_2$  en potentiometer  $P_1$  de eigenlijke proportionele regeling. Daarbij vormt punt 3 van  $N_1$  de schakelende uitgang. Deze uitgang zit direct gekoppeld aan alle ingangen van de poorten  $N_2$ ,  $N_3$  en  $N_4$ . De uitgangen van deze poorten zitten ook gekoppeld, zodat  $N_2$ ,  $N_3$  en  $N_4$  samen een krachtige buffertrap vormen. Dit is noodzakelijk omdat de eigenlijke schakelaar, transistor  $T_1$ , op de gate een vrij hoge capaciteit heeft, die kan oplopen tot 1 nF of meer.



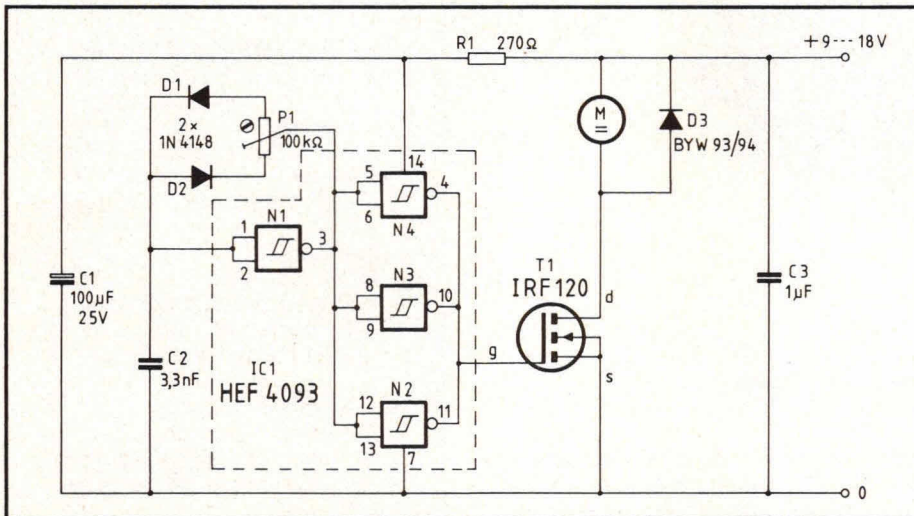


Fig. 7. De volledige proportionele gelijkspanningsregeling.

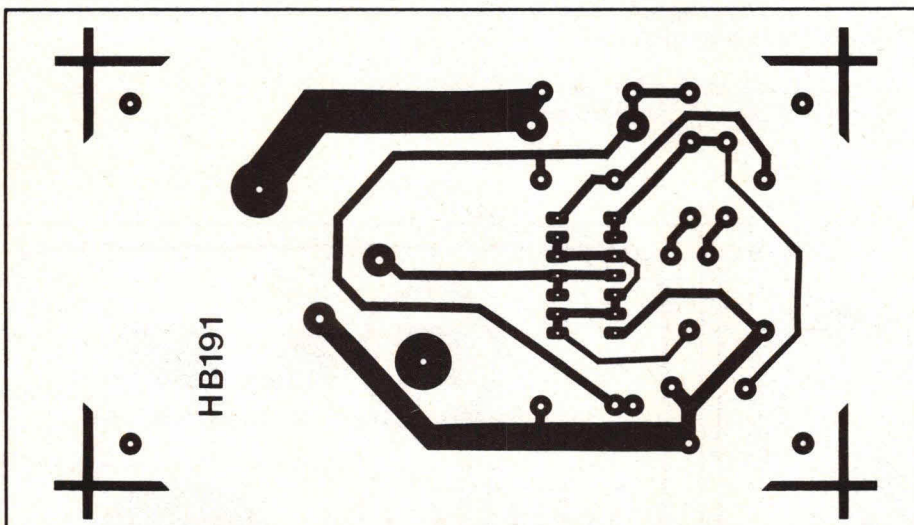


Fig. 8. De layout voor de print waarop de schakeling volgens fig. 7 in haar geheel kan worden aangebracht.

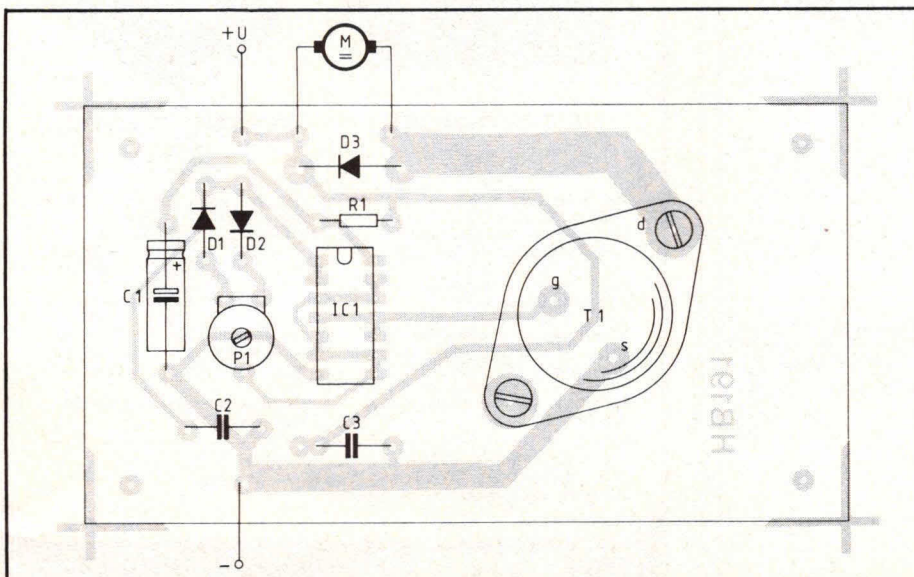


Fig. 9. De componentenopstelling van de schakeling volgens fig. 7 op de layout van fig. 8.

Zouden we geen stroom aan de gate kunnen leveren, dan zou dat ten koste gaan van de schakelsnelheid, ofwel de schakelflanken. In dat geval zouden grote verliezen kunnen ontstaan in de schakelflanken. Door de oplossing van fig. 7 is het echter mogelijk om transistor T1 te laten schakelen rond 100 nano-seconden en dat is bijzonder snel.

De frequentie van de proportionele regeling ligt rond 20 kHz, zodat motor M in fig. 7 geen hoorbare bijgeluiden maakt en alleen zijn eigen mechanisch geluid voortbrengt. Diode D3 moet een zeer snelle schakeldiode zijn, die berekend is op de stromen van motor M. Meestal zal voor D3 een diode kunnen worden genomen met een stroomsterkte van 3 ampère continu. Een BYW93 of BYW94 (Philips) voldoet uitstekend.

Neem voor D3 geen conventionele gelijkrichtdiode, omdat deze veel te traag is en enorme verliezen zal opleveren. Voor C3 moet een inductie-arme condensator worden genomen.

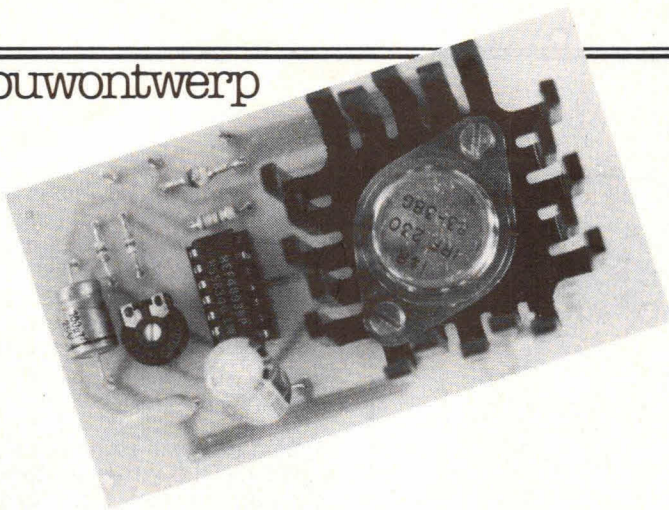
In fig. 7 zorgen R1 en elco C1 voor gelijkspanningsafvlakking, om te voorkomen dat eventuele stoorspulsen rond de motor kunnen doordringen tot de eigenlijke regeling. Mocht de regeling enige radiostoring veroorzaken, dan is het wenselijk om in serie met de positieve voedingslijn een ontstoorspoel op te nemen met een waarde van ongeveer 3 milliHenri. Voor transistor T1 uit fig. 7 moet altijd een TO-3 behuizing worden genomen. Als een MOSFET van International Rectifier wordt genomen, zoals het aangegeven type IRF 120, mag continu 6 ampère worden verwerkt. Uiteraard zijn andere power-MOSFET transistoren bruikbaar. Zo kan een BUZ 23 van Siemens 8 ampère schakelen. Er zijn voor laagspanning power-MOSFET transistoren tot ca. 20 ampère verkrijgbaar. Let er steeds op dat, afhankelijk van de belasting M in fig. 7, diode D3 dezelfde maximale stroom kan hebben als via T1 wordt geschakeld.

Uiteraard kan motor M uit fig. 7 ook worden vervangen door een andere inductieve belasting danwel een ohmse belasting zoals een lamp. In dat geval kunnen we forse lampen tot 100 watt of meer proportioneel regelen zonder dat daar verliezen optreden die meer dan enkele procenten zijn.

## De print

Fig. 8 geeft de layout voor de print waarop de schakeling volgens fig. 7 in haar geheel kan worden aangebracht. Daarbij is T1 voorzien van een koellichaam. Afhankelijk van de belastingsstroom van M uit fig. 7 kan dit koellichaam eventueel worden weggelaten. Daarbij dient te wor-





Afb. 10. De moderne universele proportionele gelijkspanningsregeling.

## Componentenlijst bij fig. 7 en 9

### weerstanden:

R1 = 270 Ω  
P1 = 100 kΩ, instelpotmeter, liggend model, steek 5 × 10 mm (zie tekst)

### condensatoren:

C1 = 100 μF/25 V, axiaal  
C2 = 3,3 nF  
C3 = 1 μF, inductiearm

### halfgeleiders:

D1, D2 = 1N4148  
D3 = BYW93, BYW94 (zie tekst)  
IC1 = HEF 4093BP  
T1 = IRF 120 (zie tekst)

### overige componenten:

1 print HB 191  
1 koellichaam voor TO-3 behuizing (met een buitenmaat van ongeveer 4,5 × 4,5 cm)

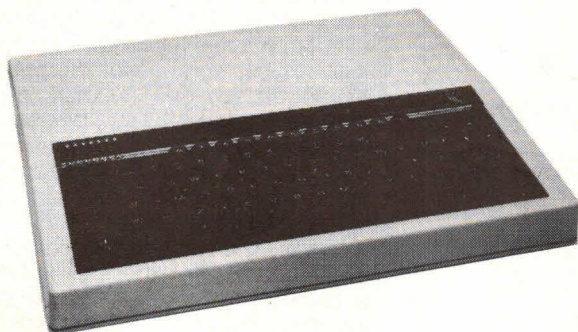
den bedacht dat de power-MOSFET transistor vrij hoge temperaturen kan verdragen (continu 130 °C of meer) zonder dat de transistor begint af te wijken. Kom bij zo'n transistor nooit echter boven 150 °C want dan is hij direct kapot.

In fig. 9 is potmeter P1 op de print geplaatst. Dit kan natuurlijk ook worden gewijzigd in een externe draaipotentiometer. Neem daar wel bijzonder korte draden voor, omdat anders storingen kunnen optreden. Nog beter is het om de

aansluitingen van de draaipotentiometer ook direct bij de print te leggen. Gezien de eventueel lange as van de draaipotentiometer zal dat gemakkelijk kunnen. Lange draden zullen, vanwege de hoge schakelfrequentie van poort N1 uit fig. 7, storing kunnen veroorzaken.

Tot slot geeft afb. 10 een foto van de complete proportionele gelijkspanningsregeling.

## holland computer techniek



### BBC micro

In Engeland een ongehoord succes. Snelle BASIC interpreter met o.a. procedures en uitgebreid stel grafische commando's. Ingebouwde assembler. Uitgebreid 16 k ROM machine operating system.

### BBC software

Weinig computerleveranciers kunnen zich beroemen op de veelheid van software die door ACORN zelf en andere software bureaus in de loop van twee jaar op de markt is gebracht, en nog steeds komen nieuwe titels uit. Het valt niet mee om alles op de plank te hebben,

Met standaard interfaces voor cassette, printer, RGB monitor en diverse andere en daarmee de meest complete home computer op de markt. Disk interface in te bouwen.

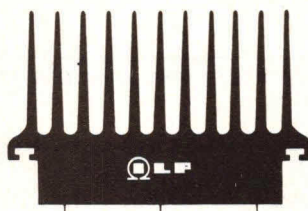
maar we doen ons best. Software in ROM: tekst verwerkers, spreadsheets, databases, diverse compilers, o.a. PASCAL (geschikt voor de TELEAC cursus), disk doctor etc. Op cassette: veel games, utilities en opleiding.

Keizer Karelweg 335 - 1181 RD Amstelveen

Telefoon 020 - 41 44 68



....MAGTIGE MODULES....



### VERSTERKER-MODULES

#### KANT-EN-KLAAR GARANTIE: 2 JAAR!

Voorversterker HY6 en HY66. Eindversterkers: 15W, 30W, 60W, 120W en 180W sinus.

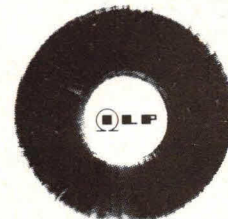
Hoge kwaliteiten, lage prijzen, bijv. 30W kost slechts f 69,-.

Alle zijn meervoudig beveiligd.

Uitstekende geluidskwaliteit.

Voedingen met ringkerntrafo. Nu ook modules met MOSFET's.

Dit zijn de meest verkochte complete versterker-modules in Nederland!



### RINGKERNTRAFO'S

Deze nieuwe ringkerntrafo's bieden veel voordelen t.o.v. de oude rechthoekige blikpakkettrafo's:

GEWICHT + HOOGTE gehalveerd. MAGN. STROOIVELD veel kleiner, dus min. brominductie. NULLASTSTROOM zeer laag. SNEL te monteren: slechts 1 bout. HOGE betrouwbaarheid, want I.L.P. gebruikt prima materialen. UIT VOORRAAD: meer dan 130 types van 15 tot 1000 VA.

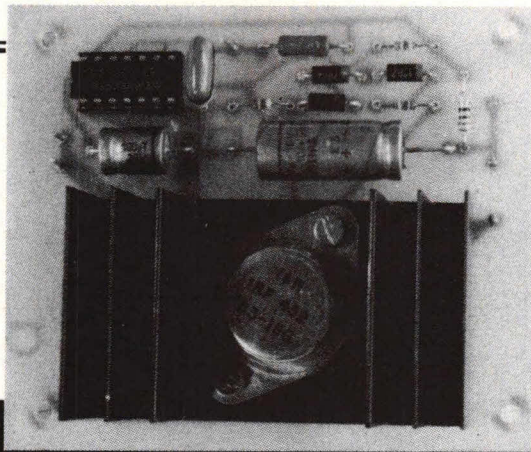
LAGE prijzen, bijv. 30 + 30V 5A kost slechts f 99,-.

Verkrijgbaar bij meer dan 100 winkels in Nederland. Meer gegevens worden op aanvraag gratis toegezonden. Bei even, ook 's avonds en zaterdags:

**RODEL**  
GELUIDSTECHNIEK

I.L.P. IMPORTEUR VOOR DE BENELUX  
STEINWEGSTRAAT 37  
7491 KJ DELDEN, TEL. 05407 - 20 24





# Power-MOS-FET transistorontsteking

Door de opkomst van power-MOSFET transistoren kan een vrije ideale transistorontsteking worden gemaakt, waarbij nauwelijks verliezen optreden. Daarbij heeft deze power-MOSFET-transistorontsteking alle voordelen die bij andere transistorontstekingen niet zijn te ontdekken. In de eerste plaats is een power-MOSFET-transistorontsteking niet temperatuurgevoelig. In de tweede plaats ligt het schakelen van een power-MOSFET-transistor in het nano-secondengebied wat de ontstekingsnauwkeurigheid ten goede komt. Daarnaast zijn er verschillende soorten power-MOSFET-transistoren met stromen tot meer dan 10 ampère en een spanningsgebied tot 500 volt. Afhankelijk van de vereiste transistorontsteking kunnen we zelf een bepaald type power-MOSFET-transistor kiezen.

Jarenlang zijn er transistorontstekingen gebouwd waarbij gebruik werd gemaakt van conventionele transistoren met een basis, emitter en collector aansluiting. Dergelijke transistorontstekingen hadden grote nadelen. In de eerste plaats konden deze hoogspanningstransistoren gemakkelijk worden vernield. Daarnaast waren ze erg temperatuurgevoelig en hadden ook een vrij grote overgangswaarde. Al met al was een dergelijke transistorontsteking niet zo ideaal. De power-MOSFET heeft al deze nadelen niet. Om enig inzicht te krijgen in de werking van de power-MOSFET-transistorontsteking zullen we aandacht besteden aan de conventionele ontsteking.

## De conventionele ontsteking

Een conventionele ontsteking bestaat, zoals fig. 1 laat zien, uit een bobine (L1/L2), een condensator Cx en een schakelaar S1. Schakelaar S1 wordt over het algemeen de onderbreker genoemd. Bij veel moderne auto's is schakelaar S1 vervangen door een optische schakelaar waarbij geen mechanische delen meer worden gebruikt. Echter veel auto's heb-

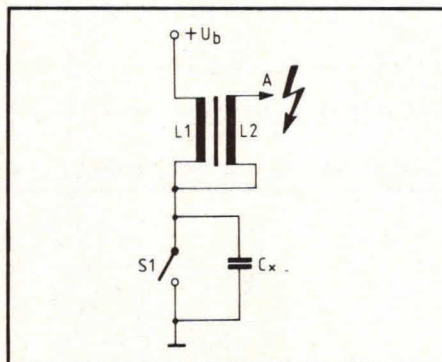


Fig. 1. De conventionele ontsteking bestaat uit bobine L1/L2, onderbreker S1 en onderbrekercondensator Cx.

ben nog steeds een mechanische onderbreker. De conventionele ontsteking volgens fig. 1 werkt erg eenvoudig. Als schakelaar

S1 (de onderbreker) wordt gesloten, zal er een stroom gaan lopen door spoel L1. Verondersteld wordt, dat spanning +Ub de positieve accuspanning is. De stroom door L1 zal langzaam oplopen vanaf een nulwaarde tot een zogenaamde verzadigingswaarde. Als op een gegeven moment schakelaar S1 wordt geopend, zal dit tot gevolg hebben dat de stroom zichzelf in stand zal willen houden, wat niet lukt, zodat er een plotselinge spanningsstoot optreedt in spoel L1. Deze spanningsstoot zal mede ten gevolge van wederzijdse inductie op spoel L2 tevoorschijn komen, zodat punt A een hoogspanningspuls afgeeft. Daarbij is het in fig. 1 zo, dat spoel L2 veel meer windingen heeft dan spoel L1. De kwaliteit van de ontsteking hangt mede af van de kwaliteit van de bobine, die bestaat uit spoel L1/spoel L2.

Er zijn veel soorten bobines in de handel. Door de opkomst van de transistorontsteking kennen we tegenwoordig ook bobines met een relatief hoge stroom, tot ca. zeven ampère, terwijl de spanning slechts kan oplopen tot enkele honderden volts. De conventionele transistorloze bobine was anders gedimensioneerd. Daar ging het om een stroom van enkele ampères, terwijl de spanning veel hoger kon oplopen. Met de genoemde spanning bedoelen we natuurlijk de primaire bobine-spanning (dat is de spanning die over spoel L1 kan komen te staan). Het zal duidelijk zijn dat de speciale transistorontsteking-bobines zijn ontwikkeld om te kunnen worden aangepast aan de gangbare hoogspanningstransistoren die toentertijd op de markt waren. Omdat de transistoren toentertijd een lagere spanning konden hebben dan het conventionele onderbrekercontact (S1) werd voor de transistorontsteking een hogere primaire stroom genomen zodat toch se-

**Nauwkeurig en niet temperatuurgevoelig**



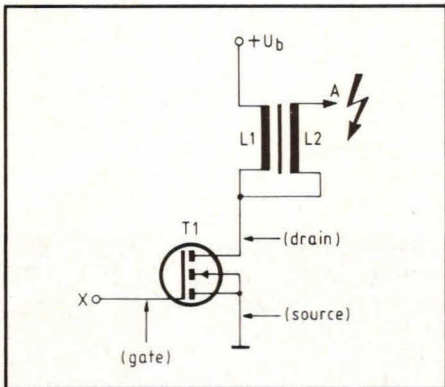


Fig. 2. Een power-MOSFET-transistor kan bijzonder goed als hoogspanningsschakelaar worden gebruikt.

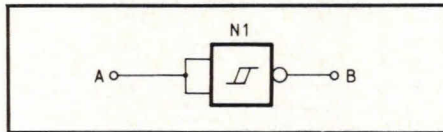


Fig. 4. Een NAND Schmitt trigger-poort kan bijzonder goed worden gebruikt als storingsvrije inverter.

stand van  $0,4 \Omega$  of minder. Dit houdt in dat de verliezen, als T1 geleidt, bijzonder laag zijn, zodat slechts weinig extra koeling voor T1 nodig is. Daarnaast heeft een power-MOSFET het grote voordeel ontzettend temperatuurstabiel te zijn. Dit komt ons goed van pas, omdat de motortemperaturen kunnen liggen in een gebied van  $-40^\circ\text{C}$  tot ca.  $+90^\circ\text{C}$ . In dat hele gebied is een power-MOSFET-transistor stabiel.

Zoals fig. 2 de power-MOSFET-transistor als schakelaar geeft kan deze niet worden gebruikt. Er is een bescherming nodig tegen te hoge spanningen op de drain. Dit kan echter vrij eenvoudig door de toepassing van een zenerdiode zoals fig. 3 aangeeft. Als in fig. 3 transistor T1 gaat sperren, zal er een positieve

hoogspanningspuls ontstaan op de drain. Als deze boven de zenerdiodewaarde van D4 komt, zal de hoogspanning via D4 op de gate (punt X) terecht komen, waardoor transistor T1 weer gaat geleiden. De hoogspanning op de drain van T1 wordt dus gelimiteerd door de zenerdiodewaarde van D4.

De schakeling volgens fig. 2 en fig. 3 is niet direct bruikbaar, omdat de sturing op de gate precies verkeerd om werkt. Immers, in fig. 1 is te zien dat er een stroom moet lopen wanneer onderbreker S1 is gesloten. Om dat te kunnen krijgen met de schakeling volgens fig. 2 en fig. 3 is een inverter nodig. Hiervoor gebruiken we de inverter volgens fig. 4, die is opgebouwd uit een zogenaamde dual NAND-gate-Schmitt trigger.

De twee ingangen zijn hier gekoppeld tot punt A. Als punt A positief is, zal punt B nul zijn. De Schmitt-triggerwerking is in fig. 5 ter verduidelijking grafisch weergegeven. Als de ingang A schakelt van moment  $t_0$  naar  $t_1$  wordt deingangsspanning positief. Daarbij zal de uitgang pas omschakelen op spanningsniveau  $U_w$ .

Schakelt punt A weer van  $+U_b$  terug naar nul (wat in fig. 5 gebeurt tussen tijdstip  $t_2$  en  $t_3$ ), dan zal de uitgang pas terugschakelen op spanningsniveau  $U_v$ . We zien in fig. 5 dat het schakelen van de uitgang, op een bepaald ingangsniveau, niet hetzelfde is bij de op- en neergaande flanken. Het spanningsverschil waarbij dit plaatsvindt ( $U_v/U_w$ ) noemen we de hysteresis. Dit spanningsverschil in schakelen komt de storingsongevoeligheid van de power-MOSFET-transistorontsteking ten goede. In de praktijk zal het spanningsverschil tussen  $U_v$  en  $U_w$  meer dan 1 volt kunnen bedragen.

► cundair in fig. 1 op A dezelfde hoogspanning tevoorschijn kon komen.

## De power-MOSFET als schakelaar

De transistorontsteking die wij bedoelen, maakt gebruik van een power-MOSFET op de plaats van S1 in fig. 1. Fig. 2 geeft daarvan een voorbeeld.

T1 is hier een power-MOSFET-transistor. De sturing vindt plaats op de gate. We kunnen hier gebruik maken van een power-MOSFET met een drain-source-spanning van 500 volt. Interessant is in fig. 2 dat punt X geen stroom nodig heeft om te worden gestuurd. Er verdwijnt geen stroom via de gate naar de source of de drain. Toch is er wel een stroom noodzakelijk. Deze is nl. nodig om snelle schakelflanken te kunnen krijgen op de gate van transistor T1. Dit is noodzakelijk, omdat de gate t.o.v. de source een behoorlijke capaciteit heeft die op kan lopen tot 1 nF of meer.

In fig. 2 stelt L1/L2 de bobine voor. In principe mag dit elk soort bobine zijn, of het nu een transistorbobine danwel een gewone bobine is. Een power-MOSFET heeft het grote voordeel, dat wanneer deze transistor geleidt, de weerstand tussen de drain en source bijzonder laag is. Zo zijn er transistoren met een weer-

Fig. 3. Zenerdiode D4 kan voorkomen dat de drain-source spanning te hoog oploopt.

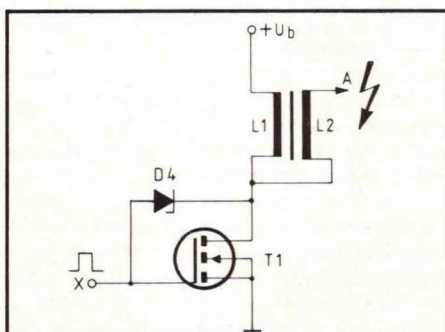


Fig. 5. Deze grafiek geeft de schakelflanken voor een NAND Schmitt-trigger. Daarbij schakelt de uitgang om op de spanningsniveaus  $U_v$  en  $U_w$ .

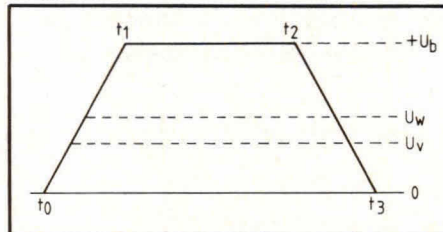
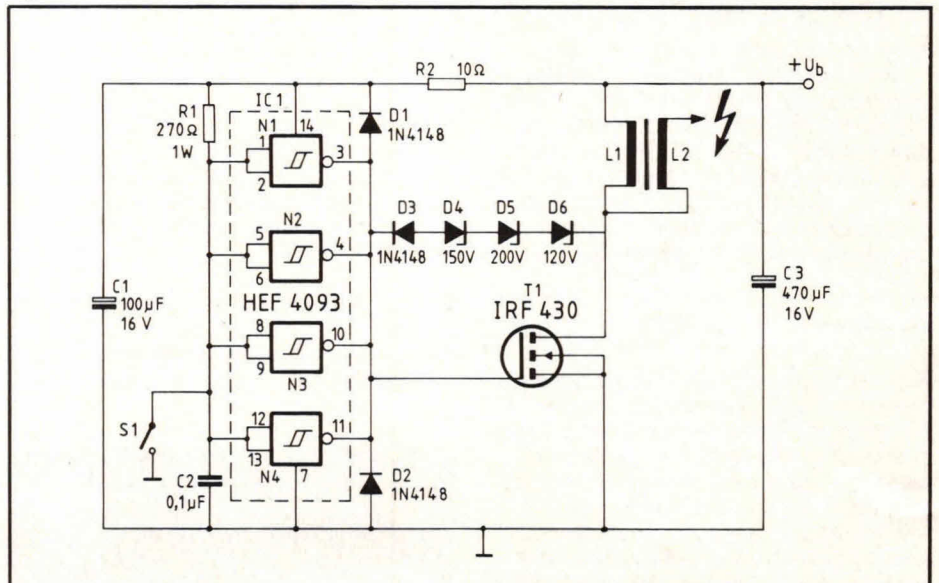


Fig. 6. De complete transistorontsteking.





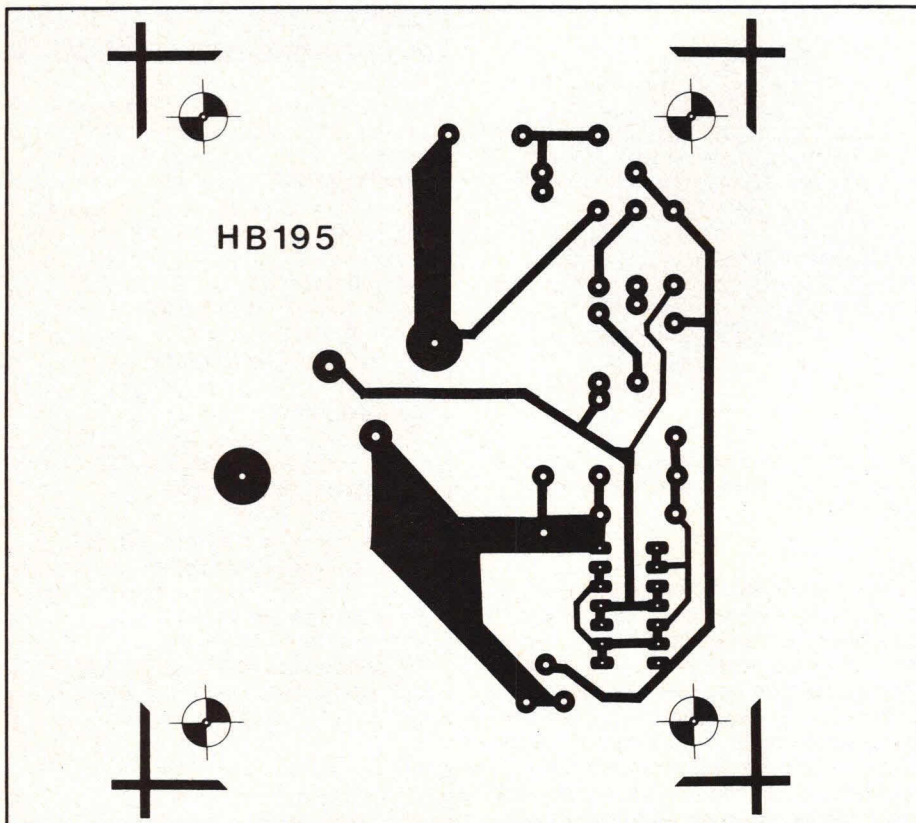


Fig. 7. De layout voor de print van de schakeling volgens figuur 6. Deze schaal is hier 1:1 en het aanzicht van de soldeerzijde.

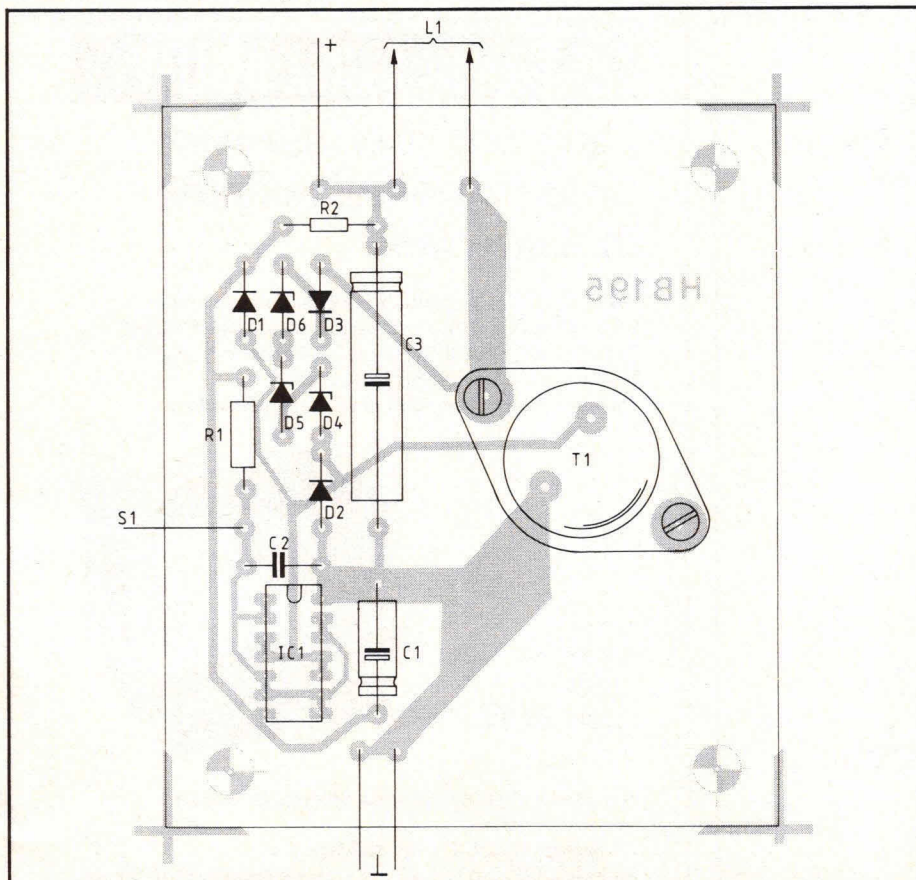


Fig. 8. De componentenopstelling van de schakeling volgens fig. 6 op de layout van fig. 7.

## Compleet schakelschema

Fig. 6 geeft de complete transistorontsteking. S1 stelt het conventionele onderbrekercontact voor. Dit kan in principe ook een elektronische schakeling zijn. Als voor onderbreker S1 een elektronische onderbreker wordt gebruikt, dient deze zo te werken, dat wanneer het onderbrekercontact 'gesloten' is, deze geen spanning afgeeft. Zo werkt immers ook de conventionele onderbreker S1 uit fig. 6.

Een conventionele onderbreker heeft een bepaalde stroom nodig om een reinigende contactwerking te krijgen. Als S1 is gesloten, zal er een stroom van ongeveer 50 milliampère via R1 en het gesloten contact van S1 naar massa vloeien. In dat geval liggen alle ingangspunten van de poorten N1 tot en met N4 op nul. Dit houdt in dat alle uitgangspunten van genoemde poorten positief zijn, zodat de gate van T1 ook positief is. In dat geval zal MOSFET transistor T1 geleiden en loopt er ook een stroom via de primaire spoel L1 naar massa. Samengevat komt de werking er dus op neer dat, als S1 is gesloten, er ook een stroom door L1 loopt. Daarbij stelt in fig. 6 +Ub de positieve accuspanning van 14 volt voor. Deze accuspanning loopt natuurlijk via het contactslot.

In fig. 6 zijn vier poorten (N1 tot en met N4) parallel geschakeld. Dit heeft het grote voordeel dat de schakelsnelheid van de transistorontsteking wordt verhoogd. Immers, de stroom die nu op de uitgang kan worden geleverd van de vier poorten is vier keer zo hoog dan van elke poort afzonderlijk.

In fig. 6 zorgen de diodes D4, D5 en D6 voor beveiliging van de drain-source-spanning van T1. Deze diodes vormen samen de zenerdiode D4 uit fig. 3. Omdat we uitgaan van een transistor die 500 volt kan hebben, moeten de zenerdiodes D4, D5 en D6 samen een zenerdiode waarde hebben die niet hoger komt dan 480 volt. In fig. 6 is als voorbeeld een zenerdiode van 120 V, een zenerdiode van 150 V en een zenerdiode van 200 V gebruikt. Samen hebben deze een waarde van 470 volt.

Diode D3 is in fig. 6 noodzakelijk om belasting van de poorten te voorkomen als transistor T1 geleidt. Immers, in dat geval zou de positieve spanning van de uitgangspunten van de poorten op de drain terecht kunnen komen vanuit de gate. Diode D3 verhindert dat.

Weerstand R2 en elco C1 vormen nog een filter om storingen in de werking te voorkomen. Elco C3 is noodzakelijk voor een lage impedantie bij de transistorontsteking. De diodes D1 en D2 zijn ook ter



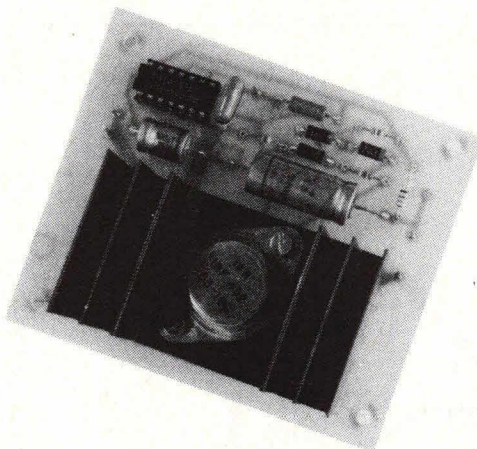
- ▶ beveiliging opgenomen. Condensator C2 verhoogt ook de stoorongevoeligheid van de schakeling.

Voor T1 is in fig. 6 een IRF 430 gebruikt. Dit is een 500 volt transistor welke 3,5 ampère kan hebben, met een weerstand tussen drain-source van 1,5  $\Omega$  wanneer de transistor geleidt. Ook is bruikbaar, afhankelijk van de maximale bobine-stroom, een IRF 450. Deze kan ook 500 volt hebben, maar is geschikt voor 10 ampère, en heeft een zogenaamde on-resistance van 0,4  $\Omega$ . Een IRF 452 is eveneens bruikbaar omdat deze 500 volt kan hebben met een stroom van 8 ampère, terwijl de on-resistance 0,5  $\Omega$  is. De BUZ 44 (Siemens) mag 500 volt hebben bij 5,6 ampère en de BUZ 45 van Siemens is geschikt voor 500 volt/8,6 ampère. Al deze transistoren zitten in een zogenaamde TO 3 behuizing.

## De print

Fig. 7 geeft de layout voor de print waarop de schakeling volgens fig. 6 kan worden aangebracht. Fig. 8 geeft de componentenopstelling en ter verduidelijking geeft fig. 9 een indruk van de complete transistorontsteking.

Voor T1 moet een klein koelvlak worden



Afb. 9. Deze foto geeft een goede indruk van de complete, compacte moderne transistorontsteking.

gebruikt, zoals afb. 9 laat zien. De bouw van de transistorontsteking kan verder nauwelijks problemen opleveren. Wel dienen we voorzichtig met T1 om te gaan en de gate niet met de vingers aan te raken en de transistor in de antistatische verpakking te laten zitten tot we deze gebruiken. We pakken daarbij de transistor voorzichtig met de vingers vast bij het metalen huis en monteren deze direct via het koellichaam op de print.

## Componentenlijst bij fig. 6 en 8

### weerstand:

R1 = 270  $\Omega$ /1 watt  
R2 = 10  $\Omega$

### condensatoren:

C1 = 100  $\mu$ F, 16V, axiaal  
C2 = 0,1  $\mu$ F  
C3 = 470  $\mu$ F/16V, axiaal

### halfgeleiders:

D1, D2, D3 = 1N 4148  
D4, D5, D6 = zenerdiode, 250...400 mW (totaal ca. 480 volt)  
IC 1 = HEF 4093  
T 1 = IRF 430, IRF 450, IRF 452, BUZ44, BUZ45 (zie tekst)

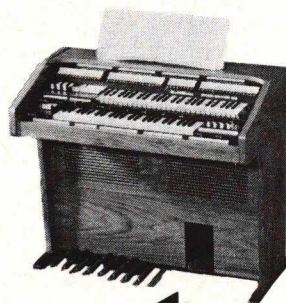
### overige componenten:

1 print Hob-bit 195  
1 koel-lichaam voor TO3-transistor met een buitenmaat van 4 cm bij ca. 6 1/2 cm

# Böhm

Het orgel, dat u zelf bouwt. Een fascinerende hobby, een fantastische sound.

Ontdekt u een nieuwe fascinerende hobby. Bouw uw elektronisch orgel zelf. Het Dr. Böhm bouwpakketensysteem is doordacht en ook voor leken geschikt. In onze showroom kunt u het hele Dr. Böhm-programma live beleven. Bezoekt u ons. Wij informeren u graag kosteloos en vrijblijvend.



# Dr. Böhm

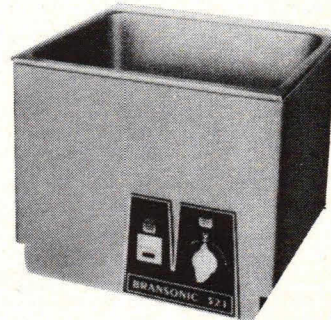
Electronische orgels in bouwpakketensysteem

Filiaal Nederland  
Herculesplein 229 - 3584 AA Utrecht  
tel. 030 - 52 34 23

# FADDEGON & KOUW B.V.

Centrum voor uurwerk- en edelmetaaltechniek in Nederland

Presenteert zijn ijzersterk programma ultrasonische 'reinigungsapparatuur in de wereldmerken BRANSONIC - ELMA - GRIESHABER', vanaf 0,5 liter tot 2,75 liter bakinhoud. Met of zonder ingebouwde verwarming/tijdschakelklok en/of losse generator.



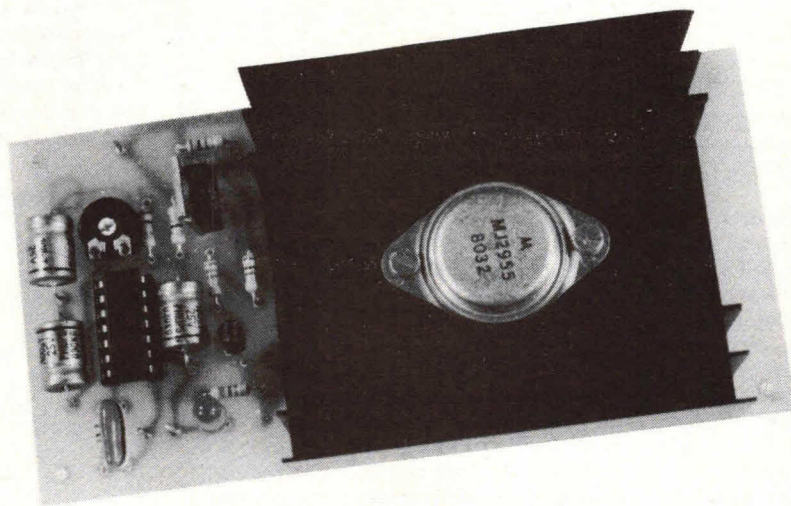
Al vanaf f 495,- excl. BTW.

Alle vloeistoffen (ook voor electronica) leverbaar!!

Showroom NES 5-7 - Amsterdam C  
dag. geopend 9.00-16.00 uur - 's zaterdags 9.00-13.00 uur.  
Telefoon 230568-223434  
Postbus 1277 - 1000 BG Amsterdam



# Achterraut- verwarmingsautomaat

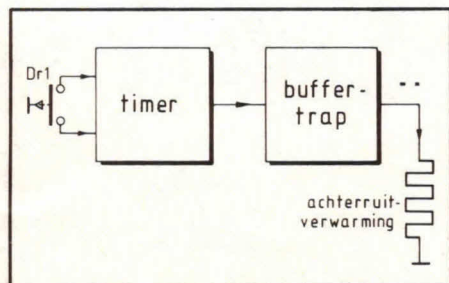


## Voor verstrooide automobilisten

Een groot nadeel van vrijwel alle achterrautverwarmingen in de auto is dat we meestal vergeten deze weer uit te zetten als de achterraut vrij is van wasem. Dat kost onnodig veel energie. De hier gegeven achterrautverwarmingsautomaat maakt het mogelijk om de achterrautverwarming in te schakelen waarna deze zich na geruime tijd automatisch zelf weer uitschakelt. De tijd gedurende welke de achterrautverwarmingsautomaat aan blijft, kan worden ingesteld afhankelijk van de persoonlijke voorkeur.

Het heeft ons reeds jaren geërgerd, dat we vaak na uren moeten constateren dat de achterrautverwarming onnodig hele lange tijd heeft aangestaan. Omdat zo'n achterrautverwarming nogal wat energie verslindt, kost dit uiteraard ook brandstof. Immers, de elektrische energie die we vanuit de accu putten, komt uiteindelijk uit de brandstof die we bij de pomp halen. Om onnodig energieverlies via de achterrautverwarming te voorkomen, kan

Fig. 1. De achterrautverwarmingsautomaat bestaat uit een timer en een buffertrap.



een bijzonder eenvoudige, maar effectieve, schakeling worden gebruikt. De schakeling is blok-schematisch gegeven in fig. 1.

Met drukknop Dr1 wordt de achterrautverwarmingsautomaat ingeschakeld. Als Dr1 even wordt bediend, zal de timer een bepaalde looptijd spanning afgeven. Deze spanning gaat, via een gecompliceerde buffertrap, naar de achterrautverwarming. Naast de achterrautverwarming conform fig. 1 is ook een optische indicatie aanwezig, die op het dashboard kan worden aangebracht. Daarbij geeft een lichtdiode gedurende de tijd dat de achterrautverwarming aanstaat licht af.

### De timer

Voor de timer, conform fig. 1, gebruiken we een monostabiele multivibrator in geïntegreerde vorm. Fig. 2 geeft hiervan een globale schets.

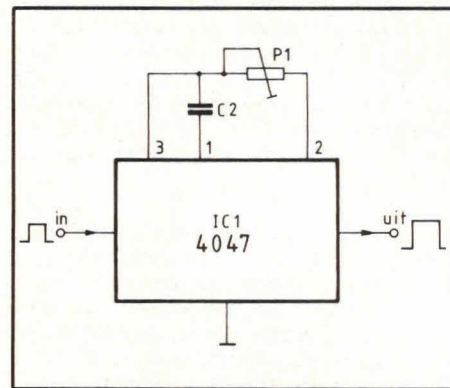


Fig. 2. De timer-looptijd wordt bepaald door de capaciteit van C2 en de weerstandswaarde van P1.

De timer bestaat in dit geval uit een CMOS-schakeling. De looptijd bepalende componenten zitten tussen de externe aansluitpunten 1, 2 en 3. Daarbij wordt de looptijd bepaald door de capaciteit van elco C2 en de weerstandswaarde van de instelpotmeter P1. Praktisch gezien zal de looptijd van de schakeling volgens fig. 2 ongeveer gelijk zijn aan  $2,48 \times C2 \times P1$ . Daarbij dient het volgende te worden bedacht:

De weerstandswaarde van potmeter P1, zoals gegeven in de genoemde formule, kan zijn samengesteld uit een potmeterwaarde en de waarde van een serie-weerstand. In dat geval gaat het natuurlijk om de gezamenlijke weerstandswaar-



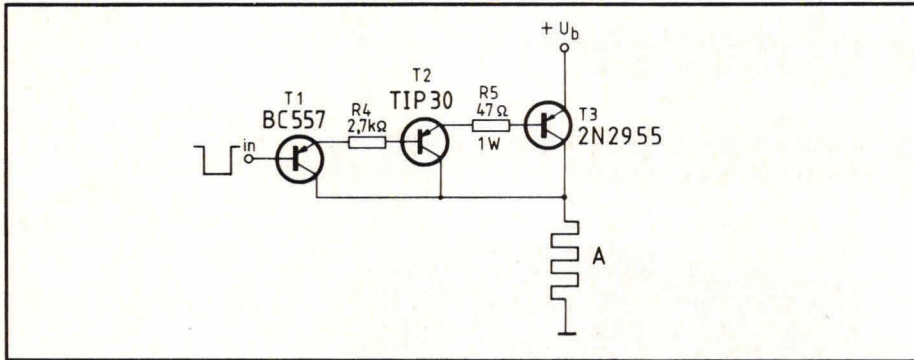


Fig. 3. De buffertrap is opgebouwd met drie PNP-transistoren.

niettemin kunnen we ook spreken van een bepaalde vorm van emittervolgers, omdat de transistoren T1, T2 en T3 samen een forse stroomversterking geven. Deze stroomversterking gaat totaal gezien naar belasting A (de achterruitverwarming). Omdat elke transistor een bepaalde maximum basisstroom mag hebben, zijn de weerstanden R4 en R5 noodzakelijk om de basisstroom van de betreffende transistoren te begrenzen. In principe wordt bij de complete buffertrap volgens fig. 3 de gehele stroomversterking van de afzonderlijke transistoren

de die extern is aangebracht tussen de externe aansluitpunten 2 en 3, van IC1 uit fig. 2. De genoemde capaciteit in de formule kan ook een totale samengestelde capaciteit zijn van condensator C2. Voor verreweg de meeste toepassingen van een timer volgens fig. 2 en ook in ons geval, wordt voor C2 gebruik gemaakt van elektrolytische condensatoren. Deze kunnen niet zo maar in de schakeling van fig. 2 worden aangesloten, omdat condensator C2 bi-polaar moet zijn. Om dit te kunnen oplossen met elektrolytische condensatoren is het noodzakelijk voor condensator C2 twee elektrolytische condensatoren te gebruiken met eenzelfde capaciteit. Daarbij worden deze twee elektrolytische condensatoren in serie geschakeld met tegengestelde polariteit. Gemakkelijk is het om de min-aansluiting van de condensatoren te koppelen en de positieve aansluitpunten te gebruiken als condensator-aansluitpunten, zoals fig. 2 laat zien bij de enkele capaciteit voor C2.

Een en ander lijkt ingewikkeld, maar hierop komen we later nog even terug. Als twee condensatoren van gelijke capaciteit in serie worden geschakeld, zal de totale capaciteit slechts de helft meer zijn. Nemen we voor C2 in fig. 2 bijv. twee elco's van 100  $\mu$ F en zetten deze in serie, dan zal de totale capaciteit van C2 50  $\mu$ F zijn. Als we niet zo gemakkelijk met formules kunnen rekenen, kan de timer-looptijd van IC1 uit fig. 2 gemakkelijk worden berekend door de waarde van P1 te houden in MOhms en de waarde van C2 in  $\mu$ F. In dat geval krijgen we de uitkomst van de genoemde formule in seconden. Stel dat P1 1 M $\Omega$  is en C2 100  $\mu$ F. In dat geval zal de timer-looptijd ongeveer tweehonderd achteventig seconden zijn. Dit is natuurlijk theoretisch. In de praktijk moet worden bedacht dat een elektrolytische condensator meestal een grotere capaciteit heeft dan de aangegeven waarde. Dat komt omdat een vrij groot tolerantiegebied bij elektrolytische condensatoren voorkomt. Over het algemeen mag de capaciteit wel 30% groter worden verondersteld. Fig. 2 geeft reeds aan dat de ti-

mer wordt gestart met een positieve puls. In principe is dat een opgaande flank van een spanningspuls.

## De buffertrap

Afhankelijk van de toepassing van de achterruitverwarmingsautomaat kunnen stromen tot 10 ampère of meer noodzakelijk zijn. Het zal duidelijk zijn dat een CMOS-schakeling volgens fig. 2 nauwelijks 1 of een paar milliampère kan leveren. Daarom is een buffertrap noodzakelijk om de geringe stroom te kunnen omzetten in een bijzonder grote stroom van 10 ampère of meer. De schakeling die dat mogelijk maakt geeft fig. 3.

Hier hebben we een klassieke buffertrap opgebouwd, om naast het praktische karakter van de schakeling ook een educatief karakter te kunnen aanbrengen. De schakeling volgens fig. 3 is opgebouwd uit drie zogenaamde emittervolgers. Daarbij wordt de eigenlijke emittervolger niet gebruikt, maar zit de achterruitverwarming, als weerstandsbelasting A, in de gemeenschappelijke collectorleiding. Het voordeel hiervan is dat de belasting A abrupt in/uit wordt geschakeld. Desal-

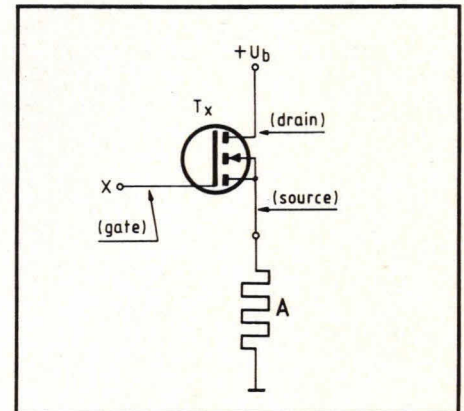
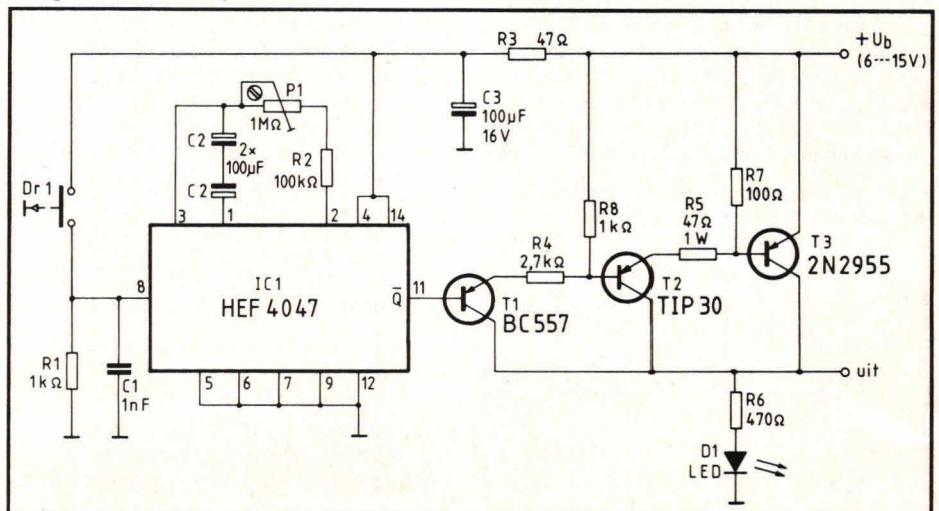


Fig. 5. De buffertrap volgens fig. 3 kan eventueel worden vervangen door 1 power-MOS-FET-transistor.

niet gebruikt. Alleen transistor T3 is niet tegengekoppeld en zal ongelimiteerd stroom kunnen versterken. Transistor T1 wordt nauwelijks belast, omdat er maximaal in de emitter slechts zo'n 7 milliampère kan lopen.

Anders is het gesteld met transistor T2, waar veel meer stroom kan lopen. Voor deze transistor is dan ook een TIP 30 gebruikt. Afhankelijk van de toepassing

Fig. 4. De complete achterruitverwarmingsautomaat is een mengeling van geïntegreerde schakeling en discrete componenten.





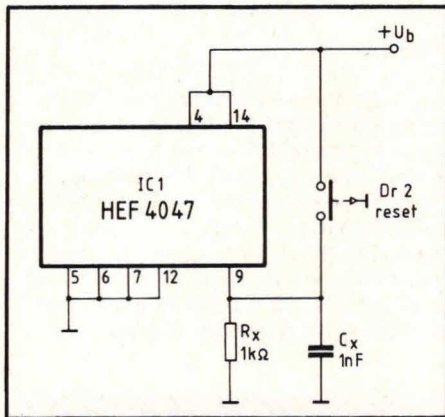


Fig. 6. Eventueel kan een reset-drukknop Dr2 worden aangebracht.

van de achterruitverwarmingsautomaat kunnen voor transistor T2 en T3 andere transistoren worden gebruikt. Zo kan voor transistor T3 ook een PNP-darlington emittervolger worden gebruikt. In dat geval kan, wanneer de stroomversterkingsfactor van deze darlington emittervolger meer dan 600 is, transistor T2 meestal wel worden weggelaten, zodat weerstand R4 direct de basis van transistor T3 kan aansturen.

De buffertrap volgens fig. 3 werkt het mooist wanneer voor transistor T2 en T3 transistoren worden genomen met een zo groot mogelijke stroomversterking. In plaats van de genoemde TIP 30 kunnen ook andere transistoren in TO220-behui-

zing worden gebruikt. Belangrijk is wel dat de stroomversterkingsfactor van T2 minimaal zo'n 30 is. Gezien het aanbod van transistoren op de markt kunnen voor T2 en T3 legio andere transistoren worden gekozen. T3 moet echter altijd in een TO3-behuizing zijn ondergebracht, vanwege het koellichaam dat voor deze transistor noodzakelijk is.

### Compleet schakelschema

Fig. 4 geeft de complete achterruitverwarmingsautomaat. Met Dr1 wordt de looptijd gestart. Met P1 kan de looptijd worden ingesteld over een groot bereik. Voor C2 zijn in fig. 4 twee elco's van 100

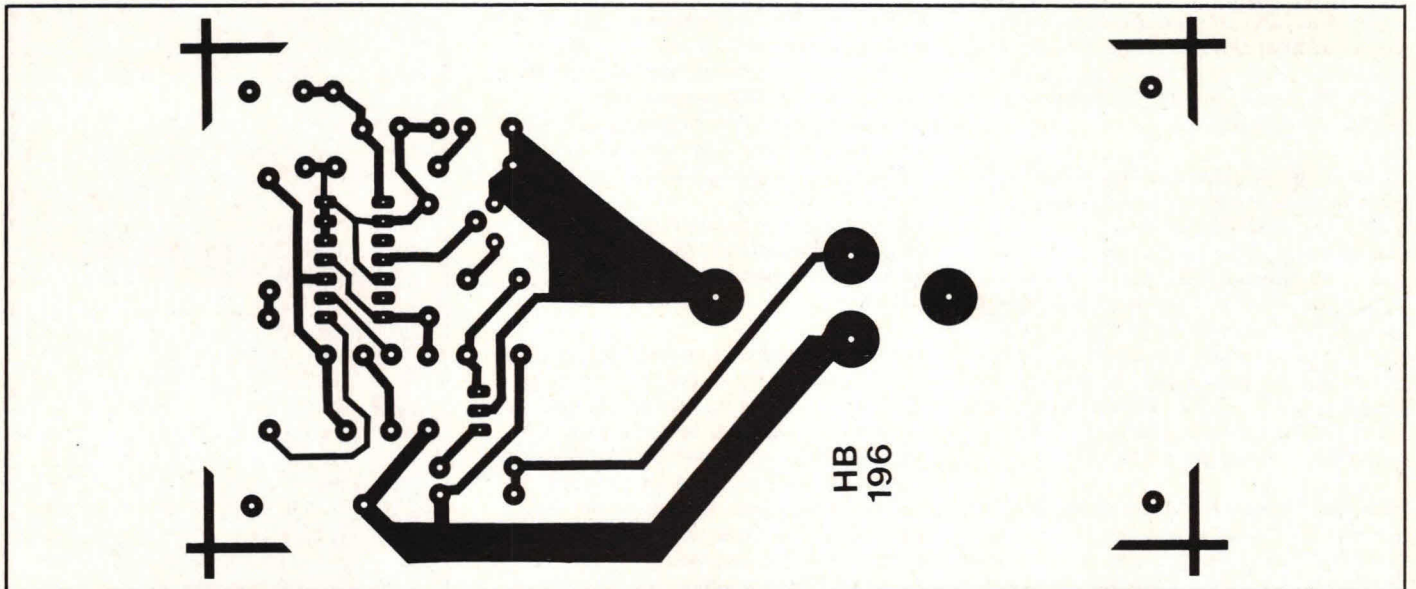


Fig. 7. De layout voor de schakeling volgens fig. 4.

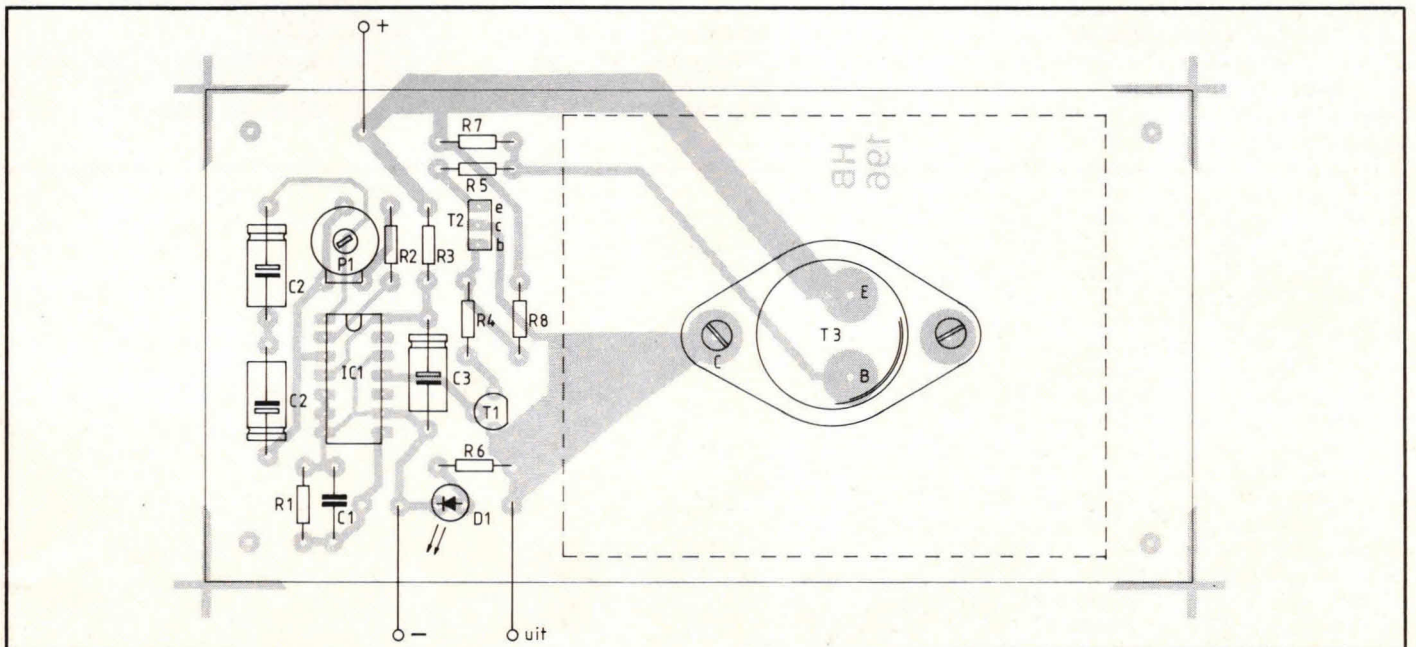


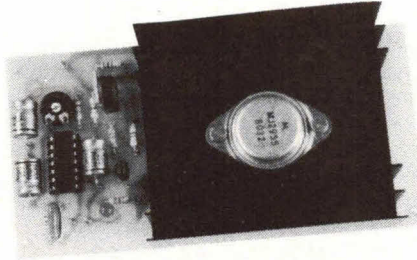
Fig. 8. De componentenopstelling voor de schakeling volgens fig. 4 op de layout van fig. 7.



►  $\mu\text{F}$  gebruikt. De maximale timer-looptijd is in dat geval, met de gegeven formule, 124 seconden. Voor een achterrautverwarming is dat natuurlijk veel te kort en kunnen voor C2 het beste elco's van 470  $\mu\text{F}$  worden gebruikt. In dat geval is de timer-looptijd 580 seconden. Het is natuurlijk ook mogelijk om voor P1, in plaats van de gegeven instelpotmeter, een gewone draaipotentiometer te nemen, zodat we op het dashboard de looptijd eenvoudig naar wens kunnen instellen. Neem de looptijd van de timer IC1 niet te lang. Gemakkelijker is het om een looptijd van bijv. 5 minuten te nemen en te kijken of de achterraut daarna vrij is van wasem. In dat geval kan, wanneer de wasem niet weg is, de achterrautverwarming weer worden geactiveerd. In fig. 4 is LED D1 aangebracht als optische indicator om aan te geven dat de achterrautverwarming aanstaat. Deze lichtdiode dient natuurlijk zichtbaar te zijn op het dashboard.

In fig. 4 zijn de weerstanden R7 en R8 noodzakelijk om te zorgen dat de basis van de transistoren T2 en T3 niet kan zweven in geval er geen sturing plaatsvindt. Opgemerkt dient nog te worden, dat in fig. 4 van IC1 de geïnverteerde uitgang wordt gebruikt. In rust is deze uitgang hoog en voert een spanning gelijk aan  $+U_b$ . Als Dr1 wordt bediend, zal uitgangspunt 11 van IC1 vrijwel nul worden en zal er een stroom gaan lopen via T1 naar T2 en vervolgens naar T3.

Het hoeft geen betoog dat de schakeling volgens fig. 4 ook voor vele andere doeleinden kan worden gebruikt. In de eerste plaats kan de achterrautverwarmingsautomaat natuurlijk universeel worden gebruikt voor elke vorm van timer, waarbij we bijv. een of andere lamp willen laten branden. Daarbij mag de schakeling worden aangesloten op spanning tussen ca. 6 en 15 volt. De maximale uitgangs-



Afb. 9. De complete achterrautverwarmingsautomaat.

stroom zal ongeveer 12 ampère kunnen bedragen. Een en ander hangt natuurlijk af van de keuze van transistor T3. In plaats van de genoemde buffertrap volgens fig. 3 en fig. 4 is het ook mogelijk deze te vervangen door een enkele power-MOSFET-transistor. In dat geval kunnen T1, T2 en T3 met alle bijbehorende weerstanden worden vervangen door de schakeling volgens fig. 5. De sturing vindt dan plaats op punt X (de gate). Daarbij dient dan wel de niet inverterende uitgang van IC1 te worden gebruikt (punt 10). Over verwarmingselement A in fig. 5 kan natuurlijk weerstand R6 met diode D1 weer worden aangebracht als optische indicatie.

Tot slot kan worden vermeld bij de schakeling volgens fig. 4, dat het ook mogelijk is een reset-knop aan te brengen om de timer voortijdig af te schakelen. De modificatie hiertoe geeft fig. 6. Hierbij is punt 9 van IC1 uit fig. 4 losgegooid van de voedingsnul en gekoppeld aan een weerstand Rx. Over deze weerstand is condensator Cx geplaatst. Tussen punt 9 en de positieve voedingsspanning is resetknop Dr2 opgenomen.

Volgens de modificatie van fig. 6 hebben we nu de beschikking over een timer-startdrukknop Dr1 en een voortijdige looptijdbeëindiging met Dr2 uit fig. 6.

## De print

Fig. 7 geeft de layout voor de print waarop de schakeling volgens fig. 4 kan worden aangebracht. De schaal is hier 1:1 en het aanzicht van de soldeerzijde. De componentenopstelling is gegeven in fig. 8, terwijl afb. 9 een foto van de complete print geeft. De bouw kan nauwelijks problemen opleveren. In fig. 8 en afb. 9 is te zien dat C2 is opgebouwd uit 2 elco's die in serie zijn geschakeld.

## Componentenlijst bij fig. 4 en 8

### weerstanden:

R1 = 1 k $\Omega$   
 R2 = 100 k $\Omega$   
 R3 = 47  $\Omega$   
 R4 = 2,7 k $\Omega$   
 R5 = 47  $\Omega$ /1 watt  
 R6 = 470  $\Omega$   
 R7 = 100  $\Omega$   
 R8 = 1 k $\Omega$   
 P1 = 1 M $\Omega$ ...2,5 M $\Omega$ /instelpotmeter, liggend model, steek 5 x 10 mm

### condensatoren:

C1 = 1 nF  
 C2 = zie tekst  
 C3 = 100  $\mu\text{F}$ /16 volt, axiaal

### halfgeleiders:

D1 = LED, rood, 5 mm  
 IC1 = HEF 4047BP  
 T1 = BC 557  
 T2 = TIP 30 (zie tekst)  
 T3 = 2N 2955 (zie tekst)

### overige componenten:

1 printje HB 196  
 1 drukknoop, enkelvoudig maakcontact  
 1 IC voetje 14-pens dual in line





# Lichtbewaker

## Afdoende controle van uw lampen

De lichtbewaker is een schakeling die bedoeld is om in de auto te controleren of ergens een lamp stuk is. Daarbij is de lichtbewaker zo ontworpen dat deze kan worden gebruikt voor lampstromen tussen 100 milliampère en ca. 20 ampère. In principe is de lichtbewaker geschikt voor voedingsspanningen tussen ca. 9 en 18 volt. In vergelijking met eerder gepubliceerde lichtbewakingsschakelingen valt de hier gegeven schakeling op door haar grote nauwkeurigheid en stabiliteit.

De lichtbewaker kan worden gebruikt voor het controleren van de stroom van een enkele lamp, maar ook voor de stroom van een verzameling lampen. In principe is daarbij steeds 1 lichtbewakingsschakeling noodzakelijk voor elke stroom of verzamelstroom van lampen. Als we bijv. de achterlichten van de auto willen controleren met de lichtbewaker dan kan de lichtbewaker de totaalstroom van beide achterlichten controleren.

De lichtbewaker kan ook worden gebruikt om bijv. de totale stroom te controleren van stadslichten en achterlichten of van de achterlichten en de dimlichten. Ook zijn meerdere lichtbewakers in de auto aan te brengen, zodat bijv. ook de stoplichten met een afzonderlijke lichtbewaker worden gecontroleerd. De lichtbewaker is in principe fail-safe. Dit houdt in dat deze twee optische indicatoren heeft. Daarvan dient er altijd één te branden.

Fig. 1 geeft lamp La met schakelaar S1. Voedingsspanning  $+U_b$  kan bijv. de accuspanning zijn. Als schakelaar S1 wordt

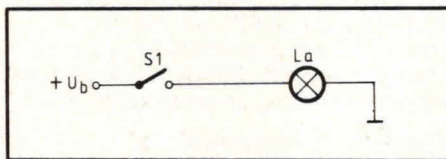
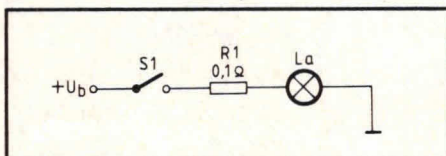


Fig. 1. In de auto wordt een lamp normaal ingeschakeld via een enkelpolige schakelaar die is verbonden met de positieve accupool.

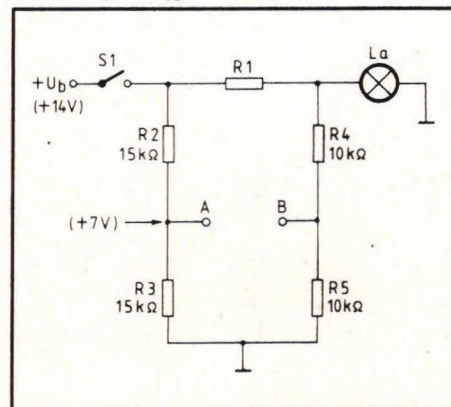
gesloten, zal lamp La branden. Gaat lamp La door een of andere reden stuk, dan kunnen we niet in de auto zien dat de lamp stuk is en dat kan gevaarlijk zijn. Om te kunnen controleren of lamp La wel brandt, kan weerstand R1 volgens fig. 2 aan de schakeling worden toegevoegd. Als schakelaar S1 in fig. 2 wordt gesloten, zal, omdat lamp La

Fig. 2. Door toevoeging van weerstand R1 kunnen we de totale lampstroom controleren.



stroom trekt, over weerstand R1 een spanning komen te staan. Deze spanning is het produkt van de weerstandswaarde van R1 en de lampstroom. Het is deze spanning, over R1, die we kunnen gebruiken om te controleren of lamp La wel brandt. Daarbij kan La een enkele lamp voorstellen, maar ook een parallel-

Fig. 3. Een brug van Wheatstone is erg gemakkelijk te gebruiken om een stabiele meet-schakeling te krijgen.





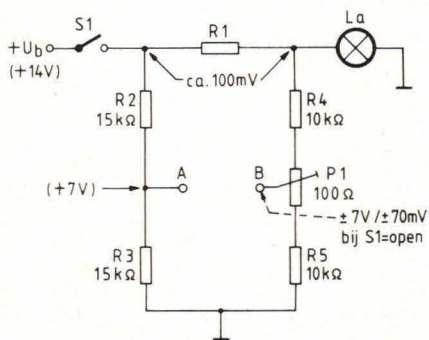


Fig. 4. Door toevoeging van potmeter P1 in de brug van Wheatstone kan de totale lampstroom nauwkeurig worden gedetecteerd.

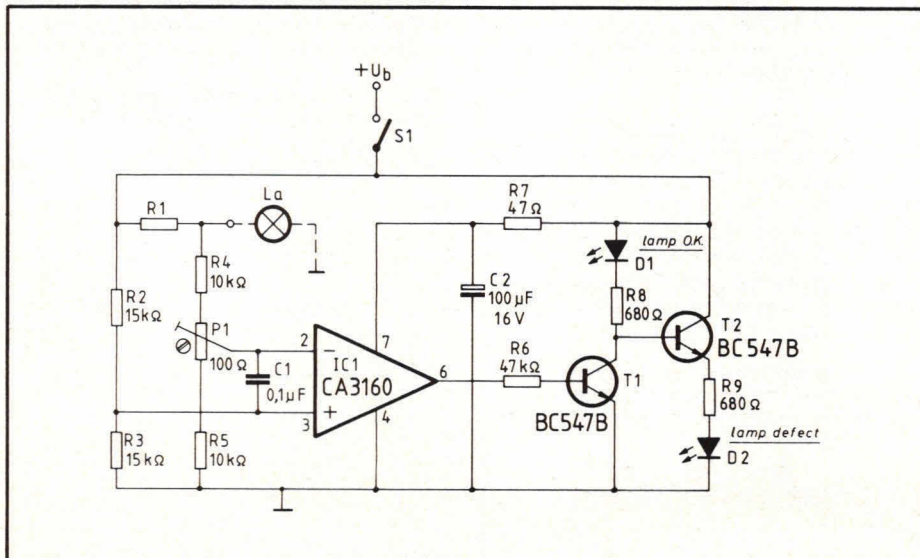
schakeling van verschillende lampen. Ook kan La zijn samengesteld uit verschillende lampen in serie en daarbij nog een mengeling van parallelschakeling. Immers, het maakt voor de totaalstroom niets uit om over R1 toch een bepaalde spanning te kunnen krijgen.

In fig. 2 heeft R1 een weerstandswaarde van 0,1 Ω. Als nu de totale lampstroom van La één ampère is, dan zal over weerstand R1 100 millivolt vallen. Door nauwkeurig de spanning over R1 te bemonsteren, weten we of lamp La stuk is. Daarbij kan een detectienauwkeurigheid van de lampstroom worden verkregen van ongeveer twee procent. Dit houdt in dat, wanneer de totale lampstroom van La enkele procenten is afgenomen, er reeds een signalering plaatsvindt bij de lichtbewaker, dat er met de lampen iets niet in orde is.

## De meetschakeling

Voor de meetschakeling wordt gebruik gemaakt van een zogenaamde brug van

Fig. 5. De lichtbewaker werkt alleen als de lampschakelaar S1 is ingeschakeld.



Wheatstone. Fig. 3 geeft daarvan de schakeling.

+Ub kan hier de accuspanning voorstellen. Uiteraard is dit de positieve accupool, omdat steeds wordt verondersteld dat de minzijde van de accu aan massa ligt. S1 stelt de lampschakelaar voor en R1 is de speciale weerstand zoals besproken bij fig. 2. La stelt een lamp of verzameling lampen voor waarvan moet worden gecontroleerd of ze wel branden. Als S1 wordt gesloten, zal over R1 een geringe spanning vallen. Deze spanning wordt gedeeld over een weerstandsbrug die bestaat uit R2, R3, R4 en R5. Daarbij worden de aansluitpunten A/B gebruikt als meetpunten. De brugschakeling van fig. 3 is noodzakelijk om te voorkomen dat de meetpunten A/B afhankelijk kunnen zijn van de voedingsspanning. Door het gebruik van de genoemde vier weerstanden zal de meetschakeling onafhankelijk zijn van de voedingsspanningsverandering. Immers, als de voedingsspanning +Ub stijgt, zal dat zowel op R2 als R4 het geval zijn.

De schakeling volgens fig. 3 meet op de punten A/B duidelijk dus een echte verschilspanning die is afgeleid van de lampstroom. In fig. 3 is te zien dat weerstand R2 en R3 een vaste waarde hebben, zodat bij een accuspanning van 14 volt op punt A 7 volt zal staan. De spanning op punt B zal afhangen van de stroom door weerstand R1, wat ook de lampstroom is. Hoe groter deze stroom wordt, des te lager zal het spanningsniveau op punt B worden. Met andere woorden: hoe groter de lampstroom des te groter wordt het verschil tussen de spanningspunten A/B, waarbij punt A vast blijft in spanningsniveau en punt B daalt t.o.v. punt A. Om echter de lichtbewaker nauwkeurig te kunnen instellen; is

een geringe modificatie conform fig. 4 noodzakelijk.

In fig. 4 bestaat de enige wijziging t.o.v. fig. 3 uit de toevoeging van instelpotmeter P1. Door deze instelpotmeter kan nu spanningspunt B worden geregeld over een niveau van ongeveer 70 millivolt. Deze 70 millivolt hangt af van de weerstandswaarde van R1. De weerstandswaarde van R1 wordt altijd zo gekozen dat over deze weerstand ongeveer 100 millivolt valt. Als we dus een totale lampstroom hebben van één ampère, dan zal weerstand R1 ongeveer 0,1 Ω zijn. Hebben we een totale lampstroom van 100 milliampère, dan zal R1 ongeveer 1 Ω zijn. Bij een totale lampstroom van 10 ampère zal weerstand R1 slechts 10 milliohm mogen zijn.

Het zal duidelijk zijn, dat de draad van en naar weerstand R1 berekend moet zijn op de grote stroomsterkte, terwijl ook de overgangsweerstanden, via het solderen van de draden naar de print, zeer laag moet worden gehouden.

Omdat we uitgaan van de genoemde 100 millivolt over weerstand R1 weten we dat met P1 een spanningsverschil van ongeveer 70 millivolt is in te stellen t.o.v. punt A. Deze spanningsinstelling is noodzakelijk om een zeer nauwkeurig verschil tussen A en B te kunnen instellen. Immers, bij een bepaalde lampstroom zal over R1 een bepaalde spanningsval komen te staan, zodat punt B iets minder spanning voert dan punt A. Dit spanningsverschil van punt B t.o.v. punt A kan met potmeter P1 worden gewijzigd in een kleiner of groter verschil, afhankelijk van de stroomdetectie-nauwkeurigheid.

## De complete schakeling

De complete schakeling volgens fig. 5 maakt gebruik van een spanningscomparator, die hier is voorgesteld door IC1. La stelt een lamp of verzameling lampen voor, waarvan de totaalstroom moet worden bewaakt. De stroom loopt via weerstand R1, waarvan de weerstandswaarde zo is gekozen dat bij de totale lampstroom daarover ongeveer 100 millivolt valt. R2, R3, R4 en R5 vormen samen met P1 de brug van Wheatstone. Meetpunt A uit fig. 4 gaat naar de niet inverterende ingang van IC1, terwijl meetpunt B naar de inverterende ingang gaat.

Als de lampstroom voor La voldoende is, zal ingangspunt 3 van IC1 positiever zijn dan ingangspunt 2 van IC1. In dat geval zal punt 6 van IC1 (de uitgang) vrijwel op voedingsspanningsniveau +Ub liggen. Daardoor krijgt de basis van transistor T1, via weerstand R6, stroom. T1 wordt hierdoor in verzadiging gestuurd. In de collector van T1 zit weerstand R8



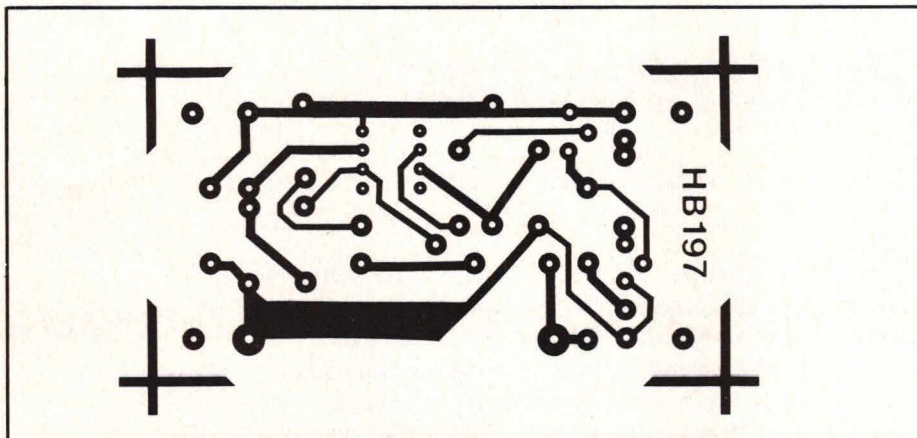
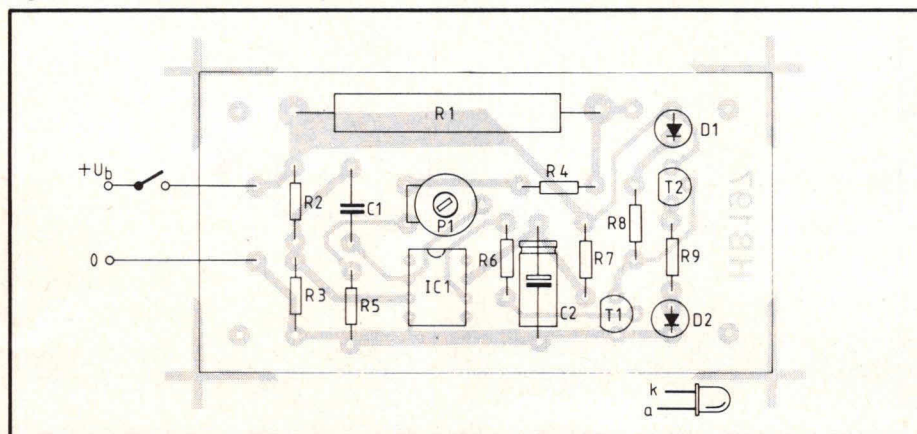


Fig. 6. De layout voor de print is gering van afmetingen.

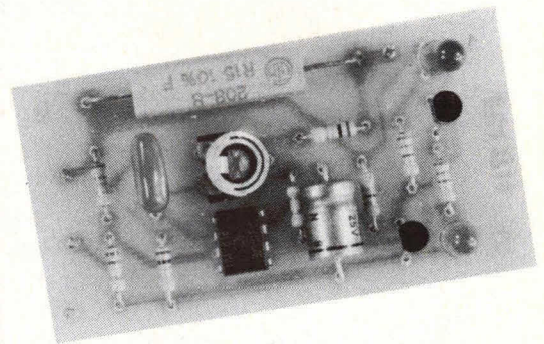
met LED D1. LED D1 zal, vanwege de collectorstroom van T1, branden als indicatie dat de totale lampstroom voldoende is zodat er geen lamp stuk is. Omdat de collectorspanning van T1 in het genoemde geval vrijwel nul is, zal transistor T2 sperren, zodat er geen emitterstroom door T2 vloeit en LED D2 dus niet brandt.

Anders is het gesteld wanneer de totale lampstroom te laag is. In dat geval zal punt 2 van IC1 positiever zijn dan punt 3 van IC1. Daardoor zal uitgangspunt 6 van IC1 vrijwel nul zijn, de basis van transistor T1 geen sturing krijgen en deze transistor zal sperren. LED D1 zal nu niet branden. Er zal nu een geringe stroom via LED D1 en weerstand R8 naar de basis van T2 gaan, zodat transistor T2 volledig in geleiding komt. Daardoor loopt er een forse emitterstroom via weerstand R9 naar diode D2. LED D2 zal nu branden ter indicatie dat er een lamp defect is. In fig. 5 stelt S1 een gewone lampschakelaar voor waarmee een enkele lamp of verzameling lampen wordt aan/uit geschakeld. De lichtbewaker werkt dus niet als er geen lamp wordt ingeschakeld. In rust trekt de schakeling totaal geen stroom.

Fig. 7. De componentenopstelling voor de lichtbewaker is erg eenvoudig.



Afb. 8. Bij deze lichtbewaker is voor weerstand R1 een draadgewonden vermogensweerstand gebruikt.



gen gebruiken zonder dat we weten dat deze ook berekend is op de vereiste lampstroom.

## De print

Fig. 6 geeft de layout voor de print waarop de schakeling volgens fig. 5 kan worden aangebracht. De schaal is hier 1:1 en het aanzicht van de soldeerzijde. Fig. 7 geeft de componentenopstelling en ter verduidelijking geeft afb. 8 een foto van de print.

De printafmetingen zijn gering gehouden om een gemakkelijke inbouw te kunnen krijgen. Daardoor is het ook mogelijk om bijv. in 1 klein kastje meerdere lichtbewakerschakelingen aan te brengen.

## Componentenlijst bij fig. 5 en 7

### weerstanden:

- R1: zie tekst
- R2, R3 = 15 k $\Omega$
- R4, R5 = 10 k $\Omega$
- R6 = 47 k $\Omega$
- R7 = 47  $\Omega$
- R8, R9 = 680  $\Omega$
- P1 = 100  $\Omega$ , instelpotmeter, liggend model, steek 5 x 10 mm

### condensatoren:

- C1 = 0,1  $\mu$ F
- C2 = 100  $\mu$ F/16 volt, axiaal

### halfgeleiders:

- D1 = LED, groen
- D2 = LED, rood
- IC1 = Ca3160, 8-pens dual in line

### overige componenten:

- 1 printje HB 197
- 1 IC-voetje 8-pens dual in line



# Rijtijdbewaker

## Verhoogt uw waakzaamheid

Het is bekend dat een automobilist niet langer dan twee uren achtereen moet rijden. In de tussentijd is de chauffeur verminderd waakzaam geworden, of erg moe en heeft hij meestal een hogere bloeddruk gekregen. Al met al is een situatie ontstaan die levensgevaarlijk kan zijn. Het is dan ook erg belangrijk dat een chauffeur na twee uren continu autorijden minstens vijftien minuten pauze houdt. Om enige discipline te kunnen aanbrengen in het rijgedrag van een chauffeur hebben wij een rijtijdbewaker ontwikkeld. Deze schakeling controleert de rijtijd van de chauffeur en geeft na anderhalf uur een waarschuwing terwijl na twee uren een zoemer aangeeft dat het beslist nodig is om even te rusten. Vervolgens gaat een rode LED branden, die aangeeft dat er moet worden gerust, terwijl de LED pas uitgaat wanneer er voldoende rusttijd in acht is genomen.

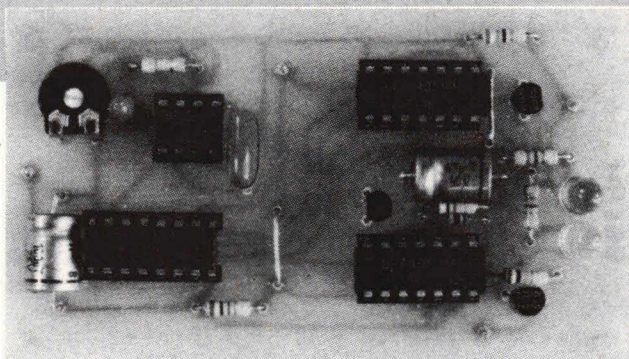
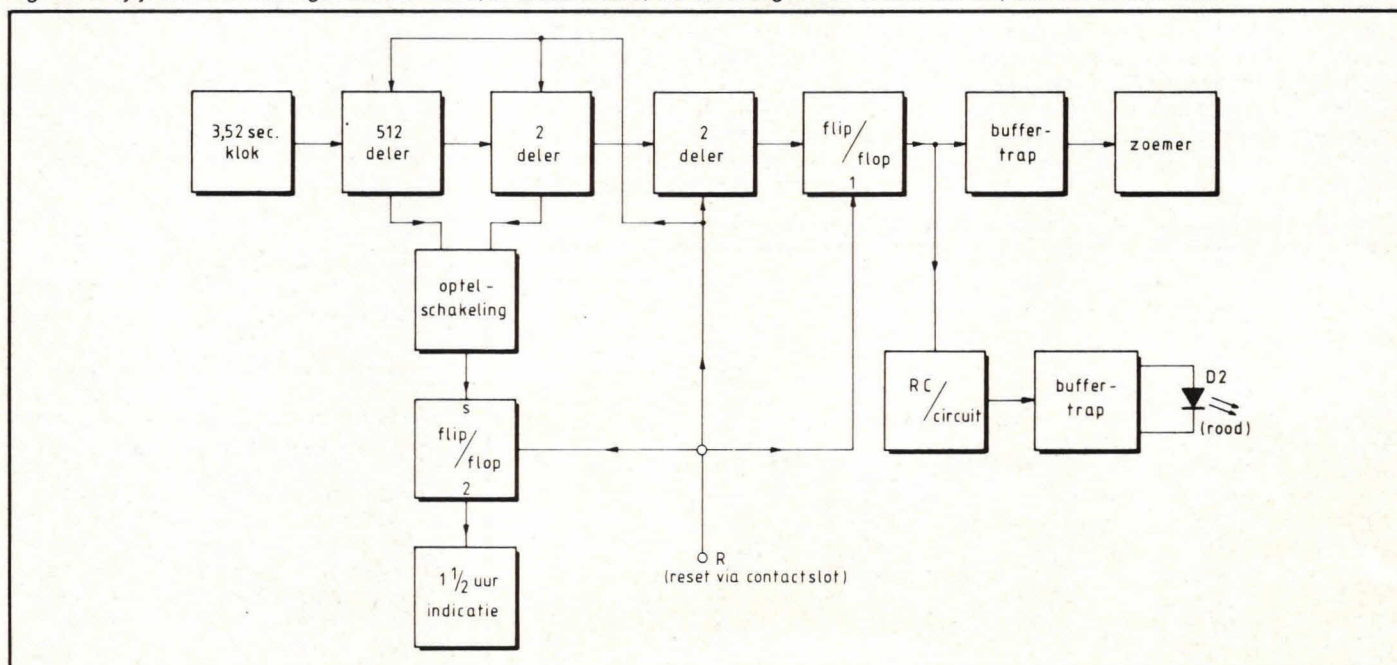


Fig. 1. De rijtijdbewaker maakt gebruik van een 3,52 secondenklok, die wordt uitgedeeld tot een half uur, een uur en twee uren.





De rijtijdbewaker is een bijzonder nuttige schakeling en kan ons niet alleen in de personenauto, maar ook in de vrachtauto of autobus, grote diensten bewijzen. Natuurlijk is het zo dat in de beroepschauffeurswereld veel controle aanwezig is, maar toch is het misschien makkelijker om automatische rijtijdbewaking te hebben. De rijtijdbewaker is bij uitstek een digitale schakeling. Fig. 1 geeft daarvan het blokschema. Om rijtijd te kunnen bewaken, hebben we een zogenaamde tijdbasis nodig. In fig. 1 is de tijdbasis een 3,52 seconden klok. Deze klok stuurt een 512-deler. Dat wil zeggen, dat de klokfrequentie door een factor 512 wordt gedeeld.

Een slimme vogel zou direct kunnen zien dat het produkt van 3,52 seconden en 512 precies gelijk is aan een half uur. De 512-deler geeft dan ook op de uitgang niets anders af dan een puls na een half uur autorijden. De tweedeler achter de 512-deler in fig. 1 zorgt voor een uur-deling. Te zamen geven ze in de optelschakeling een anderhalf-uurdeler. Dit houdt in fig. 1 in dat de optelschakeling na anderhalf uur autorijden een puls afgeeft aan flip/flop 2. Direct daarna geeft de anderhalf-uur-indicator aan dat er anderhalf uur aan één stuk is auto gereden. Hoe de schakeling precies start is in fig. 1 nog niet aangegeven, maar wordt later bij het schakelschema besproken.

In fig. 1 is te zien dat na de eerste tweedeler nog een tweede tweedeler is opgenomen. Deze geeft een positieve spanning af na twee uren autorijden. Dat is ook eenvoudig te zien. De 512-deler geeft na een half uur een puls af aan de eerste tweedeler zodat deze na één uur een puls afgeeft. Als deze tweedeler door een factor 2 heeft gedeeld, zijn twee uren verstreken en geeft de tweede tweedeler een puls af aan de eerste flip/flop. Deze flip/flop stuurt via een buffertrap een zoemer, zodat na twee uren rijtijd de zoemer aangeeft dat het tijd wordt te stoppen. Als flip/flop '1' een uitgangssignaal geeft, gaat dat niet alleen naar de buffertrap maar ook naar een RC-circuit. Dit RC-circuit stuurt via een buffertrap een rode LED. Deze rode LED (D2) brandt direct als er twee uren rijtijd is verstreken. Ook al wordt het contact afgezet, de LED blijft branden als indicatie dat de rusttijd nog niet is verstreken. Als het contactslot wordt afgezet, zal het RC-circuit uit fig. 1 geen voeding meer krijgen en zich over zichzelf ontladen. Dat duurt ongeveer 15 minuten. Daarna dooft de rode LED als indicatie dat we voldoende hebben gerust.

## De klokschakeling

Fig. 2 geeft de 3,52 secondenklok, die

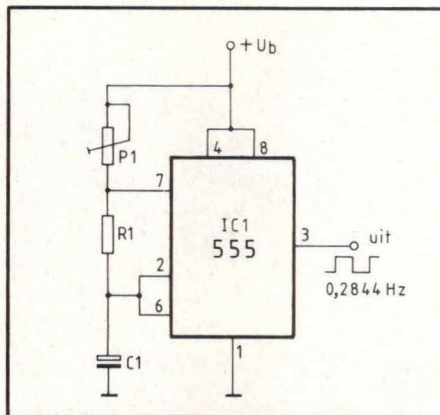


Fig. 2. Voor de klok wordt gebruik gemaakt van een 555-timer.

het hart van de schakeling vormt. Hiervoor gebruiken we een precisietimer van het type 555. Dit mag zowel een gewone uitvoering zijn als wel een zogenaamde low-power uitvoering. De frequentie van de klok is ongeveer 0,2844 Hz. Deze frequentie moet worden ingesteld met een counter. De frequentiebepalende componenten zijn de weerstandswaarde van P1, R1 en de capaciteit van C1.

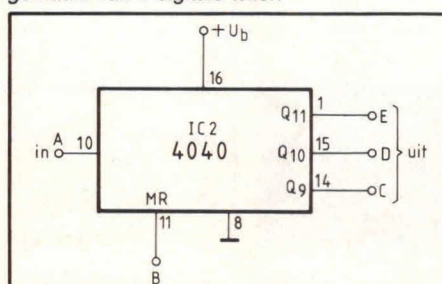
Het is beslist noodzakelijk om voor elco C1 een tantaaltype te nemen met een goede temperatuurstabiliteit. Voor weerstand R1 dient ook een metaalfilmweerstand te worden genomen, omdat anders een te groot weerstandsverloop zou kunnen ontstaan, zodat de klokfrequentie kan verlopen in relatie met de temperatuur.

Voor P1 moet een goede kwalitatieve instelpotmeter worden genomen. Neem altijd een stofdichte uitvoering. De uitgang van IC1 in fig. 2 (punt 3) geeft een redelijke blokgolf af.

## De delertrappen

De delertrappen uit fig. 1 zijn te zamen ondergebracht in 1 CMOS-schakeling van het type 4040. Dit IC is een 12-traps digitale teller, waarbij alle uitgangen af-

Fig. 3. Voor de delertrappen wordt gebruik gemaakt van 1 digitale teller.



zonderlijk naar buiten zijn gevoerd. De 512-deler is niets anders dan de negende uitgang van IC2 uit fig. 3. De volgende tweedeleruitgang, die na één uur een signaal afgeeft, is de 10e uitgang van IC2 uit fig. 3.

Tot slot geeft Q11 in fig. 3 na twee uren een signaal af. Samengevat komt in fig. 3 een en ander erop neer dat uitgangspunt C na een half uur een logische '1' afgeeft, uitgangspunt D na één uur en uitgangspunt E na twee uren.

De ingang van de teller wordt gevormd door punt A in fig. 3. MR stelt de zogenaamde Master Reset voor die positief moet worden gestuurd om de hele teller te resetten.

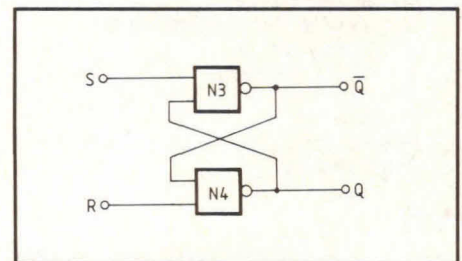


Fig. 4. De flip/flops zijn opgebouwd uit twee NAND-poorten met elk twee ingangen.

## De flip/flops

Voor de flip/flops die in fig. 1 zijn besproken, gebruiken we geen specifieke IC's maar de flip/flops zijn opgebouwd met dual gate NAND's. Fig. 4 geeft zo'n flip/flop opgebouwd uit twee dual gate NAND's. In principe is dit een simpele S/R flip/flop. De NAND-poort werkt onder een conditie die we ook wel negatieve AND noemen ofte wel de situatie dat 1 N1 samen op de uitgang een nul geven. Als beide ingangen van een NAND '1' zijn, zal de uitgang nul zijn. In elke andere situatie is de uitgang van een NAND logisch '1'.

## De buffer- en uitgangstrap

De buffer- en uitgangstrappen vormen niet zo'n groot probleem. Hiervoor gebruiken we gewoon een emittervolger conform fig. 5. De CMOS IC's zijn niet geschikt om grote stromen te leveren. Gemiddeld moeten we toch niet meer dan ca. 1 milliampère uit een uitgang van een CMOS-schakeling halen. Dat is niet voldoende om een zoemer of een LED te sturen. Voor een LED hebben we gauw een stroom nodig van 10 tot 30 milliampère. Stromen hoger dan 30 milliampère zorgen meestal voor snelle veroudering van de LED. Ook een zoemer zal gauw 25 of meer



# Dual houdt het stil.....

**RE Dual**  
1934 - 1984

In de dagen dat Compact Disc het bewijs voor absolute stilte levert, is het een kunst om met conventionele systemen daarbij zo dicht mogelijk in de buurt te komen. Zeker niet geboren uit de drang tot het leveren van een technisch hoogstandje maar simpelweg omdat er nog zoveel niet-Compact Disc platen zijn die verdienen om op hun voordeligst te klinken. Vandaar DUAL's nieuwe stille platenspelers...

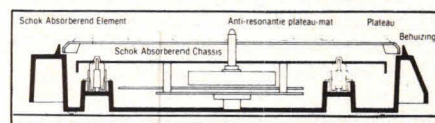
## DUAL CS 515 Half-automatische platenspeler.

- U.L.M. (ultra low mass) toonarm van speciaal resonantie-vrij XM 300 licht-metaal voor betere kanaalscheiding.
- Vier-punts (cardanische) arm-ophanging en massaloze naaldkracht instelling.
- U.L.M. magneto-dynamisch element DUAL ULM 65E met elliptische naald.
- Snaar aandrijving. Uiterst betrouwbaar en exact door micro-nauwkeurige afwerking van de aandrijfsnaar.
- Electronische toerental-regeling met fijninstelling van 12%.
- Verlichte stroboskoop.
- 305 mm plateau met anti-resonantie draaitafelmat.
- Hydraulische toonarmlift met tiptoetsen.
- Frontbediening.



chassis (S.A.C.). Beter dan ooit worden nu mechanische trillingen - van welke aard dan ook - buiten het naald/plaat circuit gehouden. In het spel van massa en ophanging van het (sub-)chassis werd een optimum voor het effectief onderdrukken van hinderlijke resonanties gevonden.

In combinatie met de schokabsorberende voeten (CS 515, CS 516) zijn DUAL platenspelers nu stiller dan de stilste plaat...



**RE** Postbus 8501, 1005 AM AMSTERDAM, tel. 020-114959.

Importeur voor België:  
**S.A. Electronic Engineering N.V.**  
Rue des Aduatiques 71-75 Bruxelles 1040 Brussel  
Aduaturkersstraat 71-75 Tel. 02/736.90.52

## S.A.C.

Eén van de kenmerken die geldt voor de nieuwe DUAL platenspelers is het schok absorberende

Vraag de DUAL platenspelercatalogus 84 waarin ook de nieuwe direct-drives zijn opgenomen aan bij:

## Modelbouw v.d. Wel

### AKKU'S - OPL. BATTERIJEN!

#### Droge Loodakku's 'Yuasa'

Volt	AMP	AFM.	GEWICHT	PRIJS
6	1,2 AH	96×25×51	285	26,50
6	2,6 AH	134×35×60	600	32,50
6	4 AH	69×46×102	850	40,00
6	8 AH	150×50×96	1650	47,00
6	10 AH	150×50×96	2200	54,00
12	6 AH	150×63×95	2400	72,00
<b>PennLight GE 1,2 V 0,45 AH</b>				p. stuk 4,95 10 stuks 45,00
<b>Suc C cel GE 1,2 V 1,2 AH</b>				9,95
<b>Monocel GE 1,2 V 4 AH</b>				19,95
<b>Powerpack 5 GE</b>				
	4,8 V	1,2 AH		39,50
	6 V	1,2 AH		49,50
	7,2 V	1,2 AH		59,50
	8,4 V	1,2 AH		69,50
	9,6 V	1,2 AH		79,50



Modelbouw v.d. Wel  
Amsterdamsstraatweg 38  
3513 AG Utrecht  
Tel. 030 - 31 30 69  
Postbus 10024

Supersnelle verzending per post.  
Voor 16.00 uur binnen dezelfde dag op de post.

Prijswijziging en uitverkocht voorbehouden.

## Gedrukte Schakelingen

### FA. PRIMA

Prinsenvolderstraat 84, 4921 KZ MADE

Postbus 40, 4920 AA MADE. Tel. 01626-3244.

Gespecialiseerd in kleine aantallen. Korte levertijd. Layouts: Positieven of negatieven alleen schaal 1:1. Geen aparte fotokosten. Ook verkoop van een klein assortiment Brady plakmaterialen. Vraag vrijblijvend onze prijzen. Voor industrie en amateur.



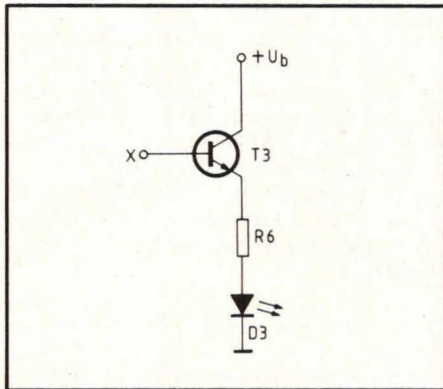


Fig. 5. Voor de buffertrappen wordt gebruik gemaakt van een simpele emittervolger.

milliampère trekken. Deze stroom kan eenvoudig worden verkregen met 1 emittervolger, conform fig. 5. Punt X is daar de ingang, die zit gekoppeld aan een betreffende CMOS-uitgang. De emittervolger doet niets anders dan stroomversterken.

De spanning op de emitter volgt eenvoudig de spanning op de basis van de transistor. Vandaar het woord emittervolger. Daarbij ligt de emitterspanning ongeveer 700 millivolt lager dan de basisspanning vanwege de basisemitter-junctionspanning van de transistor. Daarbij zal de stroom een factor 100 tot 900 meer kunnen zijn op de emitter dan dat de basis aan stroom heeft. Een en ander hangt af van de gebruikte transistor. Bij de door ons gebruikte transistoren is een stroomversterking van minimaal 200 aanwezig.

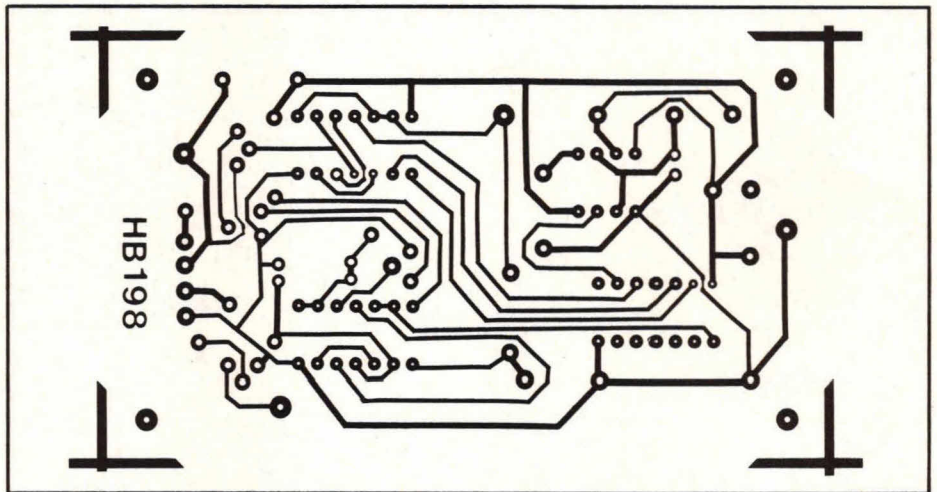


Fig. 7. De layout voor de schakeling van fig. 6.

Deze stroomversterking wordt bij lange na niet gebruikt.

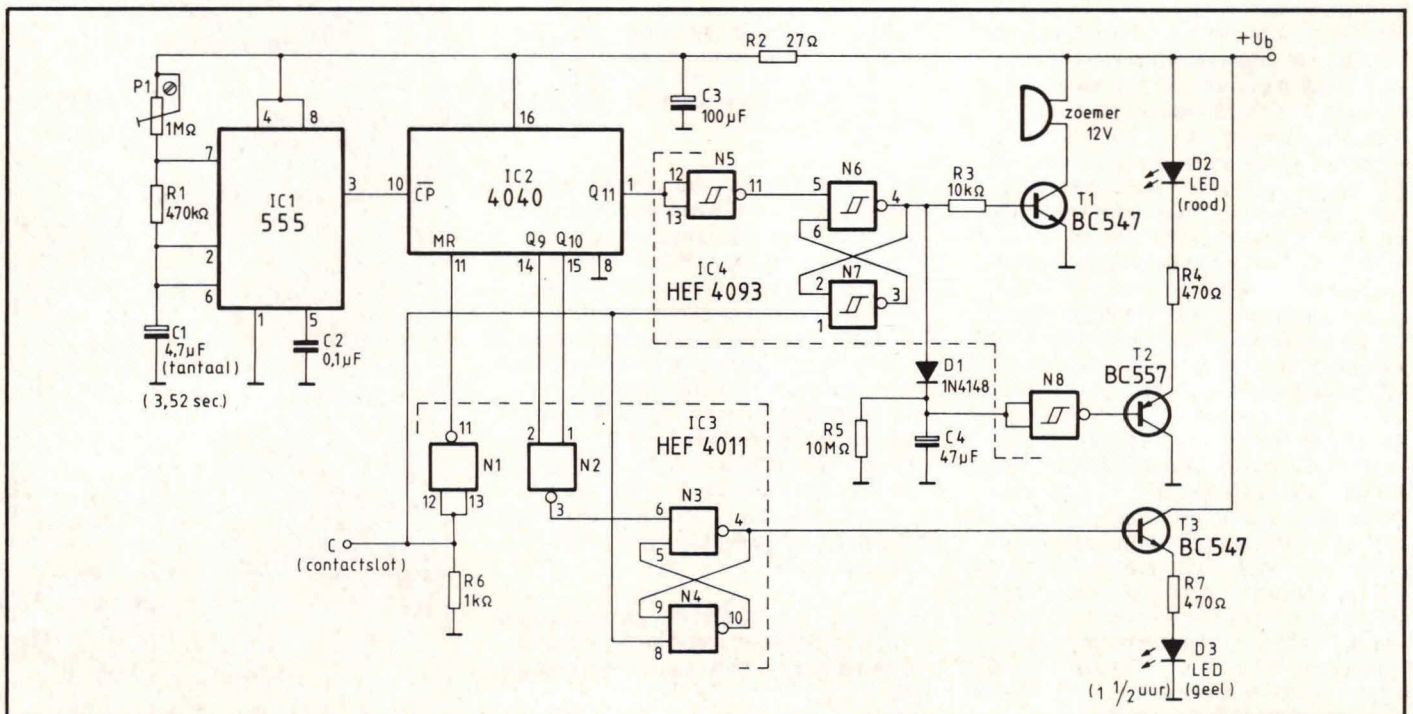
### Compleet schakelschema

Fig. 6 geeft de complete rijtjebewaker, waarbij IC1 de klok vormt. Punt 3 van de klok moet worden afgeregeld op de genoemde frequentie van 0,2844 Hz. IC2 vormt de digitale teller. De werking van de schakeling is erg eenvoudig. Aansluitpunt C komt aan het contactslot en zal spanning voeren als de motor wordt gestart. Stel dat de schakeling via +Ub wordt gevoerd vanuit de accu. Daarbij zal +Ub altijd aanwezig

zijn. Dit is noodzakelijk omdat het contactslot niet de hele schakeling mag sturen. Gezien de geringe ruststroomopname kan de schakeling rustig met voedingspunt +Ub aan de positieve accupool worden gehangen. Daarbij mag de schakeling worden gevoed tussen ca. 9 en 16 volt.

Als het contactslot via punt C uitstaat, zal de ingang van poort N1 (twee ingangspunten zijn hier samengekoppeld tot één ingangspunt) nul zijn. Als de ingang van N1 nul is, zal de uitgang logisch 1 zijn, zodat IC2 wordt gereset. Een nul op aansluitpunt C zal ook poort N7 op de ingang nul laten zijn. Daardoor

Fig. 6. De complete rijtjebewaker is geraffineerd opgezet.





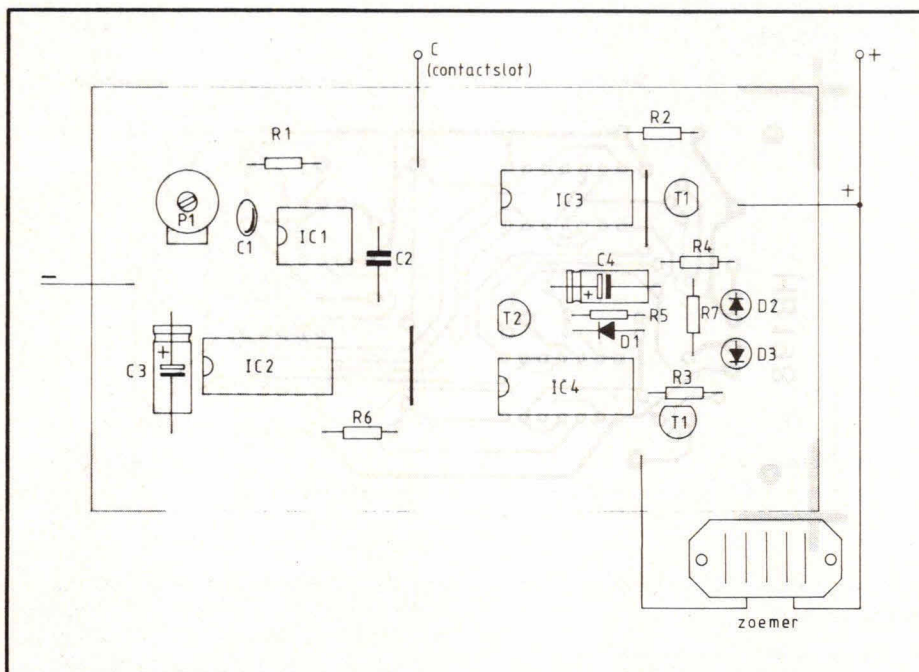
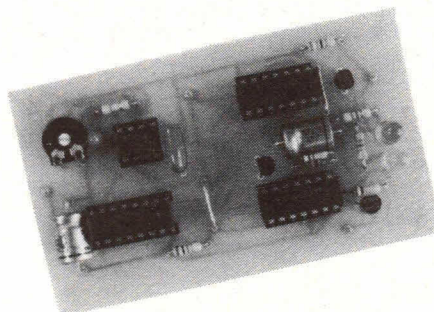


Fig. 8. De componentenopstelling van de schakeling van fig. 6 op de layout van fig. 7.

zal de uitgang van poort N7 '1' zijn, wat tot gevolg heeft dat een van de ingangen van poort N6 ook '1' is. Tegelijkertijd zal ook Q11 van IC2 nul zijn, zodat de uitgang van poort N5 '1' is. Nu zijn beide ingangen van poort N6 logisch '1', zodat de uitgang van poort N6 nul is en transistor T1 niet wordt gestuurd, zodat de zoemer Z niet zoemt.

Omdat aansluitpunt C nul is zal ook ingangspunt 8 van poort N4 nul zijn, zodat de uitgang van deze poort '1' is en ook ingangspunt 5 van poort N3 '1' is. Daardoor zal de uitgang van poort N3 nul zijn, zodat transistor T3 niet wordt gestuurd en LED D3 niet zal branden. We zien dat door aansluitpunt C nul te laten de gehele schakeling nonactief is. Als nu het contactslot wordt ingeschakeld, zal punt C positief worden, zodat de uitgang van poort N1 nul wordt en teller IC2 niet meer wordt gereset en het tijdbewaken begint. Tegelijkertijd wordt ook ingangspunt 1 van poort N7 logisch '1'. Hetzelfde geldt voor ingangspunt 8 van poort N4. Beide flip/flops (N6/N7 en N3/N4) kunnen nu worden geset. Dat gebeurt pas na anderhalf uur, omdat dan de eerste verandering optreedt. Na anderhalf uur zijn de uitgangspunten 14 en 15 van IC2 beide logisch '1' geworden, zodat poort N2 op de uitgang nu een nul afgeeft. Deze nul gaat naar punt 6 van poort N3, zodat uitgangspunt 4 van poort N3 nu logisch '1' wordt. Daardoor krijgt transistor T3 positieve spanning en zal via de emitter stroom gaan lopen naar weerstand R7 en diode D3. Nu gaat diode D3 onmiddellijk branden als indicatie dat er anderhalf uur is verstreken.



Afb. 9. De complete rijtijdbewakingsschakeling kan het beste ergens bij het dashboard worden gemonteerd in een klein kastje. Zorg dat de schakeling niet aan te hoge temperaturen wordt blootgesteld.

Een half uur daarna zal ook uitgang Q11 van IC2 logisch '1' worden, zodat de uitgang van poort N5 logisch nul wordt. Hierdoor zal flip/flop N6/N7 omschakelen, zodat op punt 4 van poort N6 een logische '1' komt te staan, waardoor transistor T1 gaat geleiden en zoemer Z signaal afgeeft als waarschuwing dat we moeten stoppen met het rijden. Via uitgangspunt 4 van poort N6 wordt een stroom naar diode D1 gestuurd, zodat elco C4 zich laadt. Daardoor zal op de uitgang van poort N8 een logische nul komen te staan, waardoor transistor T2 ook direct gaat geleiden en LED D2 gaat branden.

Als we nu het contactslot afzetten, zal de gehele schakeling weer in de oorspronkelijke toestand terugkomen en zal zoemer Z uitgaan en LED D3 zal niet meer branden. Het enige wat nu nog blijft is

dat LED D2 blijft branden omdat elco C4 zich alleen kan ontladen over weerstand R5. Dat gebeurt in ongeveer 2 RC-tijden, wat ongeveer overeenkomt met 900 seconden ofte wel 15 minuten.

Voor C4 dienen we ook een tantaalcondensator te nemen. Afhankelijk van de gewenste rusttijd kan weerstand R5 worden verkleind of vergroot. Hetzelfde kan eventueel ook met C4 worden gedaan. Een grotere weerstand voor R5 of een grotere capaciteit voor C4 geeft een langere brandtijd voor LED D2 en houdt dus in dat we een langere rusttijd moeten nemen.

## De print

Fig. 7 geeft de gecompliceerde layout voor de schakeling van fig. 6. De schaal is hier 1:1 in het aanzicht van de soldeerzijde.

Fig. 8 geeft de complete componentenopstelling. Let vooral op de twee galvanische verbindingen aan de componentenzijde. Let ook goed op de IC aansluitingen.

Ter verduidelijking van de bouw geeft afb. 9 nog een foto. Voor het overige is de schakeling vrij gemakkelijk na te bouwen, omdat er vrij veel gebruik is gemaakt van CMOS-techniek. Succes met de bouw.

## Componentenlijst bij fig. 6 en 8

### weerstanden:

- R1 = 470 k $\Omega$
- R2 = 27  $\Omega$
- R3 = 10 k $\Omega$
- R4, R7 = 470  $\Omega$
- R5 = 10 M $\Omega$  (zie tekst)
- R6 = 1 k $\Omega$
- P1 = 1 M $\Omega$ , instelpotmeter, liggend model, steek 5 x 10 mm

### condensatoren:

- C1 = 4,7  $\mu$ F/16 V (tantaal)
- C2 = 0,1  $\mu$ F
- C3 = 100  $\mu$ F/16 V (axiaal)
- C4 = 47  $\mu$ F/16 V (tantaal)

### halfgeleiders:

- D1 = 1 N 4148
- D2 = LED, rood
- D3 = LED, geel
- IC1 = 555, timer
- IC2 = HEF 4040
- IC3 = HEF 4011
- IC4 = HEF 4093
- T1, T3 = BC 547
- T2 = BC 557

### overige componenten:

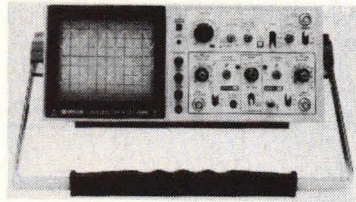
- 1 print HB 198
- Z = zoemer, 12 volt, gelijkspanning
- 1 IC-voetje, 8-pens dual in line
- 2 IC-voetjes, 14-pens dual in line
- 1 IC-voetje, 16-pens dual in line



# RADIO-ROTOR AMSTERDAM BV

sinds 1936

## ELEKTRONICA



## HITACHI

### V-212

- ★ 20 MHz
- ★ 1 mV/div.
- ★ dubbelstraal
- inclusief 2 meetprobes

f 1405,-

### V-422

- ★ 40 MHz
- ★ 1 mV/div.
- ★ dubbelstraal
- inclusief meetprobes
- 3 jaar garantie op Hitachi oscilloscopen

f 2320,-

## BECKMAN

### digitale multimeters

#### T 100 B

- ★ 29 bereiken
- ★ tot 10 Amp.
- ★ ingang beveiligd
- ★ ing. imp. 10 MΩ

f 302,-



#### T 110 B

- als de T 100 B
- met extra peakhold

f 351,-

#### 3020

- ★ industriële meter
- ★ ing. imp. 22 MΩ
- ★ weerstandsmeting in de schakeling

f 660,-

### LVL dubbele disc-drive

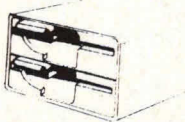
f 1945,-

voor de BBC 2×100K  
Uitvoerig getest in PC:

Nu ook leverbaar:

LVL disk-drive 2×200 K

f 2975,-



## COMPUTERS



### TORCH Z-80 DISCPACK

#### Maakt van uw BBC/B computer een BUSINESS-MACHINE!

- (direct aan te sluiten)
- ★ Compleet gebouwd systeem met 2 discdrives à 400K.
  - ★ Ingebouwde voeding voor de BBC.
  - ★ Met Z-80 kaart 64K.

CP/M compatible!

#### GRATIS BIJGELEVERD 3 pakketten:

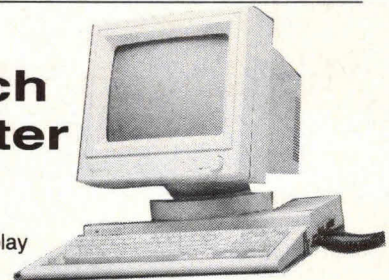
- 1x Spreadsheet
- 1x Tekstverwerker
- 1x Bestandenprogramma

f 3655,-

Bel voor informatie!

excl. 19% BTW

### MPF III Multitech Computer



- ★ processor 6502
- ★ 64K RAM
- ★ 80 koloms video-display
- ★ met printer interface
- ★ uitgebreid keyboard
- ★ uitbreidbaar met Z80 kaart (CP/M)
- ★ ergonomische vormgeving

f 1945,-  
excl. 19% BTW

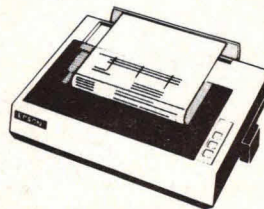
### DOUBLE DENSITY board

geeft uw disk dubbele capaciteit

- ★ BBC DFS compatible
- ★ Vervangt de 8271
- ★ 40 of 80 tracks
- ★ tot 248 files
- ★ eenvoudig in te bouwen

f 488,-  
excl. 19% BTW

## PRINTERS



- ★ Epson RX 80 FT
- ★ Epson RX 80
- ★ Epson MX 80
- ★ STAR Gemini IC X
- ★ STAR DP 515

**KINKERSTRAAT 55**

BEL VOOR BESTELLING OF INFORMATIE: 020 - 125759

POSTORDERS

WINKELVERKOOP



De hier beschreven infrarood bediende schakelaar laat een relais werken indien de infrarood detector wordt belicht met een op de juiste manier gepulseerde infrarood lichtbron: de infrarood'sleutel'.

De veilige toestand, als het relais is aangestuurd, wordt gekenmerkt door een groen oplichtende LED. Als de schakelaar weer wordt gesloten, door met de infraroodsleutel opnieuw even langs de detector te komen, waarschuwt een rode knipper-LED dat het relais is gesloten. Een ideale schakelaar om een alarminrichting aan en uit te schakelen zonder risico dat een ongewenst persoon het verborgen schakelaartje kan vinden...

Dat is natuurlijk niet alles... Ook andere toepassingen zijn denkbaar: een IR deurslot, door het relais een elektrisch deurslot te laten bedienen bijv. Alleen de ingewijden die over het minuscule IR-sleuteltje beschikken, dat op de juiste frequentie is afgesteld, komen er dan in. Niemand anders, want de detector reageert niet op gelijk welke andere lichtpunten.

Dat is erg handig want diverse andere bronnen stralen een hoeveelheid infraroodlicht uit dat, indien er geen voorzorgen worden getroffen, voor flink wat storingen kan zorgen. Het zou bijv. mogelijk zijn de IR-schakelaar te bedienen met een TV-afstandbediening of een sterke gloeilamp!

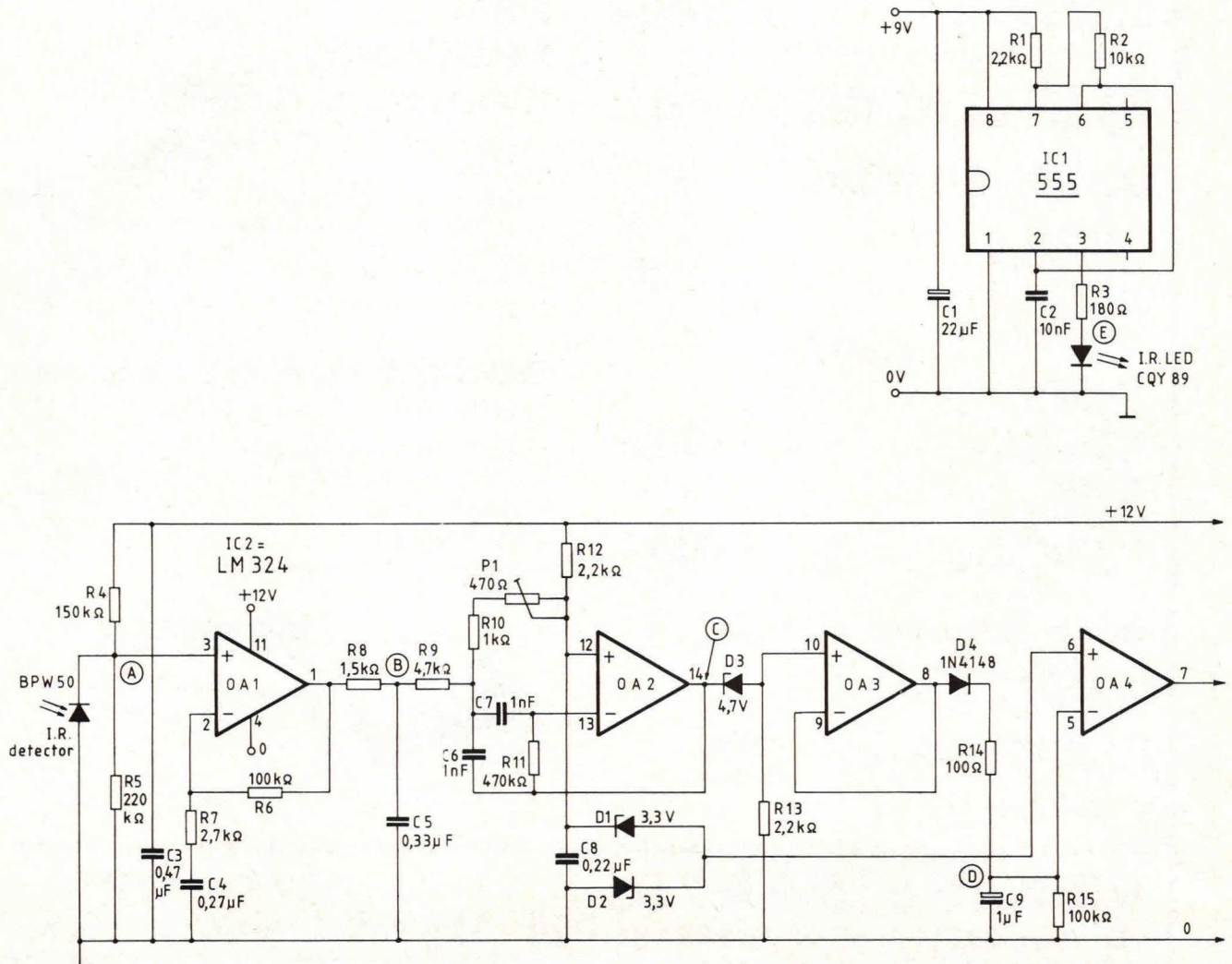
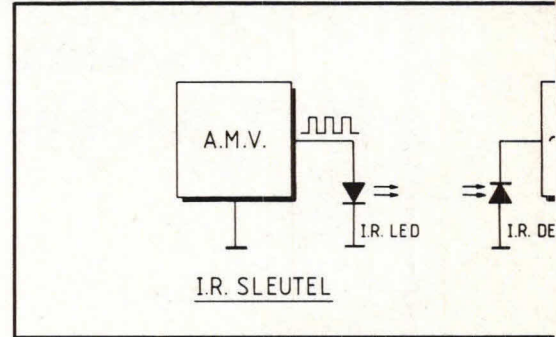
Waarom dat niet kan, en nog veel meer, wordt duidelijk in het blokschema (fig. 1).

## Blokschema

De IR-sleutel is erg eenvoudig gehou-

# Infrarood

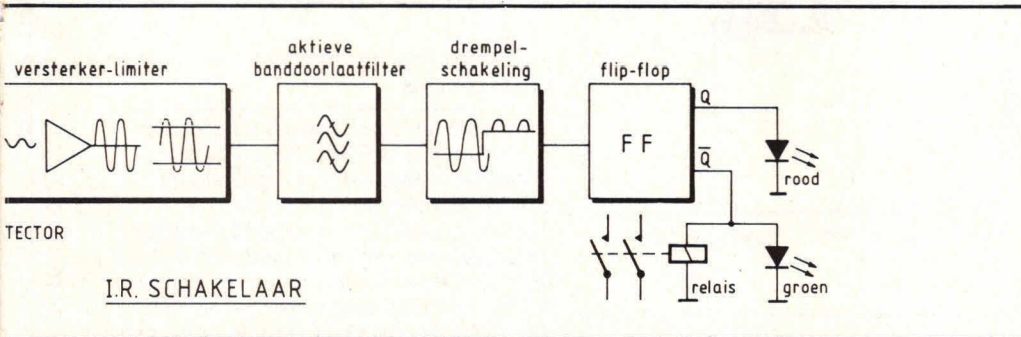
Fig. 1. Het blokschema van de IR-sleutel dat erg





# bediende schakelaar

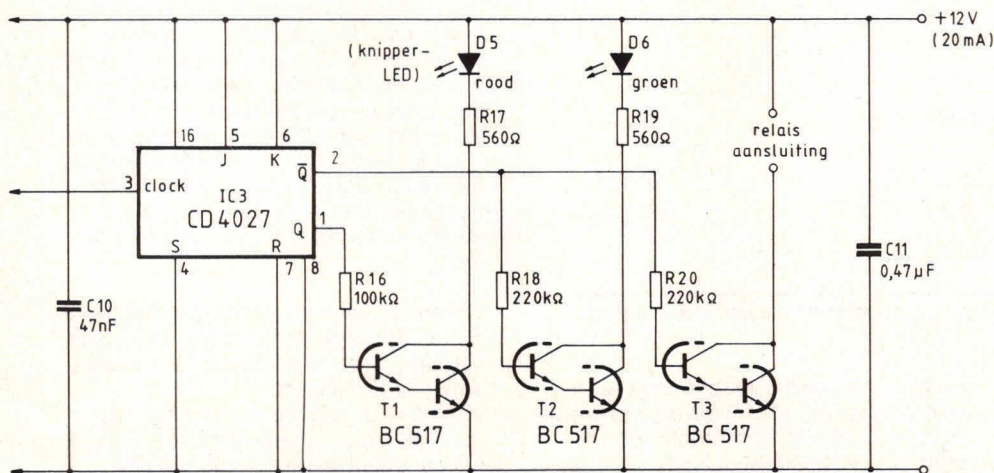
eenvoudig is gehouden, aangezien de afmetingen wel handzaam moeten blijven.



den, omdat er naar een zeer kleine afmeting is gestreefd. De reden daarvoor ligt voor de hand: het moet makkelijk in de zak kunnen worden meegedragen. De sleutel bestaat uit een bloksgolfgenerator (een astabiele multivibrator), die is afgesteld op een tevoren bepaalde frequentie. De opgewekte bloksgolf wordt in een infrarood LED gestuurd, die dan pulserend oplicht. Voor de niet-ingewijden in IR-componenten: het IR-licht heeft een golflengte die onder het zichtbare spectrum ligt. Je kan de IR LED dus niet zien werken. Om de schakelaar te laten omklappen, van relais àn (groene LED) naar relais af (rode LED) en omgekeerd, volstaat het de IR-sleutel even voor de IR-detector te houden.

De door de detector ontvangen lichtpulsen worden door een versterker 50x versterkt en gelimiteerd. Dit limiteren zorgt ervoor dat de amplitude van de ontvangen IR-signalen nooit groter kan worden dan een zekere waarde. Dit is

Fig. 2. Het complete schakelschema van de infraroodsleutel.





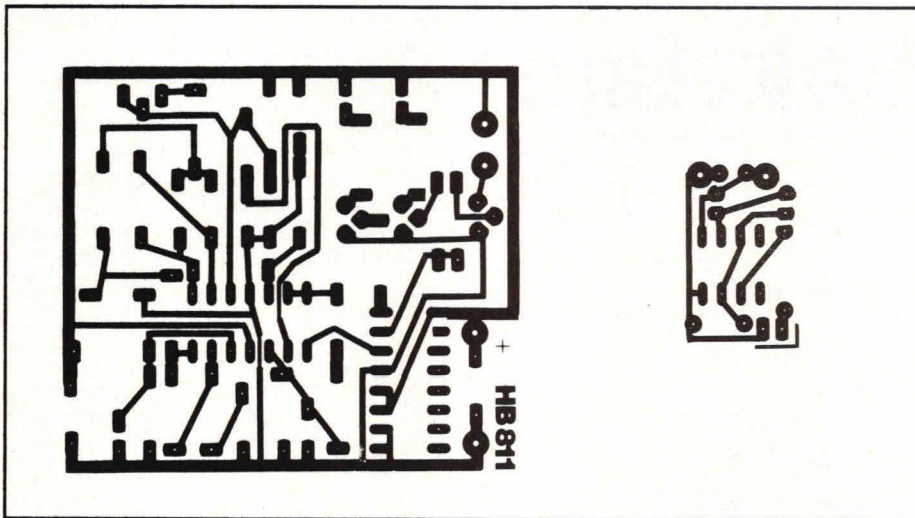


Fig. 3. De layout van de printen van de voeding en de IR-sleutel, schaal 1:1 en gezien vanaf de soldeerzijde.

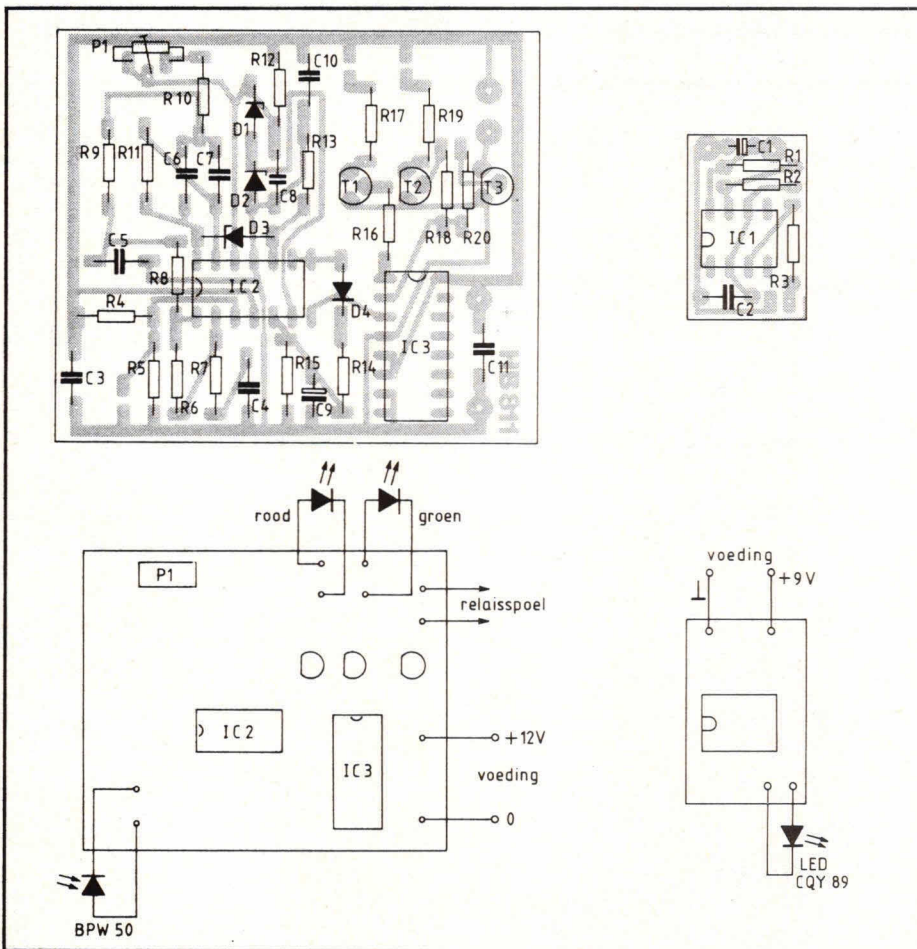


Fig. 4. De componentenopstelling op de layout van fig. 3, inclusief de externe aansluitingen.

► belangrijk omdat na de limiter de signalen in een actief banddoorlaatfilter terecht komen. Dit banddoorlaatfilter heeft een tamelijk smalle bandbreedte, zodat alleen signalen met de juiste frequentie worden door-

gelaten. Signalen met een andere frequentie worden sterk verzwakt en komen nooit door de drempelschakeling die volgt op het banddoorlaatfilter. Signalen die wél door de drempelschakeling heen komen, en bijgevolg afkom-

stig zijn van een goede IR-sleutel, komen terecht op een flip-flop. De flip-flop (FF) klapt telkens om als de sleutel voor de detector wordt gehouden en bepaalt rechtstreeks de toestand van het relais van de IR-schakelaar. Het is duidelijk dat ook de groene en rode (knipper)LED oplichten afhankelijk van de stand van de FF. Hoe deze theoretische blokken in de praktijk kunnen worden omgezet, vertelt het detailschema (zie fig. 2).

## Detailschema

De infraroodsleutel bestaat uit een 555 timer-IC dat d.m.v. R1, R2 en C2 als astabiele multivibrator is ingesteld op een frequentie van ca 6,7 kHz. Via R3, die de stroom beperkt, bereiken de blokvolgen van de uitgang van IC1 de IR-LED. Deze zal dan (onzichtbaar) oplichten met een frequentie van 6,7 kHz. Als de werkende IR-LED in de buurt van de IR-detector wordt gehouden, zal deze, hoewel hij in sperrichting is aangesloten, een grote lekstroom vertonen telkens als het invallende infrarode licht elektronen in het halfgeleidermateriaal losmaakt. Deze lekstroom, die dezelfde frequentie heeft als het invallende IR-licht, zal de spanningspotentiaal op punt A beïnvloeden. Indien de detector geen signalen opvangt, bepalen R4 en R5 de spanning op punt A en bijgevolg ook de instelling van OpAmp 1 (O.A.1).

Als de detector lichtpulsjes opvangt, worden die omgezet in overeenkomstige spanningsveranderingen op punt A, en deze worden door O.A.1 ca 50x versterkt wegens de verhouding van de terugkoppelweerstand R6 en R7. O.A.1 werkt tevens als limiter: indien de IR-sleutel op enkele centimeters van de detector wordt gehouden, is de versterking van O.A.1 bewust te groot gekozen, het versterkte signaal is dan theoretisch groter dan de beschikbare voedingspanning (12 volt), zodat de boven- en onderpieken worden afgesneden en er een trapeziumvormig signaal ontstaat. Voor de duidelijkheid zij vermeld dat het IR-overdrachtsysteem een zekere traagheid bezit, waardoor de als blokvolg uitgezonden IR-lichtpulsjes toch min of meer sinusvormig op punt A terechtkomen.

R8 en C5 vormen een laagdoorlaatfilter dat de, wegens de limitering trapeziumvormige, grote signalen uit O.A.1 sterk verkleint en afrondt. Punt B is de ingang van het banddoorlaatfilter die is opgebouwd rond O.A.2. De centrale frequentie van het filter is lichtjes verstelbaar met P1. Deze regeling heeft alleen tot doel de tolerantie



van de frequentiebepalende componenten van de IR-zender (de sleutel) en het bandfilter op te vangen, zodat de zenden- en ontvangsfrequentie gelijkgetrimd kunnen worden.

De DC-instelling van O.A.2 bestaat uit R12 die een stroom door D1 en D2 stuurt, waardoor de + ingang van O.A.2 op 6,6 V komt te liggen.

Merk op dat er ook een 3,3 V aftakking loopt naar O.A.4.

Zoals eerder uiteengezet is, zal de amplitude van de uitgangssignalen van het bandfilter sterk verschillen naar gelang de frequentie.

Het nut van de limitering komt nu volledig tot uiting: aangezien alle signalen met dezelfde amplitude het bandfilter bereiken (punt B), maar alleen de signalen met de juiste frequentie in het bandfilter worden versterkt, zullen ook alleen die signalen aan de uitgang een amplitude hebben waarvan de toppen bijna de voedingsspanning bereiken.

Dit is ook het criterium om door de drempelschakeling te komen. Deze schakeling is opgebouwd rond O.A.3 en O.A.4 en begint op punt C. Het op punt C aanwezige sinussignaal uit het banddoorlaatfilter wordt in D3 4,7 volt kleiner gemaakt en in O.A.3 gestuurd, die als gewone buffer is geschakeld. De resterende positieve spanningspieken worden door D4 gelijkgericht en via R14 wordt C9 ermee opgeladen. R15 ontladend C9 als het uitgangssignaal van de buffer wegvalt (dus als de detector niet langer de juiste IR-pulsen ontvangt).

De spanning op C9 is evenredig met de grootte van het uitgangssignaal van het bandfilter, dus ook met de frequentie van het opgevangen IR-licht.

Bij belichting van de detector met de juiste IR-sleutel zal C9 tot ca 4,5 volt worden opgeladen (afstand sleutel-detector 4 cm). Dit is ruimschoots voldoende om O.A.4 te laten omslaan.

De - ingang van O.A. 4 is immers met een vaste spanning van 3,3 volt verbonden en houdt de uitgang van O.A.4 laag (0 volt). Punt D, de + ingang van O.A.4, wordt echter hoger dan 3,3 volt als de detector een gepast IR-signaal opvangt, en zal de uitgang van O.A.4 dan ineens hoog laten worden (ca 11 volt).

Er wordt dus aan de uitgang van O.A.4 een positieve puls opgewekt, indien met de IR-sleutel de detector wordt belicht. Andere IR-stoorsignalen worden in het bandfilter verzwakt, komen niet door de drempelschakeling, omdat C9 niet hoger dan 3,3 volt zal opladen, waardoor de uitgang van O.A.4 niet hoog wordt, en veroorzaken dus geen uitgangspuls. Dat is erg belangrijk want juist de uitgangspuls van O.A.4 komt terecht op de clock-ingang van een FF. De J- en K-ingangen van deze FF liggen hoog, waar-

door hij bij elke clockpuls zal omklappen. De set- en reset-ingangen zijn aan de nul verbonden om ze te inactiveren. De uitgangen van de FF, Q en  $\bar{Q}$ , zijn qua niveau steeds tegengesteld en wisselen bij elke clockpuls. Q stuurt via R16 de darlingtontransistor T1, die op zijn beurt de rode LED laat branden via voorschakelweerstand R17.

De uitgang  $\bar{Q}$  stuurt twee darlington: één die een groene LED laat oplichten (T2), en één die de spoel van een relais kan bekrachtigen (T3).

De weerstanden R18 en R20 hebben de dubbele waarde van R16 om elke FF-uitgang evenveel te belasten.

## Enkele opmerkingen

Je hoeft je niet strikt te houden aan de werkfrequentie van 6,7 kHz die in dit ontwerp is toegepast. Door verandering van de frequentiebepalende onderdelen van zender en ontvangerfilter kan elke mogelijke frequentie tussen 2 kHz en 10 kHz worden gebruikt. Hoger dan 10 kHz verzwakt het uitstralingsvermogen snel en werkt het geheel niet meer betrouwbaar. De formules waarmee je de componenten in functie van de frequentie kan berekenen, zijn:

*IR-sleutel:*

$$R2 = \frac{1,49}{f \cdot C2} - R1$$

Voorbeeld: neem R1 = 2,2 kΩ en C2 = 10 nF

Voor een gewenste frequentie van 6,7 kHz vind je dan:

$$R2 = \frac{1,49}{6,7 \cdot 10^3 \cdot 10 \cdot 10^{-9}} - 2200$$

$$= 10 \text{ k}\Omega$$

*Ontvanger banddoorlaatfilter:*

Je houdt het best C6 = C7 = 1 nF = C in de formule.

Gemakkelijkheidshalve nemen we hier: R10 = R10 + P1, je kan dan zelf de gevonden waarde opdelen in een vaste weerstand + potmeter. Neem voor de potmeter ongeveer 1/3 van de berekende R10-waarde.

$$R9 = \frac{1}{31 \cdot f \cdot C} = \frac{1}{31 \cdot 6,7 \cdot 10^3 \cdot 1 \cdot 10^{-9}}$$

$$= 4814 \Omega = 4,7 \text{ k}\Omega$$

$$R11 = 100 \cdot R9 = 4,7 \text{ k}\Omega \cdot 100 = 470 \text{ k}\Omega$$

$$R' = \frac{1}{f^2 \cdot 3,9 \cdot 10^{-17} \cdot R11}$$

$$= \frac{1}{(6,7 \cdot 10^3)^2 \cdot 3,9 \cdot 10^{-17} \cdot 470 \cdot 10^3} = 1215 \Omega$$

$$R10 = \frac{R9 \cdot R'}{R9 - R'} = \frac{4700 \cdot 1215}{4700 - 1215}$$

$$= 1638 \Omega = 1,5 \text{ k}\Omega$$

$$= 1 \text{ k}\Omega \text{ vast} + 470 \Omega \text{ trimmer}$$

R' is alleen een tussenwaarde om R10 te kunnen berekenen. Naast de formules vind je een uitgewerkt voorbeeld voor de waarde f = 6,7 kHz. Zoals vermeld is C = 1 nF.

In dit ontwerp is als IR-LED het type CQY 89 gebruikt en als IR-detector de BPW 50. Het is evenwel niet noodzakelijk om dezelfde typen te gebruiken, het geheel werkt ook met andere IR-LED's en detector. Het veelgebruikte duo LD 242 en BPW 34 kan zonder meer worden gebruikt.

De darlington T3 is een BC517 en kan slechts collectorstromen tot enkele 100 mA verwerken. Let er dus op dat de gebruikte relaispoel niet meer dan 50 à 100 mA verbruikt.

Indien de IR bediende schakelaar alleen wordt gebruikt om in een andere elektronische schakeling een bepaalde ingang met de nul te verbinden of niet, dan kan dit zonder meer gebeuren zonder relais: de collector van T3 wordt met het te sturen punt verbonden en de nul van beide schakelingen eveneens.

Dit is handig om bijvoorbeeld de reset van een alarmschakeling te bedienen.

## Let op

Waarop moet je vooral letten? Bij het in elkaar knutselen kan het beste gebruik worden gemaakt van 1/2 W weerstanden en tantaliums van 16 volt. De overige condensatoren zijn 100 V MKM-typen.

Het is vooral belangrijk te letten op het plaatsen van de IR-componenten. Als de IR-LED juist is gepolariseerd, meet je met een gewone voltmeter op punt E (anode LED) ca 1 volt. Staat de IR-LED omgepoold, dan meet je ca 4,5 volt. Op dezelfde manier kan de positie van de IR-detector worden gecontroleerd: normaal staat de IR gevoelige fotodiode in sper. Op punt A meet je dan ca 6 volt. Als de detector fout staat, meet je slechts 0,7 volt.

Het afregelen van de schakeling gaat als volgt:

verbind een voltmeter met punt D. Zonder belichting van de detector moet je tussen de 1 à 2 volt meten. Belicht de detector met de IR-sleutel met tussen beide een afstand van 3 à 4 cm. Regel nu P1 tot je over C9 de grootste spanning meet, dit zal ongeveer 4,5 volt zijn. Op dat punt is de schakeling het ge-



- ▶ voeligst ingesteld. Indien de spanning op punt D de 3,3 volt niet overschrijdt, kan de FF niet omklappen en werkt het geheel niet. Bij slechte werking moet je steeds de voedingsspanning van de IR-sleutel nagaan. Deze zou meer dan 7 V moeten bedragen. Indien je een rode knipper-LED wenst te gebruiken, moet R17 tot 270  $\Omega$  worden verkleind.

## Voeding

De IR-sleutel kan het best worden gevoed met een 9 V batterij, liefst van goede kwaliteit, want gedurende de (zeer korte) werkmomenten wordt er tot 80 mA verbruikt.

In de voedingslijn kan je een schakelaar of drukknop opnemen, zo niet dan moet de batterij na gebruik steeds worden losgemaakt.

De IR-schakelaar verbruikt van zijn 12 V voeding slechts 20 mA, LED-stroom inbegrepen. De stroom die het relais eventueel nodig heeft, is hier niet meegerekend.

Zoals bij elke schakeling kunnen storingen afkomstig van een slechte voeding voor narigheid zorgen. C3, C10 en C11 hebben daarom een ontstoringfunctie en mogen zeker niet worden weggelaten.

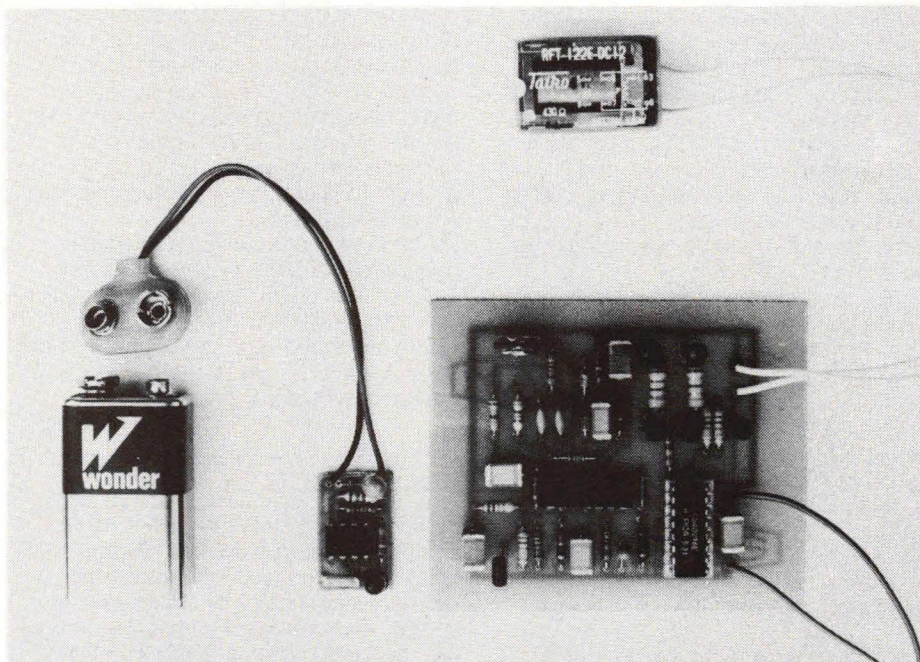
Ten slotte: als je een relais in de schakeling gebruikt, vergeet dan niet een diode (1N4001 e.d.) in sper over de relaispoel te plaatsen om de stoorpiek bij het afvallen op te vangen.

## Gebruik

De IR-detector BPW 50 is niet onder elke belichtingshoek even gevoelig voor IR-licht. Je kan dit nagaan door te bepalen onder welke stand de schakelaar het verst reageert op de sleutel. Je kan wel ongestraft glas, plexiglas e.d. tussen de detector en de IR-zender plaatsen.

Als je de ontvanger dan in een hoekje achter het (auto)raam plaatst, herinnert de rode (knipper) LED je eraan dat er iets niet pluis is.

Je kan ook met een eind afgeschermd snoer de detector afgezonderd van de rest van de schakeling opstellen, evenals de rode en groene LED. Bij gebruik als deurslot hoef je dan maar een klein gaatje door de muur te boren.



Afb. 5. De compleet gebouwde schakeling met de voeding.

## Componentenlijst bij fig. 2 en 4

### weerstanden $\frac{1}{4}$ W:

R1, R12, R13 = 2,2 k $\Omega$   
 R2 = 10 k $\Omega$   
 R3 = 180  $\Omega$   
 R4 = 150 k $\Omega$   
 R5, R18, R20 = 220 k $\Omega$   
 R6, R15, R16 = 100 k $\Omega$   
 R7 = 2,7 k $\Omega$   
 R8 = 1,5 k $\Omega$   
 R9 = 4,7 k $\Omega$   
 R10 = 1 k $\Omega$   
 R11 = 470 k $\Omega$   
 R14 = 100  $\Omega$   
 R17, R19 = 560  $\Omega$

### condensatoren:

C1 = 22  $\mu$ F, tant. 16 V  
 C9 = 1  $\mu$ F, tant. 16 V

### MKM 100 volt

C2 = 10 nF  
 C3, C11 = 0,47  $\mu$ F  
 C4 = 0,27  $\mu$ F  
 C5 = 0,33  $\mu$ F

C6, C7 = 1 nF  
 C8 = 0,22  $\mu$ F  
 C10 = 47 nF

### halfgeleiders:

IC1 = 555 timer-IC  
 IC2 = LM 324  
 IC3 = CD 4027  
 IR-LED = CQY89 (of LD 242 e.d.)  
 IR-detector = BPW 50 (of BPW 34 e.d.)  
 T1, T2, T3 = BC517  
 D1, D2 = zenerdiode, 3,3 V/400 mW  
 D3 = zenerdiode, 4,7 V/400 mW  
 D4 = 1N4148  
 D5 = rode (knipper)LED  
 D6 = groene LED  
 Miniatuurtrimpotmeter (staand) = 470  $\Omega$

### overige componenten:

1 print HB 811  
 1 relais 12 volt



**Karaoke, een nieuwe rage?**  
Karaoke is een Japans begrip, dat zoveel betekent als 'orkest zonder stem'. Het is een zeer genoeiglijke nieuwe rage die in Japan en Amerika al vele miljoenen in de ban heeft en nu ook naar Europa begint over te waaien.

Bij karaoke wordt een cassettebandje weergegeven, een bandje met bekende hits, echter zonder zangstem(men). Alleen orkestwerk dus. In plaats van die zangstem of stemmen zingt men in een of twee microfoons zelf mee. Men is dus zijn eigen ster! Apparatuur die voor karaoke geschikt is kan in speeltempo en toonhoogte aan de wensen van de zanger worden aangepast. Ook de geluidssterkebalans tussen de solist en de begeleiding is instelbaar.

Sanyo is uitgekomen met twee voor karaoke bestemde apparaten, de PAT-C 930 en de PAT CC 1. Het zijn in een forse luidsprekerkast ondergebrachte cassetterecorder-versterkercombinaties. Er is echomogelijkheid aanwezig en bij het tweede apparaat kan de eigen productie op een tweede cassetdeck worden opgenomen.



De voeding kan uit het net, maar ook uit batterijen geschieden waardoor de apparatuur overal kan worden gebruikt: in discobars, restaurants, verenigingslokalen, op jaar-

markten en beurzen, maar ook op straat!  
Imp.: Sanyo Nederland BV, postbus 41, 3640 AA Mijdrecht. Tel.: 02979-4939. □

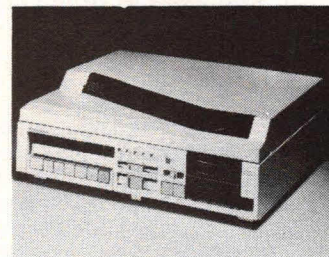
### Panasonic

Panasonic heeft een 3-in-1 stereo-combinatie uitgebracht, de SG-X10, die zich door een opvallend en compact uiterlijk kenmerkt. De breedte bedraagt slechts 37,5 cm, en de hoogte slechts 12,6 cm. Opvallend is voorts het slide-loading cassetdeck dat als een laat-

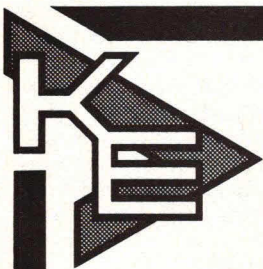
je uit het apparaat naar voren komt en waarin eenvoudig een cassette kan worden gelegd.  
De Panasonic SG-X10 is een compleet audiosysteem met tuner-versterker, platenspeler, cassetdeck en boxen. Het versterkergedeelte levert 2 x 10 watt en is voorzien van een automatische functiese-

lector met LED-indicators. Het cassetdeck schakelt aan het einde van de band automatisch over op de tuner, welke geschikt is voor FM-stereo-ontvangst, MG en LG.

De ingebouwde platenspeler heeft snaaraandrijving en is voorzien van een keramisch element. Op de SG-X10 kunnen een hoofdtelefoon en een microfoon worden aangesloten. De voeding geschiedt uit het lichtnet. De SG-X10 kan in drie moderne tinten worden geleverd: zwart, wit en zilver. De winkelprijs bedraagt, compleet met boxen, f 631,-.

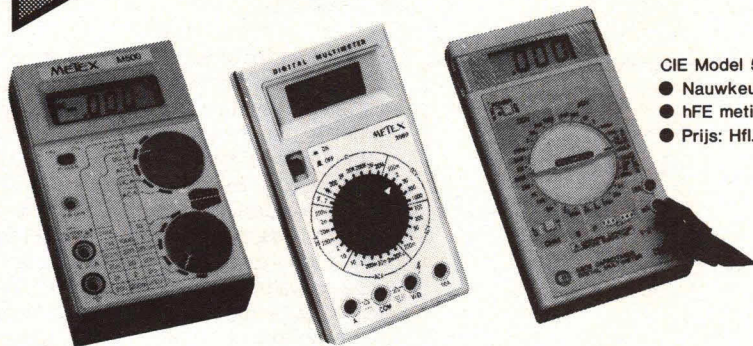


Inf.: Haagtechno bv, Rietveldenweg 60, Den Bosch. Tel. 073-215265. □



## Klaasing Electronics

Het meten van spanning, stroom, weerstand of capaciteit in huis, op school of op het bedrijf is een klein kunstje met onze reeks digitale universeelmeters.



### Metex Model M500

- Nauwkeurigheid: 0,5%.
- AC/DC spanning en stroom tot 10 Amp.
- Weerstandsmeting.
- Bereikaanduiding in het display.
- Prijs: Hfl. 216,- incl. BTW.

### Metex Model M3000

- Monoknop bediening.
- AC/DC spanning en stroom tot 10 Amp.
- Weerstandsmeting en diodetest.
- Nauwkeurigheid: 0,5%.
- Beveiligd tegen piekspanningen tot 3 KV.
- Prijs: Hfl. 234,- incl. BTW.

### CIE Model 5605

- Nauwkeurigheid: 0,5%.
- hFE meting: 0-1000.
- Prijs: Hfl. 211,- incl. BTW.

Naast de standaard functies biedt CIE U vele extra's.

- Centrale bereikschakelaar met vrijloop.
- Siemens meetbereik.
- Hi en Lo Ohm meting.
- Diode test.
- Standaard hFE- of capaciteitsmeting.

### CIE Model 5805

- Nauwkeurigheid: 0,5%.
- Capaciteitsmeting: 1 pF tot 20 µF.
- Prijs: Hfl. 229,- incl. BTW
- Prijswijzigingen voorbehouden.

### Leverbaar via onderstaande winkels

Almere - Electron, Almere - Radio Nijhuis, Alphen a/d Rijn - Zuidan Electronics, Amersfoort - De Looys Elektrotechniek, Amstelveen - Radio v Dijk, Amsterdam - Anjan Electronics, Amsterdam - Radio Peeters, Arnhem - Hupra, Assen - Baas, Beverwijk - Ruco, Breda - Radio Beurs, Dijk - Rutten, Dalmeijer - A. v Zee, Delft - HEC, Delft - Goris Electronics, Den Bosch - De Boer Elektronica, Den Bosch - Mulders Electronics, Den Haag - Raytenbeek Electronics, Den Haag - Staut en Bruin, Den Haag - Westerveld Electronics, Den Helder - Hobby Sam, Dordrecht - Hobby Elektronica, Dordrecht - De Boer Electronics, Dordrecht - Radio Beurs Louder, Ede - Eijlander Electronics, Ede - Hobby Service Shop, Eindhoven - De Boer Elektronica, Eindhoven - Wiener Electronic Components, Enschede - Elektronika v.d. Sande, Enschede - Radio Nijhuis, Gelsen - Bossman, Gouda - Digipro, Gouda - Radio Shack, Groningen - Arja Electronics, Groningen - Daphne Elektronika, Heemstede - Ritvo, Heerhooftoord - Visser Assamling Electronics, Heerlen - De Rooyboog, Helmond - De Boer Elektronica, Helvoirt - Stark, Hengelo - Hobby Elektronika H. Schildkamp, Hengelo - Radio Nijhuis, Hilversum - H & C Specialist, Hoogeveen - Doeven Electronics, Hoogliet - Hobby Center Radio Dordrecht, Hoorn - Jonker Electronics, Kalmbeek aan Zee - Radio Bosplein Elektronika, Leiden - A. de Groot Electronics, Lelystad - Micron Electronics, Maastricht - De Rooyboog, Mijnsheeren - Radio Technica, Mijnsheeren - Radiovo, Oosterschoude - Peeters Elektronika, Purmerend - Daalmeijer Electronics, Raasdorp - Popular Electronics, Rotterdam - Boogerd Electronics, Rotterdam - DCS, Rotterdam - Eira, Rotterdam - Radio 46, Schiedam - Alpha Electronics, Schiedam - Radiobuis v d Bond, Sittard - De Rooyboog, Sittard - Frits Heunis, Tilburg - Plat Konink, Tilburg - Radio Beurs, Utrecht - Centrum B.V., Utrecht - De Boer Electronics, Vaals - Donelaar Electronics, Venray - Electronic Hobby Shop, Vinkeveen - Dirk Stam Bv, Vlaarding - Radio v d Bond, Wealdijk - Electra, Wageningen - Mateman Elektronika, Waert - Electronic Equipment, Walvoge - Klever Elektronika, Zeist - Nic Jansen, Zoetermeer - Elgra/Microwind, Zutphen - Manders Hobby Electronics, Zwolle - Radio Nijhuis, Zwolle - Ten Koppel.



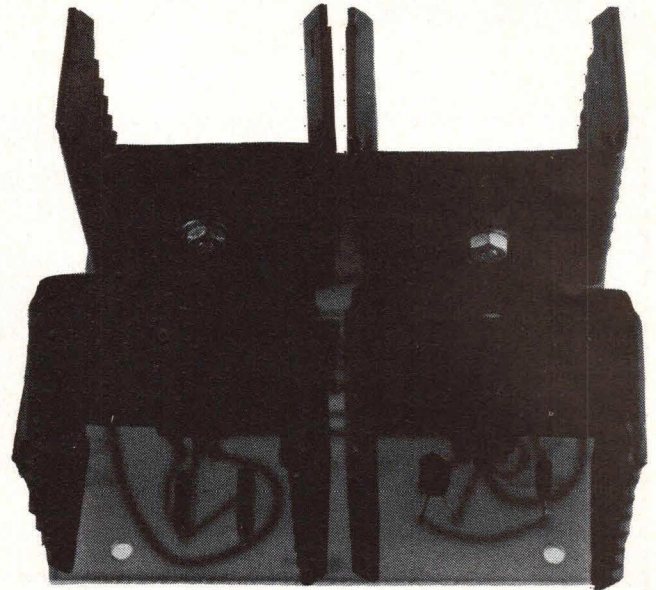
PROFESSIONELE ELECTRONISCHE COMPONENTEN, MEETAPPARATUUR EN VOEDINGEN  
**KLAASING ELECTRONICS B.V.**  
BENELUXWEG 27, 4904 SJ OOSTERHOUT, HOLLAND, TEL.: 01620 - 51400, TELEX 54598



# Spanningsplitser

## Splitsing van enkele naar symmetrische spanning

In de elektronica wordt regelmatig gebruik gemaakt van elementen met een symmetrische voeding. Helaas beschikken de meeste hobby-elektronici slechts over een enkele voeding, die dan regelbaar is tot een goede 30 volt. Met de spanningsplitser kan deze enkele spanning worden opgesplitst naar een symmetrische spanning.



De schakeling is zodanig van opzet dat deze op eenvoudige wijze voor vele mogelijkheden geschikt is. Bij het ontwerpen is uitgegaan van een beschikbare gelijkspanning tussen de 28 en 35 volt waar ongeveer 750 mA uitgehaald kan worden. Hiervan wordt een symmetrische spanning gemaakt van tweemaal 12 volt, daar dit een veel voorkomende waarde is. Ongelijke belasting is toegestaan, sterker nog, de schakeling is erop berekend dat één helft maximaal wordt belast, terwijl de andere helft onbelast blijft. Als extraatje is het geheel ook nog eens kortsluitvast.

Wilt u de schakeling op een andere manier gebruiken dan het ontwerp aangeeft, dan heeft u wel met een aantal dingen rekening te houden, de belangrijkste punten hierbij worden verderop in dit artikel nog eens apart naar voren gebracht.

### Blokschema

Het belangrijkste element om symmetrische spanningen te krijgen is een 'kunstmatig nulpunt'. Hiervoor wordt een referentiewaarde afgeleid van de aangeboden enkele voedingsspanning. Deze referentie wordt aangeboden aan een vergelijker die het referentiesignaal vergeleek met het 'kunstmatige nulpunt' en corrigeert dit eventueel door middel van de sturing. Het 'kunstmatige nulpunt' is dus de uitgang van de sturing.

Dit uitgangssignaal is niet rechtstreeks teruggekoppeld naar de vergelijker, maar passeert eerst een laagdoorlaatfilter, dit om eventuele oscillaties tegen te houden (zie fig. 1). Hierdoor wordt de reactie van het totale systeem op eventuele storin-

gen aan de uitgang wel wat trager, het is dan ook een compromis tussen enerzijds een snelle respons en anderzijds een stabiel systeem.

Na de sturing zien we nog een stabilisator die een stabiele uitgangsspanning produceert, een regelsysteem op zichzelf.

### Schakelschema

Het principe waarop de gehele schakeling berust is getekend in figuur 2. De ingangsspanning wordt met twee gelijke weerstanden afgedeeld op de halve spanning. In principe zou dit al voldoende kunnen zijn als de belasting ook symmetrisch is en niet al te hoge eisen worden gesteld aan de nauwkeurigheid van het nulpunt.

Een eenvoudige verbetering is al te verkrijgen door een op-amp toe te voegen die als spanningsvolger c.q. spanningsbuffer is geschakeld. De referentiespanning die wordt toegevoerd aan de positieve ingang, wordt vergeleken met de uitgangsspanning die wordt teruggekoppeld naar de negatieve ingang. De totale versterking is nu ongeveer éénmaal. De ingangswaarde van de op-amp is echter zeer hoog, zodat de weerstandsdeler niet wordt belast, mits de gebruikte weerstanden in waarde veel kleiner zijn dan de ingangswaarde van de op-amp.

De meeste op-amps kunnen helaas niet veel vermogen leveren, dus grote belastingvariaties zijn vooralsnog niet mogelijk. De oplossing is een 'darlington-balanstrap' als 'buffer-sturing'.

In fig. 3 is de buffertrap getekend, de darlington biedt het voordeel van een hoge stroomversterking zodat de op-amp nauwelijks wordt belast. Terugkoppeling vindt nu plaats vanaf de uitgang van de buffertrap.

Fig. 1. Het blokschema van deze eenvoudige schakeling.

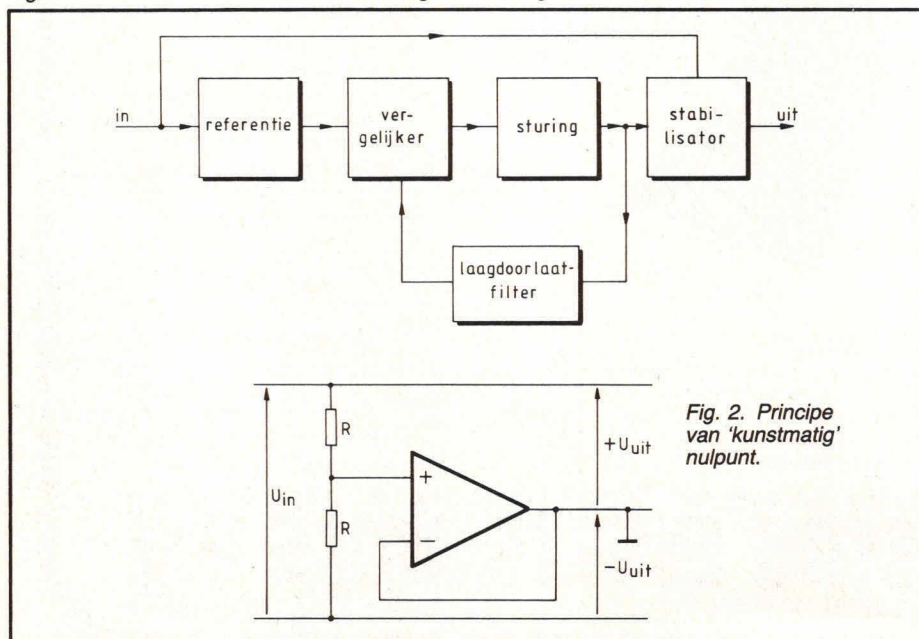


Fig. 2. Principe van 'kunstmatig' nulpunt.



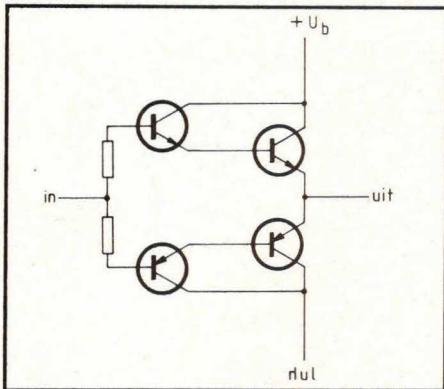


Fig. 3. Een balansversterkertrap met darlington's, geschakeld als klasse B-versterker.

De fasekarakteristiek is echter niet recht, met andere woorden: voor een bepaalde frequentie kan er zoveel faseverschuiving zijn (180°) dat de tegengekoppelde spanning de ingangsspanning versterkt, het systeem oscilleert nu.

N.B. Faseverschuiving is het tijdsverschil tussen in- en uitgangssignaal. In een fasekarakteristiek wordt deze faseverschuiving gegeven voor iedere frequentie. Dit oscilleren is te voorkomen door die frequentie tegen te houden met een filter. In het totale schema (fig. 4) wordt dit filter, te weten een 'laagdoorlatend filter', gevormd door R1 en C1. Dit filter snijdt frequenties af die boven de 7500 Hz liggen. Het geheel is nu wel wat trager geworden voor verstoringen die optreden aan de uitgang, het 'kunstmatige nulpunt' dus.

Voor goede spanningsstabilisatie is gebruik gemaakt van de 7800- en de 7900-serie spanningsstabilisatoren. Deze kunnen een stroom leveren van 1 ampère. Kortgesloten loopt er maximaal een stroom van 750 mA, dus stroombegrenzing volgens het 'fold-back' principe. De koellichamen zijn op dit laatste gegeven berekend, de stabilisator dissipeert dan:

$$P = U \times I = 15 \times 0,75 = 11,25 \text{ W}$$

De gebruikte spanningsstabilisatoren hebben als extra luxe een thermische beveiliging, ze schakelen af als de temperatuur te hoog wordt.

Ook de koellichamen voor respectievelijk T3 en T4 zijn zodanig berekend dat enkelzijdige belasting met een stroom van 750 mA mogelijk is. In die situatie loopt de volledige stroom door T3 of T4 zoals in fig. 5 is aangegeven.

Nog niet genoemd zijn de condensatoren C2 t/m C5. Deze dienen te voorkomen dat de spanningsstabilisatoren gaan oscilleren.

## Andere mogelijkheden

Zoals al eerder gezegd biedt deze schakeling

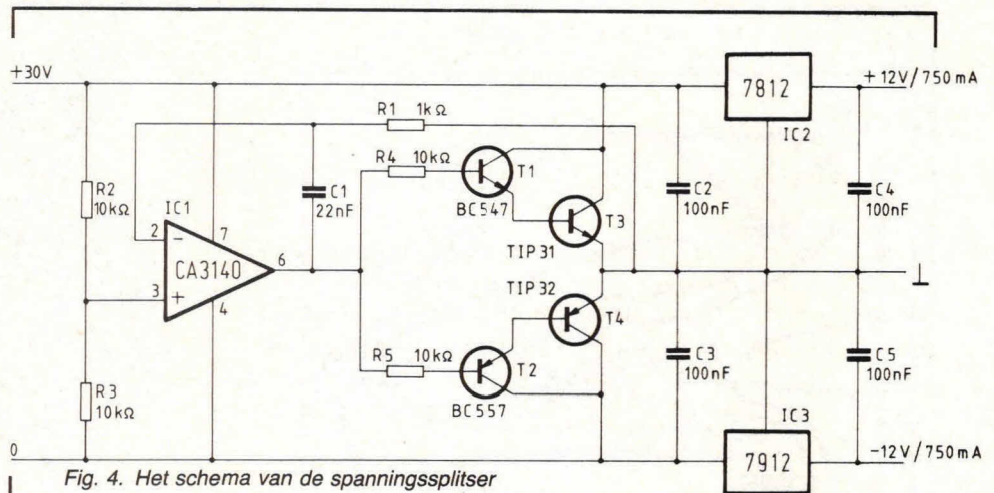


Fig. 4. Het schema van de spanningsplitser

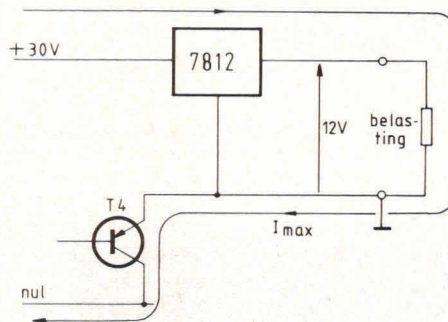
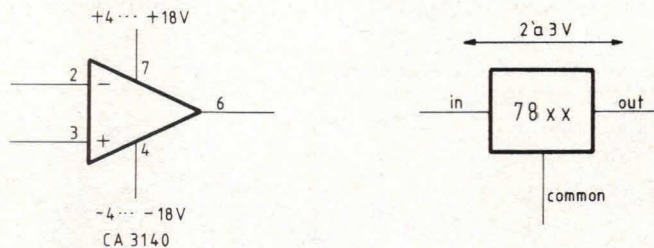


Fig. 5. Bij belasting van slechts één helft van de voeding loopt de stroom in zijn totaliteit via T3 of T4.

Fig. 6. Twee dingen om rekening mee te houden: de voedingsspanning van de opamp en de minimale spanningsval over de stabilisator.



keling veel meer mogelijkheden, ofte wel: andere spanningen zijn ook mogelijk, zelfs asymmetrische dubbele spanningen zoals +12 V en -5 V.

Waar dient u zoal rekening mee te houden?

Allereerst de maximale en de minimale spanning waarbij de op-amp werkt. Het hier gebruikte type, de CA 3140 mag maximaal gevoed worden met 36 volt ofte wel twee keer 18 volt. Lager dan 8 volt of twee keer 4 volt komt de werking ook niet ten goede, fig. 6.

Bij de gebruikte spanningsstabilisatoren

moet de ingangsspanning 2 à 3 volt hoger zijn dan de uitgang om verzekerd te zijn van een goede werking. Dit betekent voor 2 × 12 volt een minimaal benodigde spanning van 27 à 28 volt.

Als laatste de maximale vermogensdissipatie, deze wordt hoofdzakelijk bepaald door de toegepaste koellichamen. Bij normale temperaturen (25 à 50 °C) mag niet meer dan 12 watt gedissipeerd worden door een stabilisator of transistor.

Dus een enkelzijdige belasting van 1 ampère bij een ingangsspanning van 36 volt is niet toegestaan. Door T3 of T4



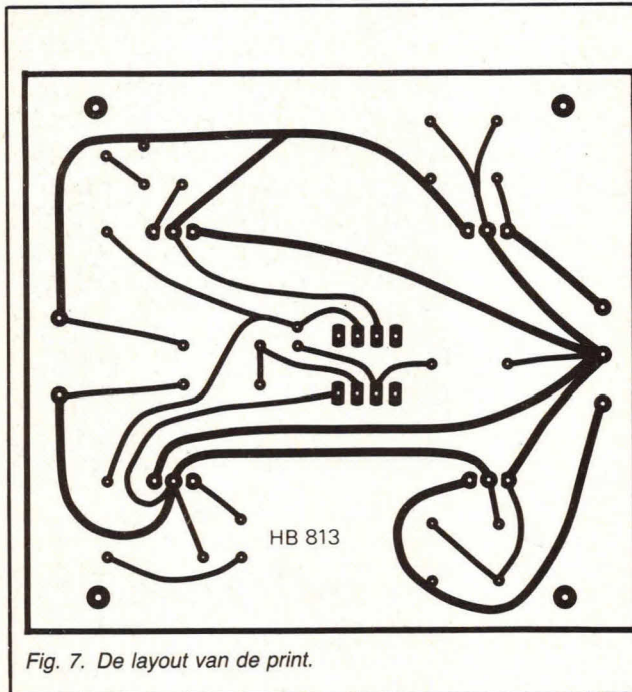


Fig. 7. De layout van de print.

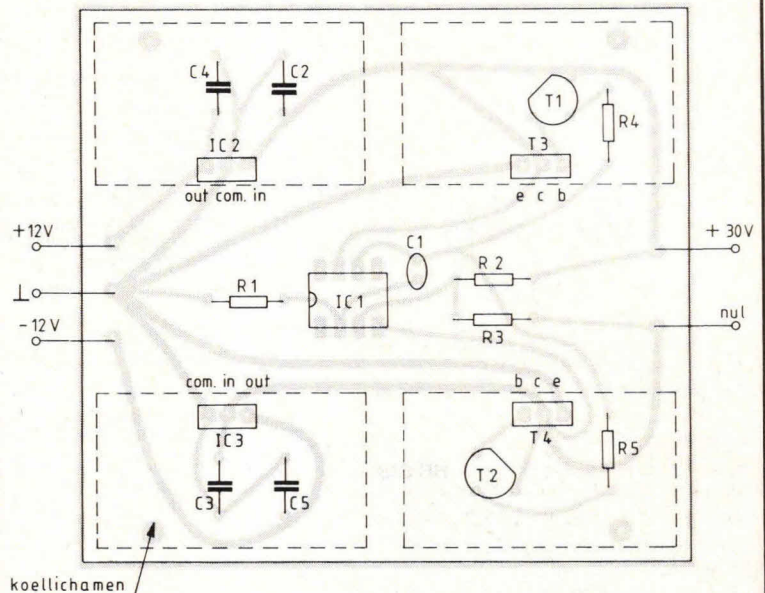
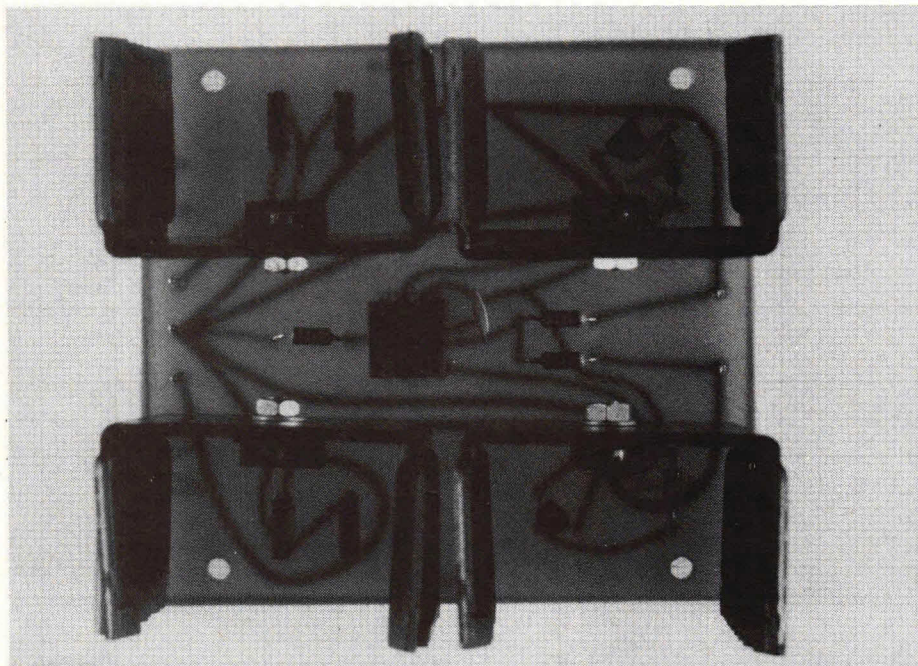


Fig. 8. De componentenopstelling.



Afb. 9. De koelvinnen staan rechtop voor de beste koeling.

wordt dan een vermogen gedissipeerd van 18 watt, dus te veel van het goede!

## De bouw

In fig. 8 is aangegeven hoe de componenten op de print moeten worden aangebracht, terwijl de layout in fig. 7 afgedrukt staat. De print is zo klein mogelijk gehouden.

Alvorens de spanningstabilisatoren en

de vermogenstransistoren op de print te solderen, is het handig ze allereerst op hun koellichamen te monteren. Gebruik geen mica isolatieplaatjes!! Deze hebben een grote thermische weerstand, dus kunt u minder dissiperen. Koelpasta daarentegen verbetert het thermisch contact tussen de component en het koellichaam, waardoor u ongeveer één halve watt meer mag dissiperen, nou ja ook niet om over naar huis te schrijven. Denkt u erom dat de koellichamen geen

contact met elkaar maken! De foto in afb. 9 geeft duidelijk weer hoe de koellichamen dienen te worden geplaatst. Er hoeft niets te worden afgeregeld, nog één tip: als u het geheel inbouwt in een kastje, zorg dan voor voldoende luchtdoorstroming, dus grote gaten...

Hubert van Strien □

## Componentenlijst

### weerstand:

R1 = 1 kΩ  
R2, R3, R4, R5 = 10 kΩ

### condensatoren:

C1 = 22 nF, keramisch  
C2, C3, C4, C5 = 100 nF MKH

### halfgeleiders:

T1 = BC547  
T2 = BC557  
T3 = TIP 31  
T4 = TIP 32

IC1 = CA3140 E

IC2 = 7812

IC3 = 7912

### overige onderdelen:

1 printje HB 813  
5 printpennen  
1 IC-voet, 8-pens DIL  
4 koelvinnen TV-32 (7,2 °C/W)  
(Hebt u problemen met de verkrijgbaarheid van de koelvinnen, informeer dan eens bij Nijkerk BV)



Zo'n tien jaar geleden werd het audiorack geïntroduceerd en hoewel het even duurde voordat het alom werd geaccepteerd groeide het toch uit tot een succes. En nog steeds is de vraag naar complete audioracks groot, zij het dat de componenten wat kleiner zijn geworden. Niet veel kleiner (het minisysteem flopte volledig, gewoon omdat het te klein was en niet om kwalitatieve redenen), maar toch niet meer zo pompeus als weleer. De slimline deed haar intrede: vrij breed en vrij plat.

De prijzen zijn vaak erg concurrerend: er worden al racks voor minder dan 1000 gulden aangeboden. Nou is 1000 gulden op zich veel geld natuurlijk, maar een heel rack, bestaande uit versterker, tuner (of tuner/versterker), cassettedek, en platenspeler, is toch ook niet niks. Er schuilt dan nog wel eens een installatie onder de verleidelijke aanbiedingen die beslist niet door de beugel kan en waarvan de aanschaf zonde is van het geld. Vooral voor zeer goedkope installaties met veel lichtjes, knopjes en metertjes is het oppassen geblazen.



Foto 1. De X-1200: een plezierige set!

## TEST

# Pioneer X-1200

Maar aan de andere kant worden er soms installaties aangeboden die, o.m. onder druk van de concurrentie, naar verhouding wel erg goed en laaggeprijsd zijn. Natuurlijk mogen we niet verwachten om voor een betrekkelijk laag bedrag super-hifi in huis te krijgen, want voor niks gaat de zon op (nu nog wel tenminste).

### Compleet met luidsprekers

Een relatief goedkoop rack dat dan wel geen super-hifi, maar toch beslist hifi ten gehore brengt is het Pioneer-systeem X-1200, dat we uitvoerig aan de tand hebben gevoeld en waarvan we graag verslag uitbrengen. Want het is het waard! Het X-1200-systeem wordt compleet met luidsprekers geleverd en wel voor een prijs van 1299 gulden (wat psychologisch natuurlijk nóg goedkoper klinkt dan het toch al niet te hoge bedrag van 1300 gulden). Op die bijgeleverde luidsprekers komen we zo dadelijk nog apart terug.

Eerst even een omrekening: ruwweg omgerekend komt het X-1200-systeem neer op 250 gulden per component (tuner, versterker, cassettedek, platenspeler)

rationeel  
opgezet  
kwaliteits  
rack



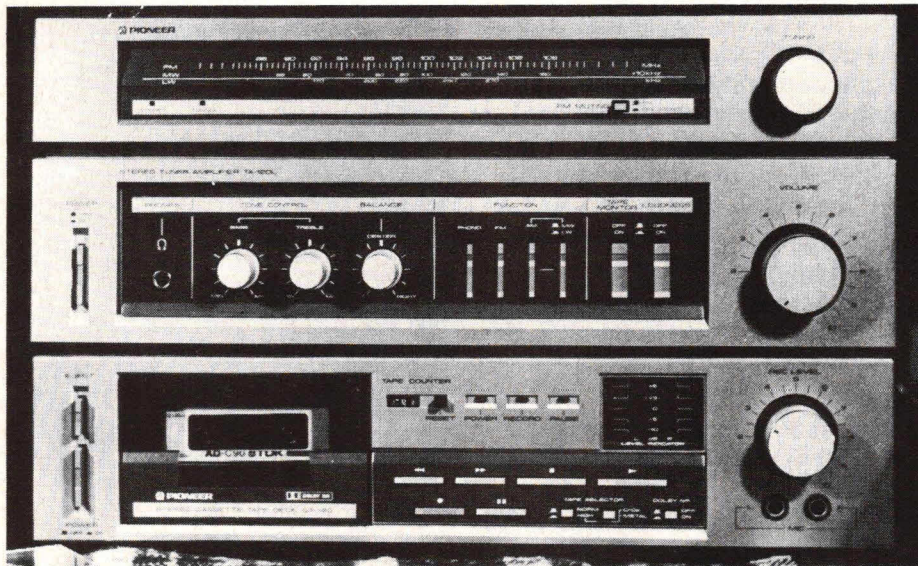


Foto 2. Een duidelijk overzicht van de overzichtelijk geplaatste en gemakkelijk bedienbare bedieningselementen. Opgenschijnlijk betreft het drie aparte sets, maar dat is toch niet het geval. De bovenste twee (tuner en versterker) vormen één onverbreekelijk geheel.

rack-systeem heeft gestaan) wonderwel gelukt een zeer goede geluidskwaliteit van radio, plaat en cassette voor weinig geld te leveren.

**De mogelijkheden**

Wat zijn, in het kort, de mogelijkheden van de X-1200?

- \* De stereoreceiver TA-120L levert 2 x 30 watt continu en ontvangt FM-stereo, midden- en langegolf.
- \* Het cassettedeck CT-120 heeft tip-toetsbediening, one-touch opnamesysteem en is geschikt voor alle bandsor-ten.
- \* De semi-automatische platenspeler PL-210 heeft snaaraandrijving en is uitgerust met een DC-servomotor.
- \* De uiteindelijke weergave geschiedt door twee akoestisch en visueel perfect aangepaste tweeweg basreflexboxen, type CS-161.

Alle componenten zijn uitgevoerd in mat-zilver slimline model en het geheel is ondergebracht in een eenvoudig, maar fraai afgewerkt bruin houtgefineerd rack, dat tevens plaats biedt aan een flink aantal platen. Met cassettes is geen rekening gehouden, die moeten dus ergens anders worden opgeborgen.

**De boxen**

Men kan haast wel als algemene regel stellen dat de boxen bij goedkope audio-racks de sluitpost vormen. Normaal gesproken is het dan ook niet zo verstandig een rack, compleet met bijgeleverde boxjes, te kopen. Het gevaar is dan niet denkbeeldig dat deze de goede of redelijk goede kwaliteiten van de toegepaste

en 150 gulden per luidspreker – en dan hebben we het bijpassende rack gemakshalve nog maar niet eens meegerekend.

De kwaliteit van deze totale set is goed, zo goed dat men zich afvraagt hoe dit mogelijk is. De sleutel blijkt te zijn: een uiterst rationele opzet. Hoewel men zo te zien met vier aparte componenten te maken heeft (de luidsprekers niet meegerekend) is deze Pioneer-set toch een min of meer onverbreekelijk geheel. De voeding van het aparte cassettedeck en

**Receiver**

Zo te zien heeft deze set een aparte versterker en een aparte tuner. Maar dat is toch niet het geval. Het lijken twee componenten, maar het betreft toch één tuner-versterker, ofwel één receiver. In feite maakt dit niets uit, maar voor het indrukwekkende uiterlijk van aparte componenten is nu eenmaal nogal wat belangstelling... Al met al is een zeer efficiënte opzet de basis van deze X-1200, die echter beslist niet tot armoedige resultaten heeft geleid, integendeel! Door deze rationele weg te bewandelen en de opzet vrij eenvoudig te houden is het Pioneer (die aan de bakermat van het

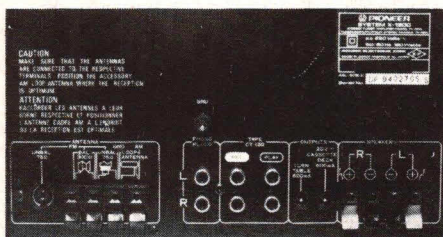


Foto 3. De aansluitingen aan de achterzijde. Voor luidsprekers en antenne worden handige aansluitklemmen gebruikt. In het midden: de cinch-bussen voor platenspeler en cassettedeck, met daarnaast de twee 20 volts DC-aansluitbussen voor platenspeler en cassettedeck.

de eveneens aparte platenspeler bijvoorbeeld geschiedt niet direct uit het lichtnet, maar vanuit de versterker. De totale set heeft dus één centrale voeding. De voedingskabeltjes van deck en platenspeler worden dan ook met een speciaal plugje achterin de versterker gestoken. Deze componenten werken op 20 volt gelijkspanning.



Foto 4. De platenspeler: eenvoudig, maar van zeer goeden huize.



componenten gewoon teniet doen. En dat is zonde van het geld natuurlijk. Deze Pioneer-set maakt op deze regel een even duidelijke als gunstige uitzondering. Kennelijk door de rationele aanpak van het geheel heeft men geen concessies aan de boxen hoeven te doen. We hebben hier dan ook zeker niet te maken met knullige, goedkope gesloten boxjes, die maar al te vaak neuzelen en bonken, maar met eenvoudige, doch absoluut volwaardige klankkasten, opgebouwd volgens het basreflexsysteem. Geen geneuzel, geen holle trechtereffecten, geen gebonk. Men hoort een gave, sonore lagetonenweergave die rond 50 Hz begint, een onvervormd, gaaf weergegeven middengebied en een levendig hoog dat tot de bovenste gehoorrens doorloopt. Gelukkig is geen poging aangewend de lagetongrens tot onder 50 Hz te leggen, daar dan de fraaie klankbalans waar nu sprake van is, bij dit eenvoudige ontwerp zeker niet zou zijn verwezenlijkt. Een goede laag-hoog-balans en een onvervormde weergave van alle weergegeven frequenties geeft heel wat meer muziekplezier dan een geforceerd uitgestrekt frequentiespectrum met fase-, vervormings- en andere problemen.

Deze Pioneerboxen in ieder geval hebben geen problemen. Ze kunnen hun taak op hun slofjes aan en zijn allerplezierigst om naar te luisteren. Ook na langere tijd treedt geen luistermoedigheid op. Dank zij het vrij hoge rendement (basreflex!) klinken ze ook royaal genoeg voor een normale huiskamer. Maar 30 watt is 30 watt natuurlijk. Hiervan mag men geen ruitenrinkelend popgedreun of muren omverwerpemde orgelbassen verwachten. Maar dat neemt niet weg dat er toch een onverwacht krachtig geluid uitkomt als men de sterkteregelaar veropendraait.

Hoewel de scheidingsfrequentie van het wisselfilter bij 2100 Hz ligt, dat is midden in het gebied waarvoor het oor bijzonder gevoelig is, bespeurt men toch niets van een overgangsgebied. Woofer en tweeter werken in dit gebied voortreffelijk samen. Menige driewegluuidspreker doet het minder goed dan deze eenvoudige tweeweg! Weer eens een bewijs dat een tweeweg beslist niet minder hoeft te zijn dan een drieweg, zoals nog maar al te vaak wordt verondersteld. (Een driewegluuidspreker heeft twee overgangsgebieden die moeilijk kunnen doen, tegen een tweeweg maar één!).

### De tuner-versterker

Uitgangsvermogen:  $2 \times 32$  watt continu. Dat lijkt niet veel, want tegenwoordig wordt met 60, 70 en 80 watt gegoocheld alsof het niks is. Wel, bedenkt dat een versterker van 100 watt precies twee



Foto 5. De lichtgewicht arm is uitstekend, zonder enige speling, gelagerd. Naaldkracht en dwarskrachtcompensatie kunnen nauwkeurig worden ingesteld.

keer zo luid klinkt als een 10 watt-versterker! Ons oor reageert niet lineair met de vermogenstoename mee, maar logaritmisch. Een versterker van 60 of 70 watt klinkt dan ook echt niet zo veel luidder dan een versterker van zo'n 30 watt. Zo'n versterker heeft natuurlijk wel wat meer vermogen bij fortissimo's en zal die ook wat gaver weergeven, maar dat gaat wel met een heel wat hoger aankoopbedrag gepaard! Uit deze X-1200-set komt ruim voldoende lawaai voor een fikse burenruzie. Een normale huis- of studeerkamer heeft daar alleszins voldoende aan, temeer daar de vervorming bij vol vermogen rond 1% is, dat is onhoorbaar weinig.

Wat zijn de mogelijkheden? Er kunnen twee signaalbronnen op worden aange-

sloten: platenspeler met MD-element en cassettedeck, de twee bijgeleverde componenten dus. Een AUX-aansluiting zit er niet op, evenmin als een aansluiting voor een tweede cassettedeck. Voor normale muziekweergave van de drie signaalbronnen radio, band, plaat zijn deze extra aansluitingen ook niet nodig en voor wie ook niet méér pretenties heeft is deze sobere, kostenbesparende uitvoering ruim voldoende.

### Opnamen van 2e deck mogelijk

Uit het voorgaande zou men gemakkelijk kunnen afleiden dat het met deze set niet mogelijk is om bandjes van een tweede cassettedeck (of spoelenrecorder) over te spelen, temeer daar de overigens duidelijke Nederlandstalige gebruiksaanwijzing daar ook met geen woord over rept. Toch kan het wél. Sluit daartoe de output (Line Out) van het tweede deck (weergavedeck) aan op de input (REC) van het Pioneer-deck (opname-deck). Dit gaat snel door de twee TAPE REC-plugjes van het opnamekabeltje uit de versterker te trekken en deze in de Line Out-bussen van het extra deck te prikken. Druk vervolgens de Tape Monitor-toets in. Van het tweede deck kan nu een bandje worden overgespeeld en er kan tegelijkertijd worden meegeluisterd.

### Klankregeling

Natuurlijk heeft het versterkerdeel de gebruikelijke gescheiden lage- en hogetonenregelaar. Het regelbereik is met + en -9,5 dB alleszins voldoende. Belangrijk ook is het regelgebied. Hier ligt dat bij



Foto 6. Het rack wordt compleet met kast geleverd, maar kan natuurlijk ook gemakkelijk op een dressoir of in een boekenkast worden ondergebracht. (Tijdens de test hadden wij de bijbehorende kast niet tot onze beschikking, daarom treft u deze niet op de foto's aan. We hebben echter gezien dat de kast fraai is afgewerkt en van een rookglazen deur is voorzien.)





**RADIO SHACK  
NEDERLAND**

GOUDA Zeugstraat 32-34  
Telefoon 01820-21718



**REEDS MEER DAN 50 JAAR  
RADIO SCHACK-KREVER**

**Aanb.  
DUO DISPLAY**  
com. an.

p.st. 3,-  
5 voor 12,50

**NICAD BATT.**

5 soorten voorradig  
Bijv. penlite  
1,2 V 0,5 AH **5,95**  
4 voor **20,-**  
**Laders** vanaf **23,-**

**MICRO WALKMAN  
HOOFDETEL.**

zgn. oordoppen stereo  
slechts **15,-**

**ALARM BELLEN**  
voor schepen, scholen,  
gebouwen enz. enz.  
Helder geluid  
42 of 60 of 100  $\Omega$   
Super Radio Shackprijs  
**75,-**

**UNIVERSEELMETERS**  
2000 $\Omega$ /V **29,50**  
20.000 $\Omega$ /V met buzzer **69,50**

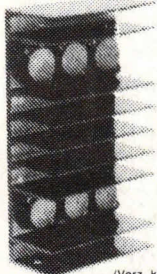
Alle Metex  
**DIGITALE METERS**  
al vanaf **175,-**

Ook voor communicatie app.: o.a. scanners, 27 mc, TV, radio,  
scanner ant. en kabel  
Radio techn. boeken, ook 25 soorten computerboeken.  
Platen en cassetten reinigingsmat.

**HOBBYKIT CENTRE**

**MAC-GEE  
eindversterkers**

Al geruime tijd leveren wij deze serie  
hoogvermogen-eindtrappen met veel  
sukses. Betrouwbaar, uitgerust met  
V-MOS-FET's, dus met uitstekende  
specificaties. Voor HiFi, Disco en PA.



TYPE	MG-80	MG-120	MG-200
SINUS-vermogen	80 Watt	120 Watt	200 Watt
THD vollast 1 kHz	0.04%	0.04%	0.04%
TIM	0.003%	0.003%	0.003%
Frekwentiebereik	Fo. 300 kHz	Fo. 300 kHz	Fo. 300 kHz
Slew Rate	60 V/us	60 V/us	60 V/us
S/N Ratio	110 dB	110 dB	110 dB
ingangsevoeligheid	0.775V/47 kOhm	0.775V/47 kOhm	0.775V/47 kOhm
Uitgerust met	2xV-MOS-FET	4xV-MOS-FET	6xV-MOS-FET
Voedingsspanning	- en -30 VDC	- en -45 VDC	- en -60 VDC
Afmetingen	100x65x180 mm	100x65x180 mm	100x65x180 mm
PRIJS	98,50	149,-	195,-

(Verz. kst. f 6.50 - bij rembours. f 9.75)

**KATALOGI**

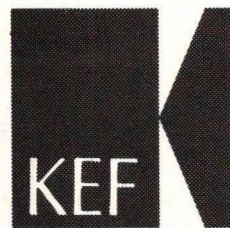
Behalve onze nieuwe LUIDSPREKER-KATALOGUS, boordevol woofers, squackers, tweeters, full-range speakers van enkele Watts tot een paar honderd Watts, scheidingsfilters, boxen, kasten, aansluitmateriaal en toebehoren, is nu ook de nieuwe KATALOGUS-ELEKTRONIKA-PROGRAMMA 1984 verschenen. Met versterkers, equalizers, mixers, mikrofoons, lichteffect- en alarm-apparatuur, autotoebehoren, omvormers enz. enz. U kunt beide katalogi bestellen door f 10,- over te maken op ons giro-nr. 3320470 t.n.v. HOBBYKIT CENTRE onder vermelding van KATALOGI.

**BESTELBON**

HOBBYKIT CENTRE Leeuwarden,  
Vegelinstraat 19 - Postbus 555,  
8901 BJ Leeuwarden (Holland),  
Tel. 058-121868. Giro nr.: 3320470.

NAAM.....  
ADRES.....  
POSTCODE.....  
PLAATS.....  
ARTIKEL.....

Ik sluit betaalkaart, be-  Ik wens onder remb-  
taal-of eurocheque bij. te ontvangen.



**Constructor  
Kits**

**luidspreker-zelfbouw-pakketten**

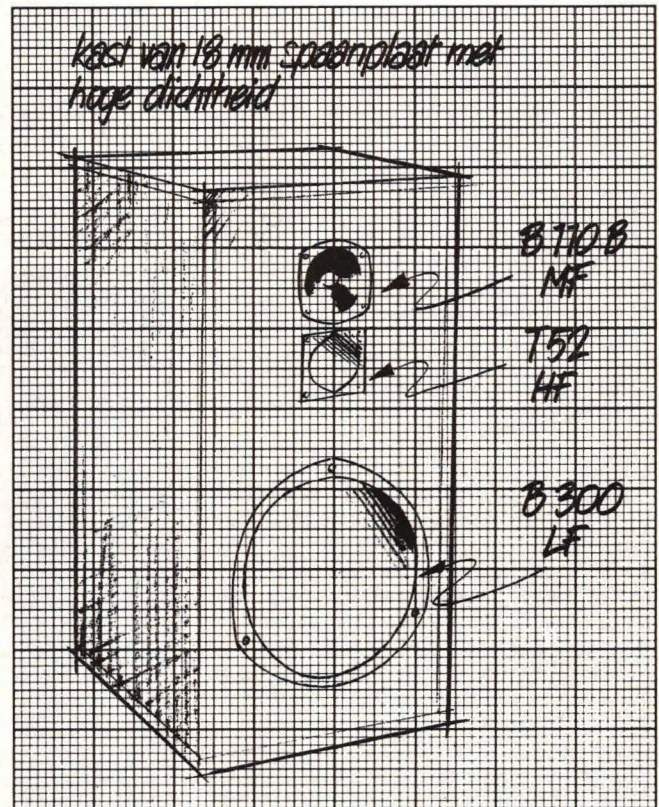
KEF kan goed luidsprekers bouwen. Over de hele wereld verschijnen regelmatig zelfbouw-ontwerpen in vak- en amateurbladen met de KEF componenten als kwaliteitskern.

De rijpe ervaring van KEF, en de waardering voor de serieuze zelfbouwer komen beide volop tot uiting in de begeleiding die de 6 eigen KEF zelfbouw-ontwerpen meekregen. Met een uitgebreide nederlandse handleiding vol nuttige wenken, achtergrond-informatie, waar-

schuvingen en voor-schriften.

De pakketten zijn geheel compleet. Alleen het hout ontbreekt. Maar daar is een schrander zaagplan voor aanwezig. De overneemfilters werden door de importeur gecontroleerd, die daarover een meetrapport bijsluit.

Maak f 5,- over op postgiro 499331 t.n.v. TransTec bv te Rotterdam onder vermelding van KEF Constructor. U ontvangt dan 33 pagina's KEF zelfbouw-informatie + prijzen en verkoopadressen.



Het succes van de Constructor-serie resulteerde in een nieuwe kit, afgeleid van de roemruchte RR-105.2: de CS-9



TransTec bv  
Schiedamsevest 71  
3012 BE Rotterdam  
tel. 010-147055\*



► resp. 100 Hz en 10 kHz, dat zijn fijne regelgebieden. Want als er nu aan de laagtonenregelaar wordt gedraaid neemt niet het basgebied toe of af (wat wel gebeurt bij een lager regelgebied), maar bespeurt men werkelijk een plezierig toe- of afnemen van een essentieel laagtonenspectrum. Hetzelfde geldt voor het hogetonenspectrum: 10 kHz is een fijn regelgebied, veel plezieriger dan het nogal vaak aangehouden regelgebied van 12 kHz of nog hoger. Bij het opdraaien van de hogetonenregelaar hoort men dan wel meer ijle hoge toontjes, maar van een wezenlijke hogetonenregeling is dan toch geen sprake. Bij deze Pioneer-set dus juist wél.

Ook de Loudness-toets, waarmee deze goed klinkende versterker is uitgerust, is van invloed op precies dezelfde frequentiegebieden.

*(Loudness wil zeggen: automatische aanpassing van de klankregeling aan het oor. Bij lagere geluidsniveaus worden de lage en de hoge tonen, waarvoor het oor dan minder gevoelig is, automatisch tot het juiste niveau extra versterkt).*

Bij grotere geluidsvolumes hoort de Loudness-werking geleidelijk aan minder te worden, maar dat is bij deze versterker niet het geval, waardoor de laagtonenweergave dan wel wat erg geprononceerd wordt. Voor de luidsprekers is dat minder gezond en daarom is het wel zaak de Loudness tijdig uit te schakelen wanneer er een krachtige weergave gewenst is.

## Bediening

De bediening van het versterkerdeel (dat geldt trouwens ook voor de andere componenten) is eenvoudig. De draairegelaars en druktoetsen zijn overzichtelijk geplaatst en prettig te hanteren.

## Analoog tunerdeel

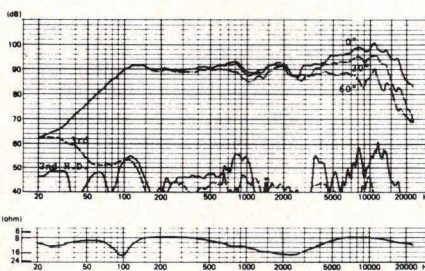
Het tunerdeel is geheel en al in stijl: niet veel bedieningsmogelijkheden, maar wat er is is precies essentieel en de ontvangstkwaliteiten zijn op alle drie de banden goed. Het is een eenvoudig, maar goed afgeregeld AM/FM-tunerdeel met simpele, analoge afstemschaal. De technische gegevens worden in de praktijk keurig waargemaakt en dat betekent: uitstekende, driftvrije ontvangst van een groot aantal stations op FM, MG en LG, met uitstekende selectiviteit en zonder hinderlijke interferentie-fluittoontjes. Zelfs met een simpele kamerantenne – kan het eenvoudiger – ontvingen we in het wat problematische ontvangstgebied van Noord-Nederland de Hilversums ruisvrij in stereo. Uitstekend!

Afstemmeters ziet men niet op dit apparaat. Wel een eenvoudige Tuning-indicator die goed voldoet. Wat kan het leven



Foto 7. De luidspreker, met afgenomen voorfront. Duidelijk is te zien dat het hier een bas-reflex betreft. Er komt o.m. een stevige bas uit.

toch heerlijk simpel zijn! Bij juiste afstemming licht het Tuning-lampje heldergroen op. Dat geldt voor alle drie golfbereiken: FM, MG en LG. Wordt bij FM-ontvangst een stereostation ontvangen, dan gaat bovendien een rood stereolampje branden. Wil men geen stereo-ontvangst, dan kan men de FM-MUTING-toets indrukken. De z.g. muting-schakeling die de ruis bij het afstemmen tussen de FM-stations onderdrukt, is dan tevens uitgeschakeld. In dat geval komen ook de allerzwakste FM-stations door. Wel, en meer toetsen zitten er niet op het tunerdeel, kan het functioneler? (De FM-AM- en de MG-LG-omschakeltoetsen zijn FUNCTION-schakelaars die op het versterkerdeel zijn ondergebracht).



Afb. 8. Het luidsprekergedrag in grafieken uitgedrukt.

Boven: de frequentie karakteristiek, met tevens het vervormingsgedrag (2e en 3e harmonischen).

Onder: de impedantiecurve, die bijzonder fraai genoemd mag worden. Dit fraaie beeld komt ook inderdaad bij de weergave naar voren.

## Het cassettedeck

De tuner-versterker wordt vergezeld van een deck dat er helemaal bij thuishoort, want het is van eenzelfde hoge kwaliteitsniveau. Ook weer zeer eenvoudig: geen snelzoeksysteem, geen aan de teller gekoppeld memory-systeem, geen uitgangsniveauregelaar. Maar het essentiële is er wel en ook weer van een ten opzichte van de prijs uitstekende kwaliteit.

Het deck is geschikt voor alle bandsoorten. Met twee druktoetsjes kunnen 3 instellingen worden verkregen: normale band, chroomband en metal tape. We hebben allerlei cassettes uitgeprobeerd en hoewel het een Japans apparaat betreft, bleek toch dat vooral met BASF Chromdioxid Super II opvallend briljante resultaten werden verkregen. Met metal tape kan een grotere dynamiek worden vastgelegd, maar gebruik van deze vrij dure bandsoort heeft eigenlijk alleen zin bij het maken van live opnamen, of bij het overnemen van compact disc platen. Er kan dan tot +6 dB worden uitgestuurd, dat is het maximum niveau dat de opname-indicator aangeeft. Deze LEVEL INDICATOR geeft het opname-, maar ook het weergaveniveau levendig aan. Het is een digitale LED-display met piekwaarde-aanduiding.

Een consequentie van de eenvoudige opzet is de toepassing van één enkele opnameniveauregelaar waarmee dus tegelijkertijd het niveau van het linker- en rechterkanaal wordt geregeld. Normaal is dit absoluut niet bezwaarlijk, maar in een enkel geval kan het wel eens lastig zijn, bijvoorbeeld als men op één spoor een muzieksignaal en op het andere spoor tegelijkertijd een microfoon signaal wil opnemen. De onderlinge sterkte is dan niet te regelen. Ook de microfoonaansluiting is eenvoudig gehouden. Er zijn twee aansluitbussen, een voor het linker- en een voor het rechterkanaal. Zodra een microfoonplug in een van de bussen wordt geprikt, wordt het lijnsignaal van dat kanaal onderbroken. Door één monomicrofoon te gebruiken kan dus met het lijnsignaal van het andere kanaal worden gemengd. Maar het is niet zo (zoals bij veel andere decks wel het geval is) dat het microfoon signaal bij het inprikken van de microfoonplug in het linker kanaal zowel op het linker- als rechter spoor van de cassette wordt opgenomen. Mono dus over twee kanalen. Dat kan bij dit Pioneer-deck dus niet. Op zich niet erg, als je er maar weet van hebt. Dit is temeer belangrijk daar de versterker geen mono-stereoschakelaar bezit en van een gemengde opname géén compleet monosignaal kan maken: de eigen stem komt uit de ene luidspreker en het muziek(lijn)signaal uit de andere. Echt vermengen met elkaar over twee luidsprekers is er niet bij.



Evenmin kan met een aparte timer of schakelklok worden gewerkt en er kunnen dus geen automatische opnamen worden gemaakt. Ook dit is niet als negatieve opmerking bedoeld. Wie niet van plan is opnamen met behulp van een timer te gaan maken hoeft die voorziening ook niet te kopen.

## Geavanceerd bandloopsysteem

Het bandloopsysteem mag beslist geavanceerd worden genoemd. Er is soft-touch bediening toegepast en het een en ander is zodanig geconstrueerd dat iedere functie direct kan worden gekozen. Druk tijdens weergave een snelspoeltoets in en meteen wordt er snelgespoeld. Of druk tijdens de weergave de opnametoets in: onmiddellijk wordt er opgenomen. Het betreft hier dus het one-touch opnamesysteem. Heel handig, maar pas wel op de opneemtoets niet per ongeluk tijdens weergave van een kostbare cassette in te drukken! (Tenzij het wisbeveiligingslipje uit de cassette is gebroken natuurlijk, maar wie doet dat altijd?).

Het snelspoelen gaat wat langzaam: een C90-cassette heeft niet de gebruikelijke 90 seconden nodig, maar 140 seconden.

## De platenspeler

Nog is het verhaal niet ten einde: er is ook nog een platenspeler. Gelukkig een snaaraangedreven type, want goedkope direct drive-typen moeten worden gewantwoord, die lopen in principe niet zo regelmatig en rumblevrij als goedkope, goede snaaraangedreven platen spelers. De motor van deze zeer eenvoudige, maar kwalitatief uitstekende platenspeler is een elektronisch geregelde DC-servomotor. Het resultaat is een rustig, zeer stabiel draaiend plateau dat geen waarneembare rumble of zweving voortbrengt. Heel fraai!

Het betreft hier een semi-automaat: bij het plaaieinde gaat de arm vanzelf naar de ruststeun terug. Bij het opzetten van de arm (dat gaat met de hand) moet niet vergeten worden de liftoets even in te drukken, zodat de arm weer omhoog gaat! De lift werkt allerplezierigst. De neerdaalsnelheid kan met behulp van de up-down-toets zelf worden geregeld. De platenspeler heeft 2 snelheden die d.m.v. een druktoets worden ingesteld. Geen toerentalrijnregeling, maar dat is in verreweg de meeste gevallen ook helemaal niet nodig. Er is nog een derde toets de CUT-toets, waarmee een spelende plaat kan worden onderbroken.

Over de armconstructie niets dan lof. De rechte 'Low Mass High Tracking Ability' koolfilberarm is van uitstekende kwaliteit en is ook perfect gelagerd. Resonantieverschijnselen in het zo kritische gebied tussen 5 en 15 Hz komen niet voor. Uit-

stekend! Ook het element (Pioneer PC-230) is van goeden huize. Bij een naaldkracht van nauwelijks 2 gram worden de moeilijkste plaat passages probleemloos genomen. En ook de klankkwaliteit is uitstekend. Men hoeft beslist niet een duurder element in de arm te monteren, zoals bij goedkopere platen spelers nogal

eens gauw het geval is. Overigens is de arm zeker geschikt voor een duurder element, er zullen dan zeker geen moeilijkheden ontstaan.

Ook bij deze platenspeler concessies ten gunste van de prijs: het apparaat is niet van een subchassis voorzien en dat betekent dat elke aanraking tijdens het

## TECHNISCHE GEGEVENS

<i>Versterkerdeel</i>	
Uitgangsvermogen, continu	2 × 32 watt (DIN) THD 1%, 8 Ω
Frequentiebereik	10 Hz – 60.000 Hz ± 3 dB
Phono overbelastingsniveau	130 mV (THD 0,05%, 100 Hz)
Signaal-ruisafstand (IHF)	
Phono	72 dB
Tape	97 dB
Tot. harm. vervorming	0,2%, nom. uitgangsvermogen
<i>Tunerdeel, FM</i>	
Gevoeligheid (DIN)	Stereo 50 μV (46 dB S/R) Mono 0,85 μV (26 dB S/R)
Signaal-ruisafstand (DIN)	Stereo 63 dB, mono 70 dB
Vervorming, 1 kHz	Stereo 0,6%, mono 0,3%
Selectiviteit	50 dB
Vangverhouding	2,5 dB
Spiegelfreq. onderdrukking	45 dB
MF-onderdrukking	100 dB
AM-onderdrukking	45 dB
Intermodulatie-onderdrukking	70 dB
<i>Tunerdeel, AM (MG en LG)</i>	
Gevoeligheid IHF, buitenantenne	MG: 30 μV, LG: 45 μV
Selectiviteit	25 dB
Signaal-ruisafstand	50 dB
Spiegelfreq. onderdrukking	38 dB
MF-onderdrukking	MG: 33 dB, LG: 31 dB
<i>Cassettedeck CT-120</i>	
Koppen	hard permalloy opn./weerg.kop ferriet wiskop
Motor	DC servomotor
Wow & flutter	±0,05% (WRMS)
Frequentiebereik	30 – 16.000 Hz (chroomband)
Signaal-ruisafstand	>57 dB (zonder Dolby)
Harm. vervorming	<1% (0 dB)
Snelspoeltijd	ca. 140 s (C-90 cassette)
<i>Platenspeler PL-210</i>	
Aandrijving	snaar, DC-motor
Wow & flutter	<0,05% (WRMS)
Signaal-ruisafstand	>68 dB (DIN-B), met Pioneerelement PC-230
Arm	rechte buisarm, statisch gebalanceerd
Naaldkracht PN-230-element (MM)	1,7 – 2,3 g
Frequentiebereik	10 – 30.000 Hz
<i>Luidsprekers CS-161</i>	
Type	basreflex, tweeweg
Frequentiebereik	53 – 20.000 Hz
Gevoeligheid	92 dB/W op 1 m afstand
Continubelastbaarheid	30 W (muziek: 40 W)
Afmetingen luidspreker	280 × 460 × 187 mm (b × h × d)
Totale afmetingen rack (zonder luidsprekers)	486 × 789 × 388 mm (b × h × d)
Totaal stroomverbruik	180 W



spelen direct in de luidsprekers te horen is. Het openen en sluiten van de stofkap dient dan ook zeer voorzichtig te geschieden. Bovendien moet de platenspieler op een *stevige ondergrond* worden geplaatst. De opstelling op het bijgeleverde rack is eigenlijk niet zo ideaal, zeker niet als dat rack op een houten vloer is geplaatst: de versterker en het cassette-deck (bij plaatopname) moeten wel héél voorzichtig worden bediend!

## Conclusie

Onze conclusie zal na het voorgaande wel duidelijk zijn: we hebben deze prachtig afgewerkte Pioneer-set niet dan met groot plezier beluisterd. De kwaliteit van alle componenten, de luidsprekers inbegrepen, is opvallend goed, hetgeen voor de naar verhouding lage prijs is verwe-

zenlijkt door de uitvoering zo eenvoudig mogelijk te houden. Dit rack is dan ook precies bedoeld voor diegene die gewoon simpelweg uitstekende kwaliteit wil – kwaliteit zonder 'gimmicks', zonder veel lampjesgeflapper en zonder driftig dansende meters.

Er wordt een duidelijke, goed geïllustreerde Nederlandstalige gebruiksaanwijzing meegeleverd. Alleen, de erin vermelde cassettekeuze (een hele lijst van mogelijkheden) is uit de tijd en niet aangepast aan het huidige marktaanbod. Waarom niet gewoon IEC I, II en IV (ijzeroxyde, chroomdioxyde en metaal) vermeld? Dat was meer dan voldoende en ook volledig afdoende. Tenslotte is de nieuwe IEC-norm, die nu algemeen wordt aangehouden, niet voor niets ontwikkeld.

Maar dit heeft natuurlijk niets met de apparatuur zelf te maken – die is gewoon erg goed, zal de gebruiker zo te zien ongetwijfeld langdurig fijn muziekplezier geven en wordt dan ook ten zeerste aanbevolen!

Wim van Bussel

*Imp.:* Pioneer Electronics (Holland) BV, Hogeweyselaan 25, 1382 JK Weesp. Tel. 02940 - 15015.

*Prijs X-1200*, compleet met kast en luidsprekers: f 1299,-. Er wordt nog een wat duurder gelijksoortig rack geleverd, type X-2000, met een digitale tuner, een wat groter cassette-deck, een 2 x 50 watt-versterker en iets grotere luidsprekers. Prijs f 1599,-.

# Hobjes

## AANGEBODEN

1 zw transistor, is nog in goede staat. 1 zw buizen tr merk Nordmende Konsul met klein defect. Prijs n.o.t.k. Evt. ruilen met een kleine zw-tv.  
E. Lap, tel 04180-4490.

Acorn Atom (15K RAM), met floating point ROM, AXR1 toolbox, Program Power toolbox, printer interface, alle connectoren, met beeldscherm (port. TV), geschakelde ASTEC voeding (12 V en 5 V), z.g.a.n. Seikosha printer GP-250X (in doos) met alle documentatie (manuals, gebruikersclub enz.) en div. software op cassette. Vraagprijs f 1.750,-.  
P.J. Smulders, tel. 079-310413.

In goede staat: Geveke teletype met elektronisch keyboard, incl. hardware-

boeken. Vraagprijs f 300,- SDK 85 designkit + uitbreiding + alle bijbehorende studieboeken, aansluitbaar op teletype, als ontwikkelingssysteem. Vraagprijs f 2.000,-.

H. Voordouw, Rietwikerstraat 8III, 1059 VZ Amsterdam, tel. 020-150345 (na 19.00 uur).

Digitale VIA meter 3 digits, zwevende ingang, 'hold', +1-1 overflow-indicatie. Gebruiksklaar in kast met ruime voeding, f 175,-. Frequentiemeter 50 MHz, 7 digits, aflezing 0,1, 1, 10 Hz (Tandy 277-9213). Defect: labiele westpuntsinstelling, f 175,-.

A. Groot, Wijngaard 78, Lelystad, tel. 03200-26285.

Ca. 600 buizen o.a. ECF80, EL86, ECF83, ECL84, EL95, PCF82, PCL82, PCC88, ECL85, ECL80, EL86 en EC88. Prijs n.o.t.k.

R. Sonépoose, Fluitekamp 24, 3828 WC Hoogland, tel. 033-803948.

## GEVRAAGD

Wie kan mij helpen aan een schema van KTV Blaupunkt Caravelle?  
J. Hudales, Pijperstr. 100, 6164 XW Geleen, tel. 04494-53575.

Wie kan mij (tegen vergoeding) helpen aan de zelfbouwprojecten van de ZX81 uit de HOBBIT-nummers 4, 6, 7/8, 9, 10, 11, 12 van 1983?  
J. Geerts, Moerkantboven 201, 2190 Essen, België.

Schema van een Philips tuner-versterker type B6X5ZAT01. Schema van Philips spelletjescomputer G 7000. Schema eenvoudig stereo FM zendertje, vermogen onbelangrijk. Kosten worden eventueel vergoed.  
M. Weustink, Tienhont 27, 5301 VX Zaltbommel, tel. 04180-3306.

Wie kan mij helpen aan de schema's van een Philips stereo tuner type 22RH690/00Z, stereo versterker ca. 2x40 W, mengpaneel merk Phonic type SM1000.  
A.A. Zoer, Menterwoldeweg 17, 9944 AX Nieuwolda.

Schema van de versterker Scott A457. Eventuele kosten worden natuurlijk vergoed.  
M. Schutte, Nic. Beetsstraat 34, Bergen op Zoom, tel. 01640-51975 (na 16.00 uur).

Wie wil met mij programma's ruilen voor de TRS-80 model III (op diskette)? Zend mij een lijst en ik zend u de mijne.  
M. Boersma, De Akkers 51, 9649 JB Muntendam, tel. 05987-18997.



# TEOKAAT

radio grammofoon  
bandrecorders televisie  
Jansbuitensingel 2 -  
6811 AA ARNHEM  
Tel. comp. afd. 45 45 18  
Tel. r.t.v. afd. 43 24 45

# KOK

## ONDERDELEN SPECIAALZAAK

Nieuwe Beestenmarkt 20-22  
bij molen "de Valk"  
2312 CH LEIDEN  
Tel. 071 - 149345

's Maandags gesloten

Alles voor de elektronica hobbyist  
voor Gorinchem en omstreken

## SOWELL ELEKTRONICA

Langendijk 66 - 4201 CJ Gorinchem  
Tel. 01830-31046

## ELEKTRONIKA VAN SCHOOR

Voor al uw onderdelen

Raamstraat 28  
7411 CW Deventer  
Tel.: 05700 - 12760

TILBURG

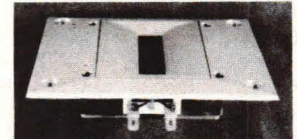
### RADIOBEURS

GESPECIALISEERD IN ONDERDELEN  
EN VERKOOP COMPUTERS EN  
ZENDAPPARATUUR, O.A.  
COMMODORE EN SINCLAIR.

Heuvelstraat 129 - Giro 1070721 -

Tel. 013 - 42 56 29

### ZELFBOUWERS OPGELET! DE MULTICEL SUPER RIBBON TWEETER



Freq. ber. 3,5 - 50 kHz 8 Ohm 92 dB/1 m/1 watt  
120 watt by 8,5 kHz 12 dB/oct prijs fl 69,- per stuk

In Nederland te bestellen bij  
TSN, Postbus 58, 7213 ZH Gorssel

1) Door overmaking van . . . x fl. 69,50,  
op girorek. 4306488 tnv. TSN,  
Gorssel.

U ontvangt uw bestelling franco  
thuis

2) Per brief met ingesloten  
eurocheque of groene  
betaalcheque. (vergeet niet  
nummer en handtekening)  
U ontvangt uw bestelling franco  
thuis

3) Per telefoon op nr 05759-3321.  
U ontvangt uw bestelling onder  
rembours + fl 8,- remb.kosten.

Importeur **LSM** Welsommerweg 15  
7722 RP Dalfsen  
Tel. 05293-4070

# DIGI Electronics p.v.b.a.

## printservice

Laurierstraat 15, 8400 Oostende,  
Tel. (059) 50 82 19



- U stuurt ons uw ontwerp op kalk of polyester film
- U stuurt ons uw ontwerp op gewoon papier
- U stuurt ons een tekening uit tijdschrift of folder

° Gelieve geen principe schema's toe te sturen.  
UITERST SNELLE SERVICE: wij leveren binnen de  
48 uur uw gedrukte bedradingen op epoxy

Vraag schriftelijk onze prijzen voor kleine en grote reeksen

Printen: enkelzijdig vertind  
dubbelzijdig vertind  
doorgemetaliseerd  
Goudconnectoren



electronica  
Th. a. Kempisstraat 126 - Zwolle  
Telefoon 038-532357  
Voor al uw:  
\* electronica onderdelen  
\* electronica bouwpakketten  
\* technische lectuur

Voor elektronika,  
scanners en 27 Mc naar....

# VES

Service  
elektronika  
eluwse

Fokko Kortlanglaan 140  
Ermelo - Tel. 03410-12786

## RADIO SHACK- ELEKTRONICA

Zeugstraat 34  
2801 JC GOUDA  
Tel. 01820 - 2 17 18  
Speciaalzaak voor Gouda en omgeving



# Programma voor de BBC-computer GRAFIEKONDERZOEKER

Dit programma kan elke willekeurige functie tekenen, daar nulpunten van bepalen en het snijpunt bepalen met een andere functie. Als de functie is getekend, is er ook nog de mogelijkheid deze functie naar de printer te dumpen m.b.v. de ingebouwde printerdump-routine. Dit dumpen kan op twee manieren: het kan zo worden gedaan dat wat wit is op het scherm zwart wordt op de printer, maar ook zo dat wat wit is op het scherm wit is op de printer.

Wat ik nu zeg is niet helemaal waar, want de dump is in beide gevallen hetzelfde alleen in het tweede geval wordt het scherm voordat de dump wordt gedaan eerst nog even geïnverteerd.

De dumproutine is geschreven voor een EPSON MX80, maar werkt waarschijnlijk ook wel op de FX en de nieuwere RX-versies van EPSON. Ook werkt deze routine op de ITT 3351. Hebt u een andere printer, dan kunt u de routine vervangen door uw eigen routine. Heeft u niet zo'n routine, de zaak waar u uw computer heeft gekocht vast wel. Een andere mogelijkheid is eens te kijken in het boek 'ASSEMBLY LANGUAGE PROGRAMMING ON THE BBC MICRO' by Ian Birnbaum. In dit boek worden, afgezien van de assembler, ook andere dingen zoals dumproutines, uitgebreid besproken.

## Routine

Dan volgt nu de routine die het scherm inverteert.

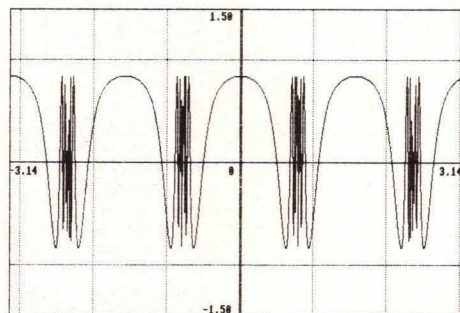
```
.invert
LDA #&30      ; high-byte startadres
STA &8F      ; berg dat op in &8F
LDA #&00     ; low-byte van het startadres
STA &8E     ; berg dat op in &8E
LDY #&00     ; y-register gaat worden gebruikt als teller en moet eerst op nul worden gezet

.loop
INY          ; verhoog de teller met 1
JSR act     ; roep de subroutine aan die het inverteren doet
CPY #&00    ; 255 inverteringen gedaan?
BNE loop    ; nee, nog niet, goto, loop
LDA &8F     ; ja, 255 inverteringen gedaan
CMP #&80    ; is het hele scherm reeds geïnverteerd?
BEQ ready  ; ja, inderdaad
LDY #&00    ; nee, nog eens 255 bytes, dus teller weer op nul
INC &8F     ; en high-byte van adres 1 ophogen
JMP loop    ; goto loop

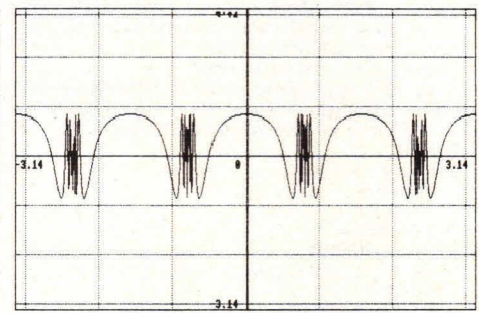
.act
LDA (&8E), y ; Laad de accu met de inhoud van het 2 byte adres, waarvan lowbyte=?&8E+y en highbyte=?&8F, in de accu
EOR #&FF     ; exclusive-or de inhoud van de accu met &FF en stop het resultaat weer in de accu
STA (&8E), y ; stop het geïnverteerde byte terug in de locatie waar het origineel vandaan kwam

.ready
RTS
```

(ofte wel de Hobbit-plotter)



----- = SIN(COS(TAN(2\*X)))  
het Doorn : [-3.14,3.14] en Bereik : [-1.58,1.58]



----- = SIN(COS(TAN(2\*X)))  
het Doorn : [-3.14,3.14] en Bereik : [-3.14,3.14]

## Nulpuntsbepaling

Dit gaat niet d.m.v. de ABC- of ook wel WORTEL-formule, want die kan alleen worden gebruikt voor functies van het type  $Ax^2 + Bx + C$  of voor functies die kunnen worden herleid tot dat type. Stel: u wilt de nulpunten weten van  $TAN(X)-X/4$ . Dat is niet uit te rekenen en het is ook niet  $0 \text{ MOD}(\pi)$  want dan vergeet u die  $-X/4$ .

Wat u wel kunt zeggen is dat de asymptoten niet veranderen door die  $X/4$  maar

dat de knik in de grafiek steeds lager komt te liggen en dat daardoor het nulpunt steeds dichterbij de rechter asymptoot komt te liggen. Maar als u zulke ingewikkelde overpeinzingen niet wilt maken, dan kunt u de grafiek door de computer laten tekenen om zo iets meer te weten te komen over de nulpunten. Als we er even van uit gaan dat alleen de nulpunten tussen  $-7$  en  $7$  voor ons van belang zijn, dan kunnen we volstaan met de grafiek te laten tekenen van b.v. #10 tot 10 over een bereik van, laten we zeggen,  $-5$  tot  $5$ . Het resultaat ziet u bij voorbeeld 1.

Alles wat links van de lijn  $X=-7$  ligt strepen we weg evenals alles rechts van de lijn  $X=7$ .

We zien nu dat er drie intervallen zijn waarop een nulpunt ligt, namelijk het interval #5,#3, het interval #1,+1 en het interval +3,+5. Als u nu op een toets drukt komt u terug bij het menu. Kiest u nu voor nummer 2 dan krijgt u een verhaaltje over hoe de computer het door u gewenste nulpunt bepaalt. Leest u dat eerst maar eens.....

Goed, u heeft het gelezen. Dan weet u nu hoe deze methode werkt en kunt u de gegevens die u d.m.v. de tekening heeft verkregen gaan invullen. Vult u voor de  $x.1$  #5 in, voor de  $x.2$  #3, voor de functie  $TAN(X)-X/4$  en voor de precisie 0.00001. Daarna gaat de computer rekenen. Dit moet dus drie keer worden gedaan. Het resultaat vindt u bij voorbeeld 2.

## Snijpuntsbepaling

Voor het snijpunt gelden dezelfde eisen als voor het nulpunt: op de intervallen







```

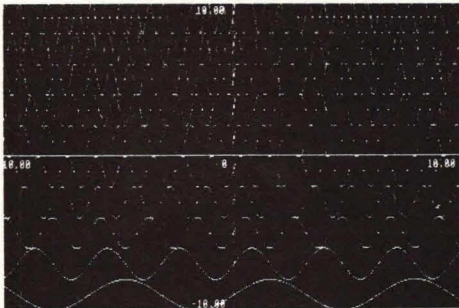
175# PROCnulpunt(x_1,x_2,precisie,it_zien,it_printer)
176# PRINT"Wilt U nog een "type%":INPUT" bepalen met de zelfde functie (Y/N) "ja#
177# IFja#="Y"ANDtype%="*"THENGOSUB114ELSEIFja#="Y"GOSUB114SELSERUN
178# GOTO176#
179# DEFPROCnulpunt(x#0,u#,precisie,scherm,printer)
180# iteraties=0
181# Y#FNff(x#0)
182# IFprinterTHENVDU2,1,15
183# REPEAT
184# midden=(x#+u#)/2
185# Y#FNff(midden)
186# IFscher#THENPRINT"x_1= "x_1;" x_2= "u;" midden= "midden
187# IFY#>THENX#:=midden;u#:=middenELSEIFY#<Y#>THENX#:=midden;Y#:=Y#ELSEU#:=midden
188# iteraties=iteraties+1
189# UNTILU#-X#<precisie
190# PRINT:Y#=#
190# IFABS(midden)<precisie THENmidden=0
191# PRINT"Het "type%"; is : "midden
191# IFtype%="snijpunt"GOSUB220#
192# PRINT"Het aantal iteraties is : "iteraties
193# PRINTSTRING$(80,"_")

```

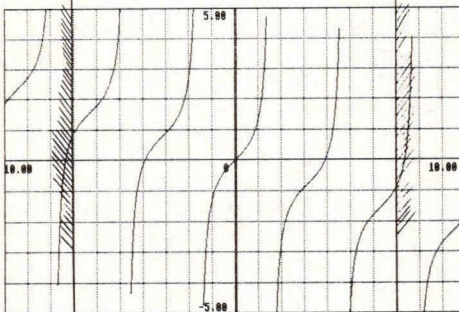
```

194# VDU3
195# ENDPROC
196# DEFFNff(x)
197# =EVAL(func%)
198# CLS:PRINT"Deze methode kan toegepast worden voor het bepalen van een"
199# PRINT"snijpunt van twee functies als men het interval weet waarop"
200# PRINT"het snijpunt ligt. Verder geldt voor het snijpunt hetzelfde"
201# PRINT"als voor het nulpunt bij nulpuntsbepaling."
202# PRINT"Hoe het werkt ? Heel eenvoudig !"
203# PRINT"De functies worden ingevoerd als strings."
204# PRINT"Van de twee strings die er dan zijn wordt een gemaakt op de"
205# PRINT"volgende manier : totaal%=func1%+-(+func2%+)"
206# PRINT"Daarna wordt het nulpunt berekend."
207# PRINT""
208# INPUT"Voer de eerste functie in : "func1%
209# INPUT"Voer de tweede functie in : "func2%
210# func%=func1%+-(+func2%+)"
211# ja#="Y":type%="snijpunt":GOTO177#
220# X#midden;Z#EVAL(func1%);W#EVAL(func2%);K=(Z+W)/2:IFABS(K)<precisie THENK=0
221# PRINT"En de bijbehorende Y-coördinaat is : "K
222# RETURN

```



----- = -9\*SIN(X)      ----- = 3\*SIN(7\*X)  
----- = -7\*SIN(2\*X)      ----- = 5\*SIN(6\*X)  
----- = -5\*SIN(3\*X)      ----- = 7\*SIN(5\*X)  
----- = -3\*SIN(4\*X)      ----- = 9\*SIN(4\*X)  
----- = -1\*SIN(5\*X)      ----- = 1\*SIN(6\*X)  
met Domein : [-10.00,10.00] en Bereik : [-10.00,10.00]



----- = TAN(X)-1/4  
met Domein : [-10.00,10.00] en Bereik : [-5.00,5.00]

```

x_1 = -5.0000000      x_2 = -3.0000000      midden = -4.0000000
x_1 = -5.0000000      x_2 = -4.0000000      midden = -4.5000000
x_1 = -5.0000000      x_2 = -4.5000000      midden = -4.7500000
x_1 = -4.7500000      x_2 = -4.5000000      midden = -4.6250000
x_1 = -4.7500000      x_2 = -4.6250000      midden = -4.6875000
x_1 = -4.7187500      x_2 = -4.6875000      midden = -4.7031250
x_1 = -4.7187500      x_2 = -4.7031250      midden = -4.7109375
x_1 = -4.7187500      x_2 = -4.7109375      midden = -4.7148438
x_1 = -4.7148438      x_2 = -4.7109375      midden = -4.7128906
x_1 = -4.7128906      x_2 = -4.7109375      midden = -4.7119141
x_1 = -4.7128906      x_2 = -4.7119141      midden = -4.7124023
x_1 = -4.7124023      x_2 = -4.7119141      midden = -4.7121582
x_1 = -4.7124023      x_2 = -4.7121582      midden = -4.7122803
x_1 = -4.7124023      x_2 = -4.7122803      midden = -4.7123413
x_1 = -4.7124023      x_2 = -4.7123413      midden = -4.7123718
x_1 = -4.7124023      x_2 = -4.7123718      midden = -4.7123871
x_1 = -4.7124023      x_2 = -4.7123871      midden = -4.7123947

```

Het nulpunt is :-4.71239471  
Het aantal iteraties is : 18

```

x_1 = -1.0000000      x_2 = 1.0000000      midden = 0.0000000

```

Het nulpunt is :0  
Het aantal iteraties is : 1

```

x_1 = 3.0000000      x_2 = 5.0000000      midden = 4.0000000
x_1 = 3.0000000      x_2 = 4.0000000      midden = 3.5000000
x_1 = 3.5000000      x_2 = 4.0000000      midden = 3.7500000
x_1 = 3.7500000      x_2 = 4.0000000      midden = 3.8750000
x_1 = 3.8750000      x_2 = 4.0000000      midden = 3.9169922
x_1 = 3.8750156      x_2 = 3.9375000      midden = 3.9165039
x_1 = 3.9160156      x_2 = 3.9165039      midden = 3.9162598
x_1 = 3.9162598      x_2 = 3.9165039      midden = 3.9163818
x_1 = 3.9163818      x_2 = 3.9165039      midden = 3.9164429
x_1 = 3.9163818      x_2 = 3.9164429      midden = 3.9164124
x_1 = 3.9164124      x_2 = 3.9164429      midden = 3.9164276
x_1 = 3.9164276      x_2 = 3.9164429      midden = 3.9164352

```

Het nulpunt is :3.91643524  
Het aantal iteraties is : 18

► mag een en slechts een snijpunt liggen. Als u niet weet waar het snijpunt ligt dan kunt u de computer twee figuren in een grafiek laten tekenen en dan uit de tekening afleiden waar het snijpunt ongeveer ligt en daarna kunt u naar methode 3 waar u eerst weer uitleg krijgt, maar daar komt u nu verder zelf wel uit.

Dit programma is 8K lang. Als u geen zin heeft dit programma in te typen omdat u het te lang vindt of zo, dan kunt u het programma bij mij bestellen door overmaking van 10,- op bankrekeningnummer ABN 57.14.52.957 onder vermelding van HOBBITplotter. Vergeet niet uw naam en adres te vermelden, U krijgt dan binnen een week het programma op tape met daarbij de listing. Veel plezier met dit programma!

W.A. Schreuder □



# En toch, middeleeuwen ...

Texas Instruments! Wie deze naam hoort denkt aan IC's, microprocessors en computers, die denkt aan de toekomst. Natuurlijk.

Texas Instruments zit in Bullewijk, een fris, jong gebied in de Amsterdamse Bijlmer dat al driftig door de moderne metro wordt doorkruist en dat hier en daar, hoe kan het anders, nog uit maagdelijke zandvlakten bestaat. In dit jeugdige, allesbelovende gebied dus staat sinds kort het hoofdgebouw van TI Nederland. Een dynamisch, futuristisch bedrijf in een dynamisch, futuristisch gebied. Ik zou daar voor een bespreking even langs komen. Handig met de metro. Men zou mij, na mijn telefoontje vanaf het plaatselijke

perron van de toekomst had géén telefoon.

Maar ach, natuurlijk beneden! Snel de grijze trappen af. De mismoedige, tochtige betonbunker waarin ik belandde en die ooit op de tekentafel wel 'stationshal' zal zijn genoemd, bevatte tegen de wanden slechts enkele bekraste vertrektijden en plattegronden van het metrostelsel. Maar van de telefoon, het meest elementaire communicatiemiddel van deze turbulente tijd, geen spoor. Ik liep naar buiten, al veel minder veerkrachtig. Wat nu? Ha, genade in de ure der beproeving: een mens! Er kwam een mens aanwandelen, een man. 'Telefoon? - Nee, nooit gezien hier, nee, die is hier

Blij zingend wierp ik een kwartje in de gleuf van het, o wonder, nog in takt zijnde telefoonapparaat. Het verdween onmiddellijk in het PTT-reservoir. Het telefoonnet zelf bleef ontoegankelijk. Een tweede kwartje ging in de gleuf. Ook dat zakte onmiddellijk in 's Rijks Schatkist. Het toestel bleef dood. Mijn vreugdevol gezang verstomde nu geheel. Nog één kwartje had ik en als dat weg was was ik verloren. Andere cel, zou er ergens...? Ha, in de verte liep toevallig weer eens iemand. 'Tja, andere cel, nemen, hè probeer het verderop eens.' Wijs advies, hoe komt zo iemand erop. Weer op mars, een lange mars. Ik rondde het zoveelste flatgebouw - geen telefooncel.

Volstrekt levenloos waren de verlamd saaie straten en lang, eindeloos lang. Maar zie, daar ineens ontdekte het moede oog leven, daar bewoog een menselijk wezen, daar liep een vrouw. Schichtig bekeek ze me toen ik haar aansprak - het was als een ontmoeting in een verlaten woestijngebied en ze voelde zich zichtbaar onbeschermd. Maar toen mijn wensen zich niet verder bleken uit te strekken dan tot een telefooncel voelde zij zich even zichtbaar opgelucht. Daar bleef het bij, want ook zij was een dolende in de Bijlmer steppen, een vreemde op zoek naar een onvindbaar adres. Wij wensten elkander hartelijk sterkte en dreven als drenkelingen weer uiteen.

En ja, ja daar doemde na verloop van weer een kostbare spanne tijds dan toch ten tweede male het begerenswaardige valse groen op, de cel! Kwartje in de gleuf - ja hij deed het! Maar dat was alles, want aan de andere kant werd de telefoon niet opgenomen, de telefoniste was kennelijk even lunchen...

Mijn uithoudings- en improvisatievermogen kennen in uren van tegenslag en bittere ontgoocheling nauwelijks grenzen. Ik ben dan ook op zeker moment bij Texas Instruments binnengekomen.

Vraag me niet hoe, maar het is gelukt, ik stond op een gegeven ogenblik oog in oog met het allermodernste wat deze computertijd te bieden heeft.

Maar is dit wel het computertijdperk? Leven we in sommige opzichten eigenlijk nog niet helemaal in de middeleeuwen...?

□ Wim van Bussel

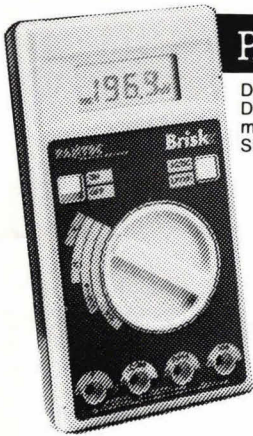
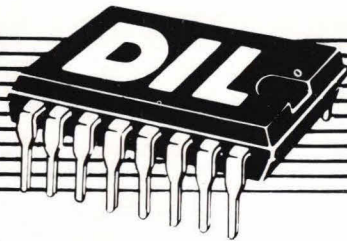


metrostation, met de auto komen wegplukken.

Op het afgesproken tijdstip sprong ik veerkrachtig, zoals dat in een dergelijk gebied gewoon niet anders kan, de metro uit, het eigentijdse, door fantasierijke robots ontworpen Bullewijkse betonperron op. Telefoon, waar was de telefoon! Mijn blik flipte naar links, naar rechts, langs de deprimerende betonconstructies die elk normaal mens de laatste levenslust ontnemen, ik keek het tochtige, in deze korte spanne tijds inmiddels al volledig verlaten perron nog eens in beide richtingen af en wist het toen zeker: dit

niet, maar loopt u eens door, naar die flats daar verderop. Hij wees vaag over de immense zandvlakte naar verwijderde torenflats. Een pittige wandeling volgde. Ik bereikte de flats, glorie van moderne, creatieve architectengeesten. Geen telefooncel. Dwalen, zoeken, en toen, na het omslaan van een wonderige hoek, op het moment dat de twijfel aan de hele wereld en mezelf vaste vorm begon te krijgen, mocht ik plots het onbeschrijflijke genot smaken oog in oog te staan met het meest valse groen dat de moderne tijd heeft voortgebracht, het groen dat zich uitsluitend aan de Nederlandse telefooncel weet te hechten.





## PANTEC DIGITALE VOLTMETER

De eerste 'auto-ranging' digitale voltmeter beneden f 200,-. Dat is de PANTEC 'BRISK', voor een prijs van f 189,- inkl. meet snoeren en batterij.

### SPECIFICATIES:

#### AC VOLTAGE

Range	Accuracy	Resolution	Input Impedance	Max Input Voltage
2V	1% rdg - 8 dgts	1mV	10MQ	750 V RMS
20V	1% rdg - 8 dgts	10mV	10MQ	750 V RMS
200V	1% rdg - 8 dgts	100mV	10MQ	750 V RMS
600V	1% rdg - 8 dgts	1 V	10MQ	750 V RMS

Automatic range selection  
Frequency response 40 Hz - 500 Hz

#### DC VOLTAGE

Range	Accuracy	Resolution	Input Impedance	Max Input Voltage
200mV	0.5% rdg - 4 dgts	100µV	100MQ	1000V
2V	0.7% rdg - 4 dgts	1mV	10MQ	1000V
20V	0.7% rdg - 4 dgts	10mV	10MQ	1000V
200V	0.7% rdg - 4 dgts	100mV	10MQ	1000V
1000V	1% rdg - 4 dgts	1 V	10MQ	1000V

Automatic range selection

189,-

## Digilog (ofanatale?) FLUKE MULTIMETERS

Er zijn drie modellen, allemaal 'auto-ranging', de duurdere modellen hebben wat extra's t.o.v. het basismodel, zie tabellen:

Deze meters combineren digitale en analoge aflezingen en vormen zodoende een niet te overtreffen combinatie. Nu krijgen de gebruikers van de digitale meters de extra resolutie van een 3200-count LCD uitlezing. Terwijl de gebruikers van analoge meters een analoge schaal krijgen om een snelle visuele controle van continuïteit top- en nulwaarden en verloop mogelijk te maken. Dit alles in één meetinstrument.

EN DAT IS NOG MAAR HET BEGIN.

De Fluke 70 serie geeft u een combinatie van mogelijkheden, die in geen andere multimeter verkrijgbaar zijn. Het gebruik is eenvoudig. De functies kiest u met één enkele schakelaar. Zeer snelle automatische meetinstelling stelt onmiddellijk het juiste bereik in.

De levensduur van de batterij is onovertroffen: meer dan 2000 uur. De etui is van praktisch onverwoestbaar plastic. Een garantie van 3 jaar. Dit alles voor een ongelooflijk, praktisch onweerstaanbare lage prijs.

FLUKE 73  
Analoge/digitale aflezing  
Volts, ohms, 10 A diode test  
Automatische meetbereik-instelling  
0.7% Basis D.C.  
nauwkeurigheid  
2000 uur minimale levensduur batterij  
3 Jaar garantie

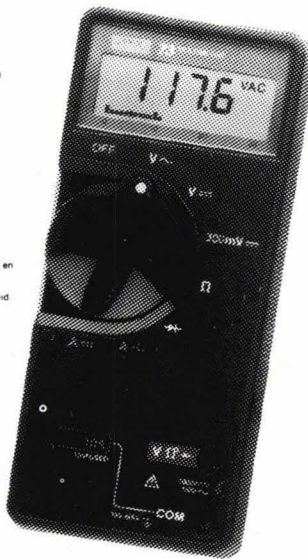
325,-

FLUKE 75  
Analoge/digitale aflezing  
Volts, ohms, 10 A mA, diode test  
Kontinuiteit met Beeper  
Automatische meetbereik-instelling en handinstelling  
0.5% basis gelijkstroomnauwkeurigheid  
2000 Uur min. levensduur batterij  
3 Jaar garantie

393,-

FLUKE 77  
Analoge/digitale aflezing  
Volts, ohms, 10 A mA, diode test  
Kontinuiteit met Beeper  
Automatische meetbereik-instelling en handinstelling  
Touch Hold functie  
0.3% basis D.C.  
nauwkeurigheid  
2000 Uur min. levensduur batterij  
3 Jaar garantie  
Veelzijdig etui

515,-



## UNIVERSELE AUTOBEVEILIGING

Bouwpakket voor een uitstekend doe-het-zelf auto-alarm, volgens de beschrijving in HOBBIT nr. 1/2. Print en alle onderdelen, inkl. sleutel-schakelaar en relais, exkl. kastje en 'klein' materiaal. Bestel nr. HB808. 79,90

## DIEFSTALBEVEILIGING VOOR MOTERFIETSEN

Bouwpakket voor een motorfiets-alarm, waarbij zowel de eigen claxon als een tweede (verborgen) sirene alarm geven; doorknippen van de bedrading geeft ook alarm! Zie beschrijving in HOBBIT 3. Prints en alle onderdelen, inkl. alternatief relais, 4 kwikschakelaars en extra sirene. Bestel nr. HB814. 115,-

voor BELGIE:

ELECTRO 8000

ELECTRO 8000 PVBA  
Langestraat 43  
8000 BRUGGE  
Tel. 050-341007



## LET OP!

Uw ZX-81 en SPECTRUM nu eenvoudig te gebruiken voor diverse meet- en regeltoepassingen en elektronische besturingen.

Als basis dient een zgn. BUSPRINT (verschillend voor de ZX-81 en de SPECTRUM) waarop één of meer interfacekaarten gemonteerd worden.

Aan een soortgelijk systeem voor de VIC-20 en de C-64 wordt gedacht, maar is er voorlopig nog niet.

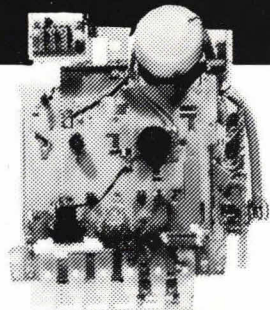
K-2615 BUSPRINT/MOEDERBOARD (Spectrum) 79,-  
K-2616 BUSPRINT/MOEDERBOARD (ZX-81) 79,-  
K-2609 OUTPUTKAART 8 Schakelb. uitgangen voor o.a. lichtshows, mach. best. spoorreën. 73,-  
K-2610 AD/CONVERTER vormt gegevens zoals spanning, stroom en bijv. temp. en druk (via sensors) om tot een dig. 8-bits informatie. 99,-  
K-2611 OPTOCOUPLER INGANGSKAART contr. alarmsensors, detectoren en schakelaars. 75,-  
K-2614 CENTRONICS INTERFACE. U sluit nu elke seriële parallelprinter aan op uw Sinclair. 109,-  
K-2618 D/A CONVERTER. Geeft een analogo signaal af voor o.a. motorregelingen, modelb. besturingen enz. 69,-

## COMPACT CASSETTE MECHANIEK

Solide metalen cassette-deck inkl. motor, opname/weergave en wiskop, zonder versterker.

Bouw zelf op eenvoudige wijze samen met Elektuur-kit 83134 (digitale cassette-recorder) een betrouwbare opslag voor uw computergegevens. Wordt geleverd zonder kast en knoppen, motor 12 V.

29,95



## DATA CASSETTES C-15

Vijf stuks in fraaie opbergband plus GRATIS programma cassette voor het katalogiseren van de inhoud van uw datacassettes, geschikt voor de SPECTRUM.

29,95

Idem, geschikt voor de ZX-81

29,95

# DIL ELEKTRONIKA

Jan Lighthartstraat 59-61

3083 AL Rotterdam. Tel. 010-854213

### ● PARTIKULIER:

Per brief met ingesloten EUROCHEQUE, GROENE BANKBETAALKAART of een GIROBETAALKAART (PAS-NUMMER NIET VERGETEN!). Verzendkosten f 6,-. Geen minimumorderbedrag.

Vooruitbetaling van uw postgiro-rekening naar onze rekening 649943 of van uw bankrekening naar onze rekening 69.45.65.644. Verzendkosten f 6,-. Geen minimum orderbedrag.

Telefonisch of per briefkaart: U ontvangt bij aflevering van ons een acceptgirokaart voor betaling binnen 30 dagen. Verzendkosten f 9,50. Minimum orderbedrag f 100,-.

### ● OPENINGSTIJDEN:

DINSDAG t m VRIJDAG: 9.00 - 18.00 u.  
ZATERDAG: 9.00 - 16.00 u.  
GESLOTEN op maandag en vrijdagavond. (koopavond).

### ● BEDRIJVEN:

Levering OP REKENING (30 dagen netto). Orderkosten f 6,- voor bestellingen boven f 100,- inkl. BTW en f 10,- voor kleinere orders. Wij behouden ons het recht voor NIET te leveren aan slechte betalers.

U kunt TEN ALLEN TIJDEN bestellingen etc. doorgeven aan DILLEMINA onze telefoonbeantwoorder.



# HOBBY NIEUWS

**PHILIPS**



## Snoerhaspels

**Kleine kosten, groot gemak**

Hebt u ook zo'n hekel aan die draden-wirwar achter uw HiFi-opstelling? Het eenvoudige, praktische Philips snoerhaspeltje geeft u de oplossing. Er zijn twee typen: één voor de dunnere, de ander voor dikke snoeren. Opperdold staat netjes toch zeker?



## Multimeter UTS 001

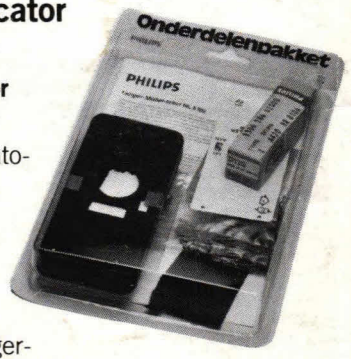
**De meet-manus-van-alles**

Snel, goed en duidelijk meten van: weerstanden, stromen en spanningen. Inclusief dB-schaal. Praktische verzonken bedieningsknop. Prima afleesbare spiegelschaal met haarscherpe naaldaanwijzing. Veel meetgebieden. Cassette voor transportbescherming. Incl. meetsnoeren.

## Geiger-müller-indicator NL 5102

### In onderdelenpakket voor zelfbouw

Radio-actieve straling aantonen. Voor bèta- en gamma-straling. Visuele aflezing en akoestische signalering. Een compleet pakket, inclusief de originele professionele Philips geiger-müller-telbuis type ZP 1310. Met uitvoerige bouwbeschrijving en handleiding.



## Digital-logic probe SBC 902

### Testapparaat digitale schakelingen

Voor degene die nogal eens met digitale schakelingen werkt is de SBC 902 een prima stuk gereedschap. Ideaal voor het testen van DTL, TTL (tot 50 MHz) en CMOS (tot 30 MHz). LED-indicatie voor „hoog” en „laag”. Praktische geheugenfunctie. Spanningsgebied 4,5 . . . 30 V. Instructieve handleiding.



## Logic pulser SBC 903

### Een impuls-aankoop waar u lang plezier van zult hebben

Wie TTL- en CMOS-schakelingen wil testen moet de juiste impulsen kunnen geven. Dat kan met de impulsgever SBC 903. Produceert éénmalige impulsen of twee series impulstreinen. Frequenties: 100 Hz en 10 Hz. Met uitvoerige handleiding.

## Current tracer SBC 904

### Voor digitale technieken

Voor het detecteren van stroomimpulsen in twee gebieden: 1...10 mA en 10 mA...1A. Bij stijg- en afvaltijden groter dan 10 ms. Geschikt voor frequenties vanaf 5 MHz resp. 10 MHz en lager. In combinatie met SBC 903 ook voor andere dan digitale technieken. Uitvoerige handleiding.



## Reinigingsarm en naaldreiniger RC 5000

### Schone platen - perfecte muziek

Luxe set. Arm en voetstuk uitgevoerd in chroomglans. Reinigingsarm heeft fluwelen kussentje waarmee de plaat absoluut krasvrij wordt gereinigd; een borsteltje houdt het stof vast. Door aarding wordt statische elektriciteit afgeleid. Opbergdoosje bevat verder: naaldenkwastjes, naaldreinigingsvloeistof en een reservekussentje voor nog meer schone platen.



**Verkrijgbaar bij uw onderdelenleverancier.**